

Міністерство освіти і науки України

Івано-Франківський національний технічний університет нафти і газу
Інститут інформаційних технологій

Кафедра комп'ютерних систем і мереж

Батіг Дмитро Васильович

(прізвище, ім'я, по батькові)

УДК 004.056

МАГІСТЕРСЬКА РОБОТА

Розроблення fuzzion-моделі багатofакторної автентифікації на основі
машинного аналізу поведінкових та біометричних даних користувача

Комп'ютерна інженерія

(назва освітньої програми)

123 – Комп'ютерна інженерія

(шифр і назва спеціальності)

/ Д. В. Батіг /

(підпис, ініціали та прізвище здобувача освітнього ступеня)

Науковий керівник – Мойсеєнко О.В., к.т.н., доцент

Допущено до захисту

Завідувач кафедри

д-р.т.н., проф. /С.І. Мельничук/

(посада) (підпис) (дата) (ініціали та прізвище)

Рецензент

(посада) (підпис) (дата) (ініціали та прізвище)

Робота містить результати власних досліджень. Використання ідей, результатів і текстів інших авторів мають посилання на відповідне+ джерело

Івано-Франківськ – 2025 рік

Івано-Франківський національний технічний університет нафти і газу

Інститут Інформаційних технологій

Кафедра Комп'ютерних систем і мереж

Освітній рівень магістр

Спеціальність 123 – Комп'ютерна інженерія

ЗАТВЕРДЖУЮ:

Зав. кафедрою КСМ

проф. С.І. Мельничук

“ ” грудня 2025 р.

ЗАВДАННЯ

НА ВИКОНАННЯ МАГІСТЕРСЬКОЇ РОБОТИ СТУДЕНТОВІ

Батіг Дмитру Васильовичу

(прізвище, ім'я, по-батькові)

1. Тема магістерської роботи Розроблення fuzzion-моделі багатофакторної автентифікації на основі машинного аналізу поведінкових та біометричних даних користувача

Керівник проекту доцент Мойсеєнко Олена Володимирівна

затвержені наказом вищого навчального закладу від « 5 » грудня 2025 року № 754/7.

Термін здачі студентом закінченої роботи 10 грудня 2025р.

3. Вихідні дані до проекту (роботи) матеріали науково-дослідної практики

4. Зміст розрахунково - пояснювальної записки (перелік питань, що їх належить розробити)

1 Аналіз існуючих методів та моделей оцінки надійності програмного забезпечення.

2 Розроблення методу оцінки надійності програмного забезпечення.

3 Експериментальне дослідження запропонованого методу

5. Перелік графічного матеріалу (з точним зазначенням обов'язкових креслень)

6. Дата видачі завдання – 15.09.2025р.

7. Консультанти по магістерській роботі, із зазначенням розділів роботи, що стосуються їх

Розділ	Консультант	Підпис, дата
Нормоконтроль		

КАЛЕНДАРНИЙ ПЛАН

№ п/п	Назва етапів магістерської роботи	Термін виконання етапів роботи	Примітка
1	<i>Огляд існуючих методів та моделей оцінки надійності програмного забезпечення</i>	<i>10.09.25 – 30.09.25</i>	<i>Виконано</i>
2	<i>Розроблення методу оцінки надійності програмного забезпечення</i>	<i>1.10.25 – 31.10.25</i>	<i>Виконано</i>
3	<i>Розробка алгоритму адаптивного ансамблевого прогнозування</i>	<i>01.11.25 – 15.11.25</i>	<i>Виконано</i>
4	<i>Експериментальне дослідження запропонованого методу</i>	<i>15.11.25 – 31.11.25</i>	<i>Виконано</i>
5	<i>Оформлення роботи</i>	<i>01.12.25 – 10.12.25</i>	<i>Виконано</i>

Студент-магістр _____
(підпис)

Керівник роботи _____
(підпис)

АНОТАЦІЯ

У роботі представлено комплексний підхід до підвищення достовірності багатofакторної автентифікації користувачів шляхом інтеграції біометричних, поведінкових та контекстних ознак із використанням методів машинного навчання. Проведено аналіз сучасних рішень MFA та виявлено їх ключові обмеження, пов'язані зі стійкістю до підміни, повторного використання облікових даних і високою чутливістю до змін поведінки користувача. Запропоновано ансамблеву ф'южн-модель, у якій біометричний фактор (ECAPA-TDNN, x-vector, CNN-MFCC), моделі поведінкової автентифікації (Autoencoder, OCSVM, LSTM-AE) та контекстуальні сигнали інтегруються у єдину скорингову функцію.

На першому етапі дослідження оцінено стійкість біометричних моделей до spoofing- і replay-атак на наборах ASVspoof 2019 LA/PA, де досягнуто значення AUC понад 0.87 і зниження EER до рівня ≈ 0.19 . На другому етапі досліджено поведінкові фактори на даних Keystroke Dynamics і Balabit Mouse Dynamics; найкращу точність забезпечили моделі Autoencoder та OCSVM залежно від типу ознак. Третій етап продемонстрував ефективність комбінованої ф'южн-моделі, яка зменшила інтегральний EER приблизно на 25–40 % порівняно з окремими каналами, досягнувши значення AUC понад 0.93 та забезпечуючи стійкість до атак типу credential stuffing, behavioral mimicry та підміни біометрії.

Отримані результати підтверджують доцільність інтеграції різнорідних факторів у системах автентифікації та свідчать про перспективність впровадження запропонованого підходу у банківські, корпоративні та державні інформаційні системи.

Ключові слова: багатофакторна автентифікація, поведінкова біометрія, голосова біометрія, антиспуфінг, ECAPA-TDNN, x-vector, автоенкодер, OCSVM, LSTM-AE, ф'южн-модель, інформаційна безпека.

ABSTRACT

This thesis presents a comprehensive approach to enhancing the reliability of multi-factor user authentication by integrating biometric, behavioral, and contextual signals using machine learning methods. A detailed analysis of existing MFA technologies reveals their limitations related to spoofing resistance, vulnerability to credential reuse, and sensitivity to behavioral variability. An ensemble fusion model is proposed, combining biometric features (ECAPA-TDNN, x-vector, CNN-MFCC), behavioral authentication models (Autoencoder, OCSVM, LSTM-AE), and contextual information into a unified scoring framework.

The experimental study was conducted in three stages. The first stage evaluated biometric anti-spoofing performance on the ASVspoof 2019 LA/PA datasets, achieving AUC values above 0.87 and reducing EER to approximately 0.19. The second stage investigated behavioral authentication using Keystroke Dynamics and Balabit Mouse Dynamics datasets, where Autoencoder and OCSVM achieved the best performance depending on the modality. The third stage confirmed the effectiveness of the proposed fusion model, which reduced the overall EER by about 25–40 % compared to single-factor models, achieved an AUC exceeding 0.93, and demonstrated resilience against credential stuffing, behavioral mimicry, and biometric spoofing attacks.

The results underline the advantages of integrating heterogeneous security factors and highlight the practical applicability of the proposed method to banking, corporate, and governmental information systems.

Keywords: multi-factor authentication, behavioral biometrics, voice biometrics, anti-spoofing, ECAPA-TDNN, x-vector, autoencoder, OCSVM, LSTM-AE, fusion model, information security.

ЗМІСТ

ВСТУП	5
1 АНАЛІЗ СУЧАСНИХ МЕТОДІВ ТА ЗАСОБІВ БАГАТОФАКТОРНОЇ АВТЕНТИФІКАЦІЇ⁹	9
1.1 Аналіз систем автентифікації: поняття, класифікація факторів, вимоги	9
1.2 Огляд сучасних методів багатофакторної автентифікації	14
1.3 Аналіз сучасних досліджень у сфері поведінкової автентифікації	18
1.4 Методи аналізу поведінкових ознак у багатофакторній автентифікації	20
1.5 Аналіз методів машинного навчання для аналізу поведінкових ознак у MFA	23
2 РОЗРОБЛЕННЯ МЕТОДУ КОМБІНОВАНОЇ БАГАТОФАКТОРНОЇ АВТЕНТИФІКАЦІЇ	28
2.1 Обґрунтування вибору методів та ознак	28
2.2 Формалізація ознак і постановка задачі	32
2.3 Інтегральне скоринг-правило та ваговий ф'южн	35
2.4 Функції втрат і критерії оптимізації	37

2.5 Узагальнена вимірювальна схема та протоколи валідації	38
2.6 Алгоритм машинного аналізу поведінкових та біометричних ознак	44
2.7 Модель об'єднання факторів (ф'южн-модуль) у системі комбінованої багатофакторної автентифікації ²⁵	47
2.8 Критерії та принципи оцінювання ефективності запропонованої моделі	57
2.9 Обґрунтування вибору методів та ознак	58
3 ЕКСПЕРИМЕНТАЛЬНА ПЕРЕВІРКА ТА ОЦІНКА ЕФЕКТИВНОСТІ МЕТОДУ	59
3.1 Організація експерименту	59
3.2 Формування і підготовка набору даних для навчання та тестування	61
3.3 Оцінювання ефективності запропонованого методу	66
3.4 Результати біометричної автентифікації (Етап 1)	69
3.5 Результати поведінкової автентифікації (Етап 2)	76
3.6 Результати комбінованої моделі ф'южн (Етап 3)	97
ВИСНОВКИ	103
ПЕРЕЛІК ВИКОРИСТАНИХ ДЖЕРЕЛ	106

ВСТУП

Актуальність теми дослідження. З розвитком цифрової економіки та широким впровадженням електронних сервісів питання захисту користувацьких облікових даних набуває особливої ваги. Традиційні механізми автентифікації, засновані лише на паролях або одноразових кодах, уже не забезпечують належного рівня безпеки, оскільки залишаються вразливими до атак типу phishing, credential stuffing, brute-force та session hijacking. Це зумовлює необхідність переходу до більш надійних систем і технологій автентифікації користувачів.

Багатофакторна автентифікація (MFA) є одним із ключових напрямів підвищення рівня інформаційної безпеки, оскільки передбачає перевірку користувача за декількома незалежними факторами знанням (пароль), володінням (пристрій, токен) та властивостями (біометрія). Проте, навіть багатофакторні системи можуть бути скомпрометовані, якщо використовують статичні або передбачувані фактори. Тому актуальним є розвиток адаптивних методів MFA, які враховують поведінкові характеристики користувача та контекст його взаємодії з системою.

Поведінкова автентифікація, яка аналізує індивідуальні патерни користувача (ритм натискання клавіш, рух миші, швидкість реакції, час активності, геолокацію тощо), відкриває нові можливості для підвищення достовірності перевірки особи. У поєднанні з біометричними даними вона дозволяє створити динамічну модель ідентифікації, що враховує природну мінливість поведінки та забезпечує вищий рівень стійкості до підробок.

Таким чином, розроблення методу багатофакторної автентифікації на основі машинного аналізу біометричних і поведінкових даних є актуальним науково-практичним завданням, що відповідає сучасним тенденціям розвитку інтелектуальних систем безпеки.

Мета дослідження. Підвищення рівня достовірності, стійкості та адаптивності процесу автентифікації користувачів шляхом розроблення методу

комбінованої багатофакторної автентифікації, що поєднує біометричні та поведінкові фактори з використанням алгоритмів машинного аналізу даних, що дозволить підвищити точність і надійність ідентифікації користувачів, зменшити частоту хибних відмов та несанкціонованих допусків, а також забезпечити оперативне виявлення аномальної поведінки у процесі автентифікації..

Об'єкт дослідження. Процеси багатофакторної автентифікації користувачів у комп'ютерних системах і мережах.

Предмет дослідження. Методи, моделі та алгоритми поєднання біометричних і поведінкових факторів у системах багатофакторної автентифікації з **використанням засобів машинного навчання.**

Завдання дослідження:

1 Проаналізувати сучасні методи багатофакторної автентифікації та визначити їхні обмеження щодо захисту від сучасних кіберзагроз.

2 Сформулювати набір релевантних біометричних і поведінкових ознак користувача для використання у процесі автентифікації.

3 Розробити метод машинного аналізу поведінкових даних користувача для побудови та динамічного оновлення його профілю.

4 Запропонувати модель комбінованої автентифікації, яка здійснює вагову інтеграцію біометричних і поведінкових факторів.

5 Розробити алгоритм виявлення аномальної поведінки під час автентифікації для запобігання атакам типу credential stuffing і session hijacking.

6 Провести експериментальну оцінку ефективності запропонованого методу та порівняти його з існуючими підходами.

Методи дослідження. Теоретичні методи включали системний аналіз , класифікацію факторів MFA , а також математичне моделювання для формалізації вагового ф'южну та функції втрат. Експериментальні методи ґрунтувалися на машинному аналізі даних (глибоке навчання, автоенкодері) та комплексному трьохетапному тестуванні, де проводилося порівняння точності

(EER, AUC) та стійкості до атак (Spoofing, Replay) окремих модулів та інтегрованої моделі.

Наукова новизна. Уперше запропоновано метод багатофакторної автентифікації користувачів, що інтегрує біометричні та поведінкові фактори на основі машинного аналізу даних, з урахуванням контексту взаємодії користувача з системою.

Основні результати, що визначають наукову новизну:

Вперше розроблено контекстно-залежну модель автентифікації, яка враховує поведінковий профіль користувача (час активності, тип пристрою, геолокацію, швидкість реакцій) для адаптації рівня контролю доступу.

Запропоновано метод динамічного оновлення поведінкових шаблонів користувача на основі статистичних характеристик його взаємодії з системою, що підвищує точність автентифікації при зміні звичок.

Створено модель виявлення аномальної поведінки під час процесу автентифікації, яка дозволяє запобігати атакам типу credential stuffing та session hijacking.

Розроблено алгоритм вагового об'єднання факторів, який забезпечує гнучку адаптацію рівня автентифікації залежно від ризиковості дії користувача.

Практичне значення отриманих результатів. Розроблений метод може бути впроваджений у корпоративні, фінансові та державні інформаційні системи для підвищення рівня безпеки доступу без істотного ускладнення процесу автентифікації користувачів.

Застосування поведінкового аналізу в поєднанні з біометричними ознаками дозволяє автоматично адаптувати процес перевірки до поточних умов і поведінки користувача, що підвищує зручність і надійність доступу.

Результати дослідження можуть бути використані під час розроблення систем моніторингу інформаційної безпеки, платформ електронного урядування, банківських застосунків та корпоративних рішень класу IAM (Identity and Access Management).

1 АНАЛІЗ СУЧАСНИХ МЕТОДІВ ТА ЗАСОБІВ БАГАТОФАКТОРНОЇ АВТЕНТИФІКАЦІЇ

1.1 Аналіз систем автентифікації: поняття, класифікація факторів, вимоги

Системи автентифікації формуються на основі трьох ключових етапів (табл.1.1): ідентифікація визначення, хто є користувачем; автентифікація підтвердження цієї особи; авторизація надання прав чи доступу після підтвердження [1].

Таблиця 1.1 – Етапи формування системи автентифікації

Поняття	Призначення	Приклад
Ідентифікація	Визначення користувача	логін, ID, e-mail
Автентифікація	Перевірка справжності	пароль, відбиток пальця
Авторизація	Дозвіл на дії	доступ до файлу, бази даних

Фактори автентифікації основні компоненти багатофакторної автентифікації (MFA), які використовуються для перевірки ідентичності користувача, - класифікуються за принципом, що робить їх унікальними для конкретної людини чи пристрою. Традиційно виділяють три основні фактори (табл. 1.2), але в сучасних системах (станом на 2025 рік) додають додаткові, такі як контекстні.

Таблиця 1.2 – Основні фактори автентифікації

Фактор	Опис	Приклади	Переваги та ризики
1	2	3	4
Знання (Knowledge factor)	Інформація, яку знає тільки користувач і яка не може бути легко вкрадена.	- Пароль - PIN-код - Відповідь на секретне питання - Ключ шифрування	+ Легко реалізувати - Вразливе до фішингу, крадіжки

Кінець таблиці 1.2

1	2	3	4
Володіння (Possession factor)	Фізичний або цифровий об'єкт, який знаходиться у володінні користувача.	- Смарт-карта (токен) - Мобільний пристрій (SMS-код, push-повідомлення) - Апаратний ключ (YubiKey) - Програмний токен (Google Authenticator)	+ Фізична перевірка - Вразливе до втрати пристрою
Спадковість (Inherence factor)	Біологічні або фізіологічні характеристики користувача.	- Біометрія: відбиток пальця, розпізнавання обличчя (Face ID), сканування сірини ока, голос - Поведінкова біометрія (кейстрок, хода)	+ Унікальність - Вразливе до підробок (deepfakes)

У сучасних системах (наприклад, у zero-trust архітектурі) додають додаткові (контекстні) фактори:

- місце (Location factor): перевірка IP-адреси, GPS-координат (наприклад, доступ тільки з певної країни);
- час (Time factor): обмеження доступу за часом (наприклад, тільки в робочий час);
- поведінка (Behavior factor): аналіз патернів дій (наприклад, швидкість набору тексту);

Такий класифікаційний підхід широко використовують в оглядах сучасних систем MFA [2, 3].

Порівняння всіх факторів наведено в таблиці 1.3.

Таблиця 1.3 – Порівняння факторів різного типу

Тип фактора	Приклади	Переваги	Недоліки
1	2	3	4
Знання	Паролі; політики з NIST 800-63B	Простота реалізації	Уразливість до крадіжки Фішинг, повторне використання паролів
Володіння	НОТР/ТОТР, апаратні ключі FIDO2/WebAuthn	Висока безпека Стійкість до фішингу, “прив’язка” ключа	Залежність від пристрою Втрата/компрометація токена

Кінець таблиці 1.3

1	2	3	4
---	---	---	---

Біометрія	Відбиток, FaceID	Висока унікальність Зручність	Проблеми з конфіденційністю, незворотність
Поведінка	Keystroke, mouse, touch, gait	Складність підробки Безперервна/тиха перевірка	Нестабільність у часі
Контекст	Геолокація, час, пристрій	Підвищення гнучкості	Залежність від зовнішніх умов Помилки контексту

Рекомендації щодо використання факторів.

Однофакторна автентифікація (SFA): Тільки один фактор (наприклад, пароль) вразлива, не рекомендується для критичних систем.

Багатофакторна (MFA): Комбінація 2+ факторів (наприклад, пароль + SMS) стандарт для банків, корпоративних мереж.

Адаптивна автентифікація: Використовує AI для динамічної перевірки (наприклад, якщо IP незвичайний вимагає біометрію).

Ця класифікація базується на стандартах NIST SP 800-63 (оновлено 2024) та ISO 27001.

Вимоги до систем автентифікації. Системи автентифікації є ключовим елементом інформаційної безпеки, забезпечуючи перевірку ідентичності користувачів та запобігання несанкціонованому доступу. Вимоги до таких систем визначаються міжнародними стандартами, такими як NIST SP 800-63 (Digital Identity Guidelines) та ISO/IEC 27001 (Information Security Management System). Ці стандарти акцентують на ризико-орієнтованому підході, балансі між безпекою, приватністю та зручністю користувача. Станом на 2025 рік, оновлення NIST SP 800-63-4 та міграція на ISO 27001:2022 (з дедлайном 31 жовтня 2025) вводять посилення щодо AI/ML у виявленні шахрайства, фішінг-стійких методів та безпарольної автентифікації. Нижче наведено ключові вимоги, згруповані за стандартами [4-11].

NIST фокусується на рівнях assurance (рівнях впевненості) для ідентифікації (IAL) та автентифікації (AAL), а також на типах автентифікаторів. Система повинна використовувати Digital Identity Risk Management (DIRM) для оцінки ризиків, включаючи вплив на місію, фінанси та приватність.

Типи автентифікаторів:

- фактор "Знання" (паролі, PIN-коди) вимагають достатньої ентропії (мін. 8 символів, бажано 15), заборона на повторне використання знань (КВА).

- фактор "Володіння" (криптографічні пристрої, токени) з непереносимими приватними ключами для високих рівнів.

- фактор «Поведінка» (біометрія) тільки в комбінації з іншими факторами, не як єдиний метод.

Множинна автентифікація (MFA) обов'язкова для AAL2+, з фішінг-стійкими протоколами (наприклад, challenge-response). Заборонені SMS/Email як канали для MFA.

Рівні автентифікації AAL (Authentication Assurance Levels):

AAL1: Базовий (одно- або множинний фактор, захист від простих атак).

AAL2: Високий (MFA з криптографією, фішінг-стійкість).

AAL3: Дуже високий (криптографічне доведення володіння ключем).

Вибір рівня залежить від впливу: низький AAL1, високий AAL3.

Identity Proofing (IAL): Валідація атрибутів (IAL1 базова, IAL3 з біометрією та присутністю агента). Оновлення 2025: Інтеграція AI для виявлення фальсифікацій, вимоги до redress (виправлення помилок).

Безпека та приватність: Постійний моніторинг (метрики: рівень невдалих автентифікацій, інциденти шахрайства), адаптація контролів, підтримка федерації для інтероперабельності.

Вимоги за ISO/IEC 27001:2022. ISO 27001 вимагає впровадження ISMS з 93 контролями Annex A, вибраними на основі ризиків (Statement of Applicability). Автентифікація входить до контролю доступу (A.9) та керування інформацією (A.5).

2025 compliance tips: Перехід на 2022 версію до жовтня 2025; використання інструментів для короточасних сертифікатів, інтеграція з хмарними системами. Мета: Зменшення часу ревокації доступу (наприклад, <2 год).

Додаткові рекомендації.

Баланс: Комбінувати MFA з адаптивною автентифікацією (AI для динамічних перевірок). Рекомендується безпарольні методи (passkeys) для зниження ризиків.

Виклики: Захист від AI-атак (deepfakes), забезпечення приватності (PIA Privacy Impact Assessment).

Застосування: Для критичних систем (банки, урядові структури) AAL3/IAL3; для веб-сервісів AAL2.

Ці вимоги базуються на актуальних стандартах 2025 року, з акцентом на практичну реалізацію.

Отже, сучасна система автентифікації повинна відповідати таким вимогам:

Надійність: мінімізація FAR (False Acceptance Rate) і FRR (False Rejection Rate) [12].

Зручність (usability): забезпечення простого та інтуїтивно зрозумілого процесу для користувача, мінімізація навантаження.

Безпека/захищеність: стійкість до атак (phishing, replay, session hijacking), криптографічна захищеність, захист біометричних даних.

Адаптивність та контекстна обізнаність: здатність системи динамічно змінювати фактори автентифікації залежно від рівня ризику, контексту доступу (час, місце, пристрій) [13].

Аналіз літератури свідчить, що саме адаптивність стає одним із центральних вимог для сучасного MFA [1].

1.2 Огляд сучасних методів багатфакторної автентифікації

Багатфакторна автентифікація (MFA) еволюціонує від простих комбінацій паролів та SMS-кодів до інтелектуальних, безпарольних систем, які

інтегрують AI, біометрію та контекстний аналіз для протидії сучасним загрозам, таким як фішинг та credential stuffing. Станом на 2025 рік, за даними NIST та галузевих звітів, MFA охоплює понад 70% корпоративних систем, з акцентом на адаптивні моделі, які динамічно регулюють рівень перевірки залежно від ризику. Традиційні методи (наприклад, TOTP-токени) поступаються місцем passwordless та zero-trust підходам, де фокус на зручності користувача та стійкості до AI-атак (deepfakes).

1.2.1 Порівняння методів багатофакторної автентифікації. Згідно з оглядом [14], перехід до багатофакторних схем (MFA) зумовлений необхідністю підвищити безпеку при зростанні кількості підключених пристроїв і загроз.

Біометричні рішення у рамках MFA підвищують унікальність ідентифікації, але мають обмеження з точки зору конфіденційності, варіабельності та управління шаблонами [15].

Хмарні та мобільні реалізації MFA. Реалізації MFA у хмарному і мобільному середовищі все частіше застосовують концепцію Adaptive MFA, коли система оцінює ризик доступу (на основі місця, пристрою, часу, поведінки) і підбирає відповідний набір факторів. Огляд [16] показує, що такі рішення вже використовуються у корпоративних системах і хмарних службах.

Проте, існуючі системи часто використовують статичний набір факторів, що зменшує гнучкість і адаптивність.

Проблеми статичних і фіксованих факторів. Статичні фактори (наприклад, пароль + токен) уразливі для фішингу, replay-атак, викрадення токенів, чи скомпрометованих пристроїв. Наприклад, огляд [14] підкреслює, що сучасні атаки часто спрямовані саме на злам одного з факторів за принципом “слабка ланка”.

Також проблема полягає в тому, що користувач може змінювати поведінку або умови (тип пристрою, місце), але система не адаптується, що знижує точність автентифікації. Цей висновок підтверджено в [17].

Таблиця 1.4 - Порівняння підходів MFA

Підхід	Основа/технологія	Переваги	Обмеження
Пароль + OTP	НОТР/ТОТР	Простота	Фішинг, перехоплення
Токен/ключ (FIDO2)	Апаратний ключ, WebAuthn	Висока стійкість	Вартість, сумісність
Біометрія	Відбиток, обличчя	Унікальність	Конфіденційність, змінність
Поведінкові + Контекст	ML-аналіз, сенсори	Адаптивність, безперервність	Потреба великих даних, налаштувань

Отже, ключові сучасні методи можна згрупувати за типами [18-26].

1. Безпарольні (Passwordless) методи. Ці підходи усувають паролі, замінюючи їх криптографічними ключами чи біометрією, що зменшує ризик компрометації на 99%.

Passkeys (FIDO2/WebAuthn): криптографічні ключі, прив'язані до пристрою, з верифікацією через біометрію або PIN. Вони стійкі до фішингу та підтримуються браузером (Chrome, Safari).

Біометрична автентифікація: використовує унікальні фізіологічні риси (відбиток пальця, розпізнавання обличчя, голос). Сучасні версії інтегрують поведінкову біометрію (аналіз кейстроку чи ходи) для безперервної перевірки.

2. Токен- та push-орієнтовані методи. Ці методи додають "щось, що у вас є" як другий фактор, з фокусом на мобільні пристрої.

Токен-автентифікація (ТОТР/НОТР): часові або одноразові коди з апів (Google Authenticator) чи апаратних токенів (YubiKey). У 2025 році акцент на офлайн-режимі та синхронізації для малого бізнесу.

Push-повідомлення MFA: надсилання запитів на схвалення на зареєстрований пристрій. Перевага швидкість і стійкість до SIM-swapping, на відміну від SMS.

3. Адаптивні та контекстні методи. Використовують AI для динамічної оцінки ризику, застосовуючи MFA тільки за потреби.

Ризик-орієнтована (Adaptive) автентифікація: аналізує контекст (IP, локація, час, поведінка) для "step-up" перевірки (наприклад, низький ризик лише біометрія, високий токен + біометрія). Зменшує "MFA-втому" на 50%.

Сертифікат-автентифікація: цифрові сертифікати для VPN чи M2M-комунікацій у zero-trust мережах, з автоматичним оновленням ключів.

4. Емерджентні та гібридні методи. Децентралізована ідентичність (DID): Блокчейн-орієнтовані гаманці для самоконтролю ідентичності, без централізованих баз. Підтримує MFA через крипто-ключі.

Соціальний логін з MFA: інтеграція з Google/Apple, де MFA вбудована (наприклад, Face ID + токен). Зручно для B2C, але вимагає федеративних стандартів.

Інтеграція з IoT та AI: близькість-автентифікація (розблокування через смарт-годинник) чи AI-детекція аномалій. Підготовка до квантово-стійких алгоритмів (NIST FIPS 203–205).

У 2025 році ключові тренди включають міграцію від legacy-MFA (депрекація Microsoft до 30 вересня) на адаптивні системи з AI, де 80% фахівців очікують посилення безпеки. Рекомендації: для підприємств комбінувати FIDO2 з адаптивними політиками; для SMB push + біометрію.

Виклики: приватність даних та сумісність з legacy-системами.

1.2.2 Аналітичне порівняння продуктивності адаптивних і класичних MFA-рішень. У технічній літературі та звітах постачальників рішень відзначають, що застосування адаптивної багатofакторної автентифікації (Adaptive MFA) дає значні переваги у порівнянні з класичними підходами “пароль + токен/OTP”.

До класичних MFA-схем відносять такі, що використовують фіксований набір факторів (наприклад: пароль + SMS-код або токен). Згідно з оглядом, такі схеми можуть блокувати автоматизовані атаки до ~99 % (наприклад, повідомляється, що «2FA блокує 99,9 % автоматизованих атак»). [46]

Однак ці схеми мають значні обмеження: SMS-канали вразливі до SIM-swap і перехоплення, токени можуть бути втрачені чи скомпрометовані, зміна поведінки користувача або пристрою не враховується. [16]

У звіті Okta [47,48] зазначено сплеск атак типу credential stuffing, які успішно обійшли класичні механізми залишається питання про ефективність лише “стандартного MFA”. [48]

До адаптивних MFA-систем відносять ті, що застосовують ризикову оцінку на основі контексту (тип пристрою, геолокація, поведінкові ознаки) і динамічно змінюють переможні фактори автентифікації. Наприклад, у блозі Microsoft Corporation згадується, що MFA може блокувати понад 99,2 % атак при належному запровадженні та адаптивних політиках. [49, 50]

У звіті Okta «Secure Sign-in Trends 2024» зазначено, що фішинг-стійкі автентифікатори (наприклад FIDO2/WebAuthn) мають кращий баланс “безпека + зручність” порівняно з традиційними методами. [48]

Переваги адаптивного підходу: зниження навантаження на користувача (менше зайвих факторів при низькому ризику), підвищена стійкість до атак, можливість врахування контексту та поведінки. Порівняння наведене в таблиці 1.5.

Microsoft: «MFA блокує > 99,9 % компрометацій облікових записів» (узагальнення великомасштабної статистики) [49]; у оновлених матеріалах: > 99,2 % для атак на облікові записи (Entra/нута документація) [50].

Okta (Secure Sign-in Trends 2024): 66 % користувачів workforce і 91 % адміністраторів з MFA; суттєве зростання фішинг-стійких автентифікаторів (FIDO2/Passkeys/FastPass) [47,48].

Cisco Duo (Trusted Access Report 2024): акцент на ризик-орієнтований (adaptive) підхід і протидію новим атакам на MFA; аналітика за 16+ млрд автентифікацій [51].

Таблиця 1. 5 – Порівняння класичних та адаптивних методів МФА

Параметр	Класичний МФА	Адаптивний МФА
Блокування автоматизованих атак	~99 % при базовій реалізації [turn0search11]	>99 % (Microsoft вказує 99,2 %+ при адаптивному впровадженні)
Урахування поведінки/контексту	Здебільшого ні	Так аналіз пристрою,

		геолокація, поведінка
Навантаження на користувача	Постійне застосування всіх факторів	Мінімальне за низького ризику, більше факторів при високому ризику
Стійкість до сучасних атак (фішинг, brute-force, credential stuffing)	Обмежена: Oka вказує на зростання credential stuffing	Вища завдяки ризик-аналізу та фішинг-стійким методам
Юзабіліті (досвід користувача)	Часто критика з боку користувачів через складність]	Краще: адаптивний відбор факторів, менше зайвих дій

Ключовий висновок: адаптивні MFA-підходи показують вищу продуктивність та гнучкість порівняно з класичними схемами, особливо в умовах динамічних атак та змін поведінки користувачів.

1.3 Аналіз сучасних досліджень у сфері поведінкової автентифікації

Поведінкова автентифікація (behavioral biometrics) є одним із найперспективніших напрямків у біометрії, що базується на аналізі унікальних патернів поведінки користувача, таких як ритм набору тексту (keystroke dynamics), рухи миші, голосові характеристики чи жести в віртуальних середовищах. На відміну від фізіологічної біометрії (відбитки пальців чи розпізнавання обличчя), поведінкова дозволяє безперервну (continuous) верифікацію без додаткових пристроїв, що робить її ідеальною для онлайн-банкінгу, Metaverse та IoT. Станом на 2025 рік, дослідження фокусуються на інтеграції з глибоким навчанням (deep learning, DL), адаптивності до змін поведінки та протидії фішингу, з акцентом на зниження помилок (FAR/FRR) та підвищення зручності. За даними оглядів, ринок поведінкової біометрії зростає на 25% щорічно, досягаючи \$2,5 млрд у 2025 році, завдяки трендам zero-trust та AI-драйвленої безпеки.

Ключові напрямки досліджень [27-32].

Кейстрог та динаміка миші як основа безперервної автентифікації. Сучасні роботи підкреслюють адаптивність цих модальностей для довгострокової верифікації. Огляд 2025 року аналізує понад 100 підходів, де

keystroke та mouse dynamics застосовуються не лише для автентифікації, але й для виявлення емоцій, віку/статі та втоми. Ключовий висновок: системи досягають точності 90–95% у статичних сценаріях, але деградують на 20–30% через еволюцію поведінки (наприклад, зміна стилю набору через стрес). Рекомендації включають динамічні моделі на базі ML для компенсації змін, з фокусом на приватність (анонімізація даних).

Гібридні системи з голосом та кейстрогом для фінансової безпеки. У банківській сфері інтеграція keystroke dynamics з voice biometrics через fuzzy logic дозволяє обробляти невизначеність (наприклад, варіації голосу через шум). Дослідження 2025 року пропонує багатопарову fuzzy-систему Mamdani, де перша верства верифікує біометрію, а друга оцінює ризик транзакцій з PIN/токеном. Результати: ризик фроду знижується до 22,4% (проти 50% у традиційних MFA), з точністю >95% на датасетах Killourhy-Maxion. Це робить метод стійким до фішингу, але вимагає оптимізації для реального часу (latency <1 с).

Поведінкова автентифікація в Metaverse та VR-середовищах. З ростом віртуальних офісів (Metaverse) акцент на жестах рук та dwell time (час утримання клавіш). Пропонована модель 2025 року використовує вбудоване трекінг HMD (head-mounted display) для безперервної верифікації під час типових завдань (набор тексту, жестові взаємодії). Точність ідентифікації 95% (FAR 0,41%, FRR 4,02%) на 15 користувачах, без додаткових сенсорів чи втоми. Переваги: універсальність (працює в статичних офісах), стійкість до shoulder-surfing; виклики масштабованість для великих груп та захист від deepfakes у VR.

Інтеграція глибокого навчання та емерджентні тренди. DL моделі (CNN, RNN, transformers) домінують у обробці послідовних даних поведінки з 2018–2024 років, досягаючи EER (equal error rate) <5% у гібридних системах. Тренди 2025: поведінкова біометрія для фрод-протекції в CFIs (community financial institutions), з прикладами від Nuance та BioCatch, де аналіз кейстроку/миші блокує 99% атак. Майбутні напрямки: квантово-стійкі алгоритми,

децентралізована ідентичність (DID) на блокчейні та AI для адаптивної верифікації (step-up auth).

Виклики та перспективи. Дослідження 2025 року виділяють три основні виклики: адаптивність до динамічних поведінок (наприклад, через хворобу чи пристрій), що знижує точність на 15–25%; приватність (GDPR-сумісність даних); інтеграція з legacy-системами. Перспективи: гібридні моделі з AI для безперервної auth у 80% додатків до 2030, з фокусом на етичність (bias mitigation). Загалом, поведінкова автентифікація переходить від пасивної до проактивної, зменшуючи фрод на 40–60% у реальних сценаріях.

1.4 Методи аналізу поведінкових ознак у багатофакторній автентифікації

Поведінкові ознаки (behavioral biometrics) у багатофакторній автентифікації (MFA) дозволяють пасивну та безперервну верифікацію ідентичності на основі унікальних патернів дій користувача, таких як ритм набору тексту чи рухи миші, без потреби в додаткових діях. Ці методи доповнюють традиційні фактори (паролі, токени), зменшуючи ризик фішингу та фроду на 40–60%, і базуються на AI/ML для моделювання поведінки. Станом на 2025 рік, ключові методи фокусуються на динамічному аналізі даних у реальному часі, з інтеграцією fuzzy logic для обробки невизначеності та глибоким навчанням (DL) для адаптивності [33-37].

1. Аналіз динаміки набору тексту (Keystroke Dynamics)

Цей метод вивчає часові характеристики натискань клавіш: утримання (hold time), інтервали між натисканнями (key-down-to-key-down, key-up-to-key-down) та загальний ритм. Дані збираються пасивно під час логіну чи транзакцій, формуючи базовий профіль на основі 8+ сесій.

Техніки та алгоритми: Використовуються Gaussian Mixture Model з Universal Background Model (GMM-UBM) для моделювання розподілів, i-vector для векторизації ознак та DL-моделі (RNN, CNN) для послідовного аналізу.

Попередня обробка включає очищення даних, обчислення середніх/відхилень та fuzzification (перетворення в лінгвістичні змінні, як "повільний" чи "швидкий" за допомогою трикутних/трапецієподібних функцій приналежності).

Інтеграція в MFA: Як другий фактор (після пароля) або в безперервній автентифікації; комбінується з PIN/токеном у багат шаровій Mamdani Fuzzy Inference System (FIS) для оцінки ризику транзакцій (наприклад, у банківських системах).

Метрики: Equal Error Rate (EER) <5%, точність >95% на датасетах як CMU; ризик фроду знижується до 22,4% у комбінації з голосом.

2. Аналіз динаміки миші та жестів (Mouse Dynamics та Touchscreen Patterns)

Фокус на патернах курсора: швидкість, траєкторії, частота кліків, скролінг та тиск на екран. Для мобільних кут утримання пристрою (за акселерометром) та домінуюча рука.

Техніки та алгоритми: ML-моделі (CNN для візуалізації траєкторій) порівнюють поточну поведінку з базовим профілем, виявляючи аномалії (наприклад, роботизовані рухи). Fuzzy logic обробляє невизначеність, а DL адаптує модель до змін (наприклад, через втому).

Інтеграція в MFA: У адаптивній автентифікації низький ризик (знайома IP) вимагає лише пароля, високий додає перевірку жестів. Підтримує continuous monitoring у UBA-системах.

Метрики: Точність 90–95%, False Acceptance Rate (FAR) 0,41%, False Rejection Rate (FRR) 4,02%; зменшує час експлуатації акаунтів на 50%.

3. Аналіз голосу та поведінки (Voice Biometrics та Gait Recognition)

Голос: Аналіз ентропії (fuzzy entropy для Voice Activity Detection), темпу мовлення та варіацій. Хода (gait): Патерни кроків через акселерометр або відео.

Техніки та алгоритми: GMM-UBM/i-vector для голосу, DL для gait (аналіз акселерометричних даних). Fuzzification перетворює відсотки виявлення (low/medium/high) для FIS.

Інтеграція в MFA: Гібрид з keystroke у тривірневій FIS (біометрія → ризик → фінальна автентифікація з токеном), для онлайн-банкінгу чи Metaverse.

Метрики: Точність виявлення >95%, ризик <30% у комбінації; EER знижується на 20–30% порівняно з традиційними MFA.

Виклики та перспективи. Методи стикаються з проблемами приватності (GDPR-сумісність), адаптивності до змін поведінки (деградація на 15–25%) та етичності (bias у ML). Перспективи: Квантово-стійкі алгоритми та DID на блокчейні для 80% систем до 2030. Загалом, поведінкова MFA переходить до проактивної, роблячи імітацію неможливою без фізичного доступу.

Таблиця 1.6 узагальнює ключові методи аналізу поведінкових ознак у багатофакторній автентифікації (MFA).

Таблиця 1.6 - Методи аналізу поведінкових ознак у багатофакторній автентифікації

Метод аналізу	Опис	Ключові техніки та алгоритми	Метрики (приклади)	Переваги	Недоліки	Застосування в MFA
Динаміка набору тексту (Keystroke Dynamics)	Аналіз часових патернів натискань клавіш (утримання, інтервали).	GMM-UBM, i-vector, RNN/CNN для послідовностей.	EER <5%, Accuracy >95% (на CMU).	Пасивна, не потребує доп. пристроїв; низька вартість.	Залежить від клавіатури; деградація при стресі.	Другий фактор після пароля; continuous auth у банківських додатках.

Кінець таблиці 1.6

Динаміка миші та жестів (Mouse Dynamics)	Вивчення траєкторій курсора, швидкості, кліків та тиску на екран.	CNN для траєкторій, SVM/RF для класифікації.	FAR 0,41%, FRR 4,02%; Accuracy 90–95%.	Адаптивна для десктопу/мобільного; стійка до shoulder-surfing.	Менш точна для мобільних; потребує даних про рухи.	Адаптивна MFA: step-up перевірка за ризиком; UBA-
---	---	--	--	--	--	---

						системи.
Аналіз голосу (Voice Biometrics)	Обробка темпу мовлення, ентропії та варіацій голосу.	GMM-UBM/i-vector, Fuzzy Entropy для VAD.	Точність >95%, EER <10%.	Універсальна для голосових інтерфейсів; комбінується з MFA.	Чутлива до шуму/хвороби; вразлива до deepfakes.	Гібрид з токеном у онлайн-банкінгу; ризик-оцінка транзакцій.
Розпізнавання ходи (Gait Recognition)	Аналіз патернів кроків через акселерометр або відео.	DL (LSTM/CNN) для акселерометричних даних.	Аскурація 85–90%, EER 5–15%.	Пасивна для IoT/мобільних; унікальна для фізичної ідентифікації.	Залежить від поверхні/взуття; низька точність у натовпі.	Безперервна MFA в смарт-будинках; комбінація з локацією.

Характеристики базуються на сучасних дослідженнях (2025 рік), з акцентом на пасивність, точність та інтеграцію.

1.5 Аналіз методів машинного навчання для аналізу поведінкових ознак у MFA

У сфері поведінкової автентифікації в багатофакторній автентифікації (MFA) методи машинного навчання (ML) та глибокого навчання (DL) використовуються для моделювання, класифікації та виявлення аномалій у поведінкових патернах, таких як динаміка набору тексту (keystroke dynamics), рухи миші (mouse dynamics) чи голосові характеристики. Ці методи дозволяють обробляти послідовні дані, адаптуватися до змін поведінки та досягати високої точності (EER <5%, accuracy >95%) у безперервній верифікації. Станом на 2025 рік, акцент на гібридних підходах, де класичні ML (наприклад, SVM, Random Forest) комбінуються з DL (CNN, LSTM) для temporal analysis, а fuzzy logic обробляє невизначеність. Узагальнемо ключові методи, згруповані за типами, з прикладами застосування [38-45].

1. Класичні методи ML (Supervised Learning). Ці алгоритми ефективні для статичного аналізу ознак (наприклад, середній час утримання клавіші чи швидкість курсора) і часто слугують базою для гібридів.

Support Vector Machine (SVM): Використовується для класифікації векторів ознак у *keystroke* та *mouse dynamics*. У комбінації з РОНММ (Probabilistic Output-Hidden Markov Model) досягає accuracy 86.8% для *keystroke authentication*. Для *mouse dynamics* SVM зменшує EER на 40% порівняно з базовими моделями.

Random Forest (RF): Ансамблевий метод для виявлення аномалій у траєкторіях миші; EER на датасеті DFL нижчий за SVM, але поступається DL на 8x.

K-Nearest Neighbors (KNN) та XGBoost/LightGBM: KNN класифікує сусідні патерни в реальному часі; LightGBM лідирує з accuracy 94.68% для *keystroke*, перевершуючи RF та SVM у *behavioral biometrics*.

Learning Vector Quantization (LVQ) Neural Network: Для статичної автентифікації на основі жестів миші, де векторизовані траєкторії класифікуються як унікальні "підписи".

2. Методи глибокого навчання (DL) для послідовних даних. DL ідеально підходить для *temporal patterns* (наприклад, ритм натискань чи траєкторії курсора), дозволяючи *continuous authentication* без втручання користувача.

Convolutional Neural Networks (CNN): Обробляють траєкторії миші як "зображення" (наприклад, ResNet/DenseNet для *feature fusion*). Accuracy 98.85–99.3% у *multimodal* системах (*mouse + keystroke*), з 47.3% зниженням помилок; у *mouse dynamics* для *point & click* завдань.

Long Short-Term Memory (LSTM) та Recurrent Neural Networks (RNN): LSTM аналізує часові послідовності (*dwell time* у *keystroke* чи *velocity* у *mouse*), покращуючи accuracy на 37% порівняно з статистичними методами. У гібриді CNN-RNN (RUMBA-mouse) для *rapid authentication* на основі миші.

Neural Networks (NN) загалом: Базові ANN для non-linear modeling у mouse gestures; у DL-based mouse dynamics для drag & drop та movement patterns.

3. Гібридні та fuzzy-методи для обробки невизначеності. Ці підходи комбінують ML з fuzzy logic для MFA, де поведінка оцінюється за ризиком (low/medium/high).

Mamdani Fuzzy Inference System (FIS): Багатошарова FIS для keystroke (вхід: typing speed, attempts) та voice (detection accuracy), з fuzzification (triangular/trapezoidal functions) та if-then rules. FIS1+ FIS2+ FIS3 генерують Boolean output (YES/NO) та fraud risk, accuracy >95% на CMU dataset, знижуючи false acceptance.

Гібридні моделі (наприклад, CNN-LSTM): Для continuous auth у mobile banking, з 31.7% зниженням фроду; fusion на feature-level перевершує score-level на 15–20%.

Таблиця 1.7 порівнює методи ML/DL за ключовими параметрами, базуючись на їх застосуванні в поведінковій автентифікації (2025 рік). Фокус на ефективності для temporal даних.

Таблиця 1.7 – Порівняння методів ML/DL

Метод ML/DL	Тип (Класичний/DL/Гібрид)	Основне застосування (ознаки)	Асcuracy (приклад)	EER (приклад)	Переваги	Недоліки
SVM (Support Vector Machine)	Класичний	Класифікація keystroke/mouse векторів.	86–90%	5–10%	Швидкий для малих датасетів; стійкий до шуму.	Не для послідовних даних; чутливий до гіперпараметрів.
Random Forest (RF)	Класичний	Аномалії в mouse trajectories; keystroke features.	90–94%	4–8%	Роботизький; обробляє non-linear дані.	Перетренування; повільний для великих даних.

Кінець таблиці 1.7

KNN/XGBoost/LightGBM	Класичний	Сусідня класифікація	94–95% (LightGBM)	3–6%	Висока точність; інтерпрет	KNN: повільний; XGBoost:
-----------------------------	-----------	----------------------	-------------------	------	----------------------------	--------------------------

		keystroke; бустинг для mouse.			ований.	ресурсоемний.
CNN (Convolutional NN)	DL	Траєкторії миші як "зображення"; keystroke fusion.	98–99%	<5%	Відмінно для візуальних патернів; feature extraction.	Потребує великих датасетів; "чорна скринька".
LSTM/RNN	DL	Temporal sequences (dwell time у keystroke/g ait).	92–95%	4–7%	Адаптивна до змін поведінки ; для часових рядів.	Висока обчислювальна складність; overfitting.
Mamdani FIS (Fuzzy Inference)	Гібрид	Ризик- оцінка з voice/keystroke (fuzzification).	>95%	<5%	Обробляє невизначеність; інтерпретований.	Складна настройка правил; не для великих даних.

Ці методи інтегруються в MFA як "невидимий" фактор (наприклад, після пароля LSTM для моніторингу миші), досягаючи 95.7% асигурання після 30 с взаємодії. Виклики: data sufficiency (потрібно 8+ сесій для тренування), bias та privacy (federated learning як рішення). Перспективи: квантово-стійкі DL для 2030.

Проведений аналіз сучасних підходів до багатфакторної автентифікації показав, що традиційні MFA системи (паролі, токени, біометрія) забезпечують високий рівень базової безпеки, але все частіше виявляють уразливості через фішинг, герлау-атаки, компрометацію ключів чи токенів.

У той же час, поведінкова автентифікація пропонує перспективу безперервної перевірки користувача на базі сенсорних даних та моделей машинного навчання, що підвищує адаптивність системи. Подальший розвиток MFA пов'язаний із інтеграцією поведінкових та біометричних факторів через алгоритми машинного аналізу даних. Такий підхід дозволяє створити адаптивні моделі автентифікації, які здатні самостійно оновлювати поведінковий профіль та оцінювати ризик у режимі реального часу. Однак інтеграція поведінкових

ознак у MFA на сьогодні здійснена недостатньо існують прогалини щодо адаптивного профілювання, контекстної обізнаності, динамічного оновлення моделей.

Отже, напрямком нашого дослідження полягає в розробці методу багатофакторної автентифікації, який поєднує біометричні та поведінкові фактори, з використанням алгоритмів машинного аналізу, що дозволить підвищити точність і надійність розпізнавання користувачів без зниження зручності доступу.

2 РОЗРОБЛЕННЯ МЕТОДУ КОМБІНОВАНОЇ БАГАТОФАКТОРНОЇ АВТЕНТИФІКАЦІЇ

2.1 Обґрунтування вибору методів та ознак

Для розробки нового методу MFA необхідно обґрунтувати набір автентифікаційних факторів (біометричних, поведінкових та контекстних), принципи їх формалізації як ознак, а також методи машинного аналізу й критерії прийняття рішень у комбінованій багатофакторній автентифікації (MFA). Підхід має бути узгоджено з сучасними стандартами і практиками NIST SP 800-63B (версія 2025) та WebAuthn (W3C) щодо фішинг-стійких автентифікаторів і рівнів гарантій [4; 52]. Додатково необхідно врахувати специфіку поведінкової біометрії за відомими бенчмарками (CMU Keystroke, Balabit Mouse) та завдання детекції підробок для голосових модальностей (ASVspoof), оскільки вони визначають реалістичні вимоги до ознак, метрик і протоколів оцінювання [53–56; 57-59].

Комплементарність джерел інформації. Жоден окремий автентифікаційний фактор не може гарантувати стійкість до всіх типів атак і варіацій користувацької поведінки.

Біометричні фактори (відбиток, обличчя, голос) забезпечують унікальність, але не враховують контекст чи стан користувача (хвороба, освітлення, втома).

Поведінкові фактори (динаміка клавіатури, рух миші, дотики, хода) дозволяють безперервно перевіряти легітимність користувача під час сесії, але схильні до внутрішньої варіабельності.

Контекстні фактори (час, місце, пристрій, IP-репутація) відображають зовнішні умови автентифікації та дають змогу системі оцінити ризик доступу ще до біометричної чи поведінкової перевірки.

Для підвищення стійкості до сучасних атак (phishing, credential stuffing, session hijacking) та покращення юзабіліті доцільно поєднати:

- біометричні фактори (властивості something you are);
- поведінкові фактори (something you do);
- контекстні фактори (час, місце, пристрій somewhere/how you are);

за потреби криптографічні фішинг-стійкі автентифікатори (FIDO2/WebAuthn) як мінімально інвазивний додатковий бар'єр [4; 52].

Згідно з NIST SP 800-63B-4 (липень 2025), автентифікаційні механізми мають відповідати рівням гарантій (AAL1–AAL3), забезпечувати стійкість до фішингу та керування життєвим циклом автентифікаторів; для біометрії регламентуються показники FMR/FNMR (аналог FAR/FRR) та процедура узгодження порогів [4]. У веб-середовищі WebAuthn формує криптографічно прив'язані до домену креденшіали з апаратною чи платформною підтримкою, що усуває багато класів фішингу [52].

Таким чином, обрані фактори забезпечують різні рівні інформаційної ентропії, а їх поєднання мінімізує спільну невизначеність:

$$H_{total} = H(X_{bio}) + H(X_{beh}) + H(X_{ctx}) - I(X_{bio}, X_{beh}, X_{ctx}),$$

де $H(\cdot)$ ентропія ознак, $I(\cdot)$ взаємна інформація між факторами.

Збільшення H_{total} означає вищу розрізнявальну здатність системи [4; 52].

Кожен тип фактора має свої типові вектори атак (табл 2.1)

Таблиця 2.1 – Напрямки захисту різних автентифікаційних факторів

Фактор	Основна загроза	Механізм захисту при комбінуванні
Біометрія	Підробка шаблону, "presentation attack", deepfake	Поведінковий аналіз виявляє нетипові рухи або затримки
Поведінка	Варіативність користувача, навчання атакуючого	Біометрія забезпечує фізичну унікальність
Контекст	Підміна пристрою/IP	Біометрія й поведінка підтверджують ідентичність користувача

Таким чином, помилки або атаки на один фактор не обов'язково призводять до компрометації всієї системи, що підвищує резильєнтність MFA [1,15].

Крім того, поєднання факторів дозволяє динамічно адаптувати рівень автентифікації:

- при низькому ризику (звичний пристрій, типова поведінка) достатньо поведінкової автентифікації;
- при середньому додається біометрія;
- при високому активується додатковий фішинг-стійкий фактор (наприклад, WebAuthn).

Це знижує FRR (False Rejection Rate), не збільшуючи навантаження на користувача, що підтверджено в дослідженнях Agias-Cabarcos et al. (2019) та Marasco et al. (2023) [13; 60].

Згідно аналізу літератури комбінація біометрії + поведінки забезпечує підвищення точності ідентифікації в середньому на 10–15 %, а зниження FAR до ≈ 2 %, FRR до ≈ 3 –4 %, порівняно з окремими факторами [1; 16].

Системи, що додатково враховують контекст (Adaptive MFA), показують зменшення помилок автентифікації до 40 % і скорочення середнього часу підтвердження (TTD) у 2–3 рази [47, 60].

У корпоративних рішеннях (Microsoft Entra, Okta Adaptive, Cisco Duo) контекстно-залежний ф'южн уже стандартизований як «risk-based authentication» і рекомендований NIST SP 800-63B-4 [4, 47, 60].

Згідно з теорією ансамблів, якщо помилки окремих класифікаторів слабо корельовані, то об'єднання (ф'южн) дає меншу сумарну похибку. Для трьох факторів з вагами α , β , γ

$$P_{err}^{fusion} = \alpha P_{err}^{bio} + \beta P_{err}^{beh} + \gamma P_{err}^{ctx} - Cov(e_{bio}, e_{beh}) - Cov(e_{bio}, e_{ctx}) - Cov(e_{beh}, e_{ctx}),$$

де e_i випадкові змінні, що описують помилки факторів.

Якщо міжфакторна кореляція помилок низька ($Cov \approx 0$), тоді $P_{err}^{fusion} < \min(P_{err}^{bio}, P_{err}^{beh}, P_{err}^{ctx})$, тобто комбінування гарантує покращення точності [61].

Рекомендації NIST 800-63B-4 і ENISA 2024 MFA Guidelines прямо закликають до використання behavioral + contextual signals як доповнення до криптографічних автентифікаторів для AAL2+/AAL3 систем [4; 62].

Комбіновані системи активно впроваджуються у фінансових, державних і мобільних платформах (PSD2 Strong Customer Authentication, eIDAS2.0) [63].

Отже, поєднання біометричних, поведінкових і контекстних факторів є:

- науково обґрунтованим (мінімізація корельованих помилок, підвищення ентропії, багаторівнева верифікація);
- практично доцільним (зниження FAR/FRR, адаптивність, комфорт користувача);
- відповідним міжнародним стандартам і регламентам безпеки (NIST, ENISA, PSD2, eIDAS).

На рис. 2.1 представлено структуру системи MFA

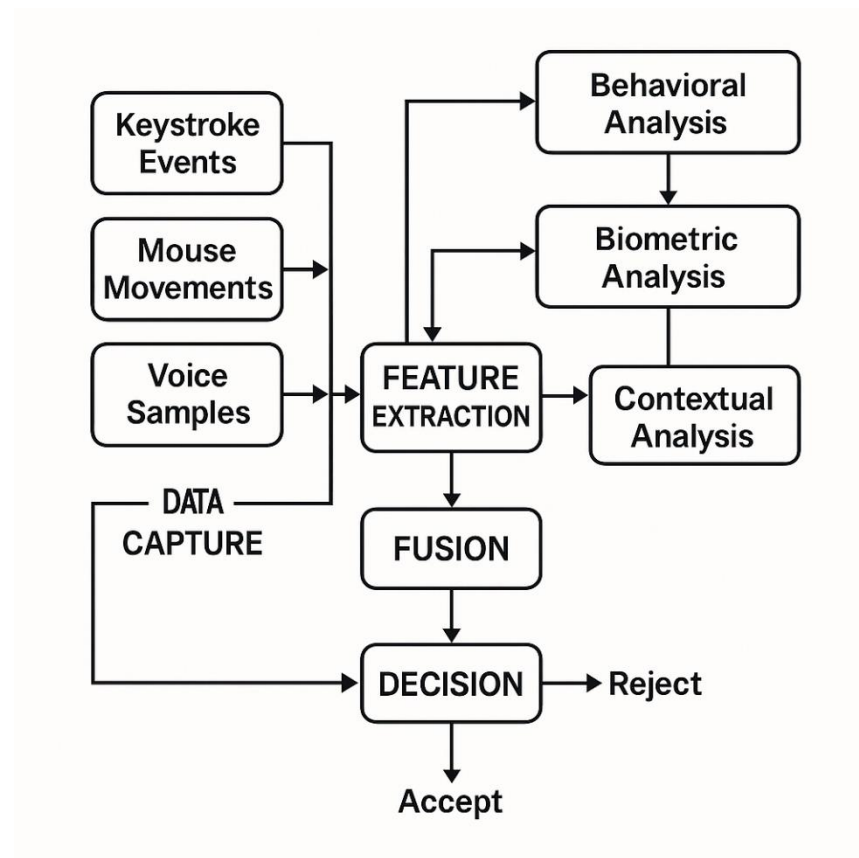


Рисунок 2.1 – Структура системи MFA

Таке інтегроване рішення створює баланс між надійністю, зручністю та захистом персональних даних, забезпечуючи перехід від статичної

автентифікації до інтелектуальної, контекстно-залежної та самонавчальної системи MFA.

2.2 Формалізація ознак і постановка задачі

Нехай u користувач, X_{bio} , X_{beh} , X_{ctx} відповідно вектори біометричних, поведінкових та контекстних ознак, отримані в момент спроби доступу t .

$$\mathbf{x}_u(t) = [X_{bio}(t) \| X_{beh}(t) \| X_{ctx}(t)] \in \mathbb{R}^d \quad (2.1)$$

де $\|$ конкатенація; d загальна розмірність.

Завдання автентифікації формулюємо як бінарну перевірку гіпотез:

$\mathcal{H}_0: \mathbf{x}_u(t) \sim$ імпостер,

$$\mathcal{H}_1: \mathbf{x}_u(t) \sim \text{легітимний користувач.} \quad (2.2)$$

У ймовірнісній постановці приймаємо рішення на основі байєсівського правила мінімізації ризику:

$$\delta(\mathbf{x}) = \begin{cases} \text{асцепт,} & \text{якщо } \log \frac{p(\mathbf{x} | \mathcal{H}_1)}{p(\mathbf{x} | \mathcal{H}_0)} + \log \frac{\pi_1 C_{10}}{\pi_0 C_{01}} \geq 0, \\ \text{рејест,} & \text{інакше,} \end{cases}$$

де π_i апіорні імовірності, C_{10}, C_{01} вартості помилок (прийняття імпостера / відхилення легітимного). На практиці оцінюємо скорингову функцію $S(x)$ і поріг τ :

$$\text{асцепт} \Leftrightarrow S(\mathbf{x}) \geq \tau, \text{рејест} \Leftrightarrow S(\mathbf{x}) < \tau.$$

Оптимізація порогу. Для політики мінімізації EER (Equal Error Rate) обирають τ , щоб FAR дорівнює FRR:

$$\text{EER} = \min_{\tau} |\text{FAR}(\tau) - \text{FRR}(\tau)|, \text{та } \text{FAR}(\tau^*) = \text{FRR}(\tau^*).$$

У відповідності до протоколів ASVspoof для голосових модальностей додатково використовуємо метрику min-tDCF для оцінювання інтеграції детектора підробок у загальну систему ASV [55; 56; 59].

2.2.1 *Біометричні ознаки* (X_{bio}). Приклади модальностей: відбиток, обличчя, голос. У контексті нашої роботи доцільно обрати локально верифіковані біометричні ознаки (на пристрої) з криптографічним підтвердженням автентичності шаблону (TPM/TEE), або поєднання з WebAuthn/FIDO2 як фішинг-стійкий другий фактор [4; 52].

Формалізація (приклад для обличчя/голосу) (2.3):

- ембединг $z_{bio} \in R^d$, отриманий DNN-моделлю (FaceNet-подібні, x-vector),
- відстань або подібність до еталона $z_{bio}^{(ref)}$.

$$S_{bio} = \cos(\mathbf{z}_{bio}, \mathbf{z}_{bio}^{(ref)}) \text{ або } S_{bio} = -\|\mathbf{z}_{bio} - \mathbf{z}_{bio}^{(ref)}\|_2. \quad (2.3)$$

Вимоги й обмеження. Важливі показники FMR/FNMR, стійкість до підробок (презентаційні атаки), відповідність політикам зберігання біометричних шаблонів (незворотність, відв'язаність), згідно з [4].

2.2.2 *Поведінкові ознаки* (X_{beh}). Поведінка корисна для безперервної, “тихої” автентифікації, що підвищує безпеку без додаткових дій користувача [16; 64]. Оберемо дві зрілі модальності з відкритими бенчмарками:

- *keystroke dynamics* часові інтервали натискань/відпускань клавіш (dwell/flight time). Стандартний бенчмарк набір CMU Keystroke (DSN 2009) [53; 58].

- *mouse dynamics* траєкторії курсора, швидкість/прискорення, мікрожести. Бенчмарк Valabit Mouse Dynamics Challenge [54].

Формалізація (keystroke): нехай $\{t_k^{down}, t_k^{up}\}$ час натиснення/відпускання клавіші k . Тоді

$$dwell_k = t_k^{up} - t_k^{down}, \text{ flight}_{k \rightarrow k+1} = t_{k+1}^{down} - t_k^{up}.$$

Вектор поведінкових ознак однієї сесії

$$X_{beh}^{(key)} = [\mu(dwell), \sigma(dwell), \mu(flight), \sigma(flight), \dots].$$

Формалізація (mouse): для траєкторії $\{(x_i, y_i, t_i)\}_{i=1}^n$ обчислюємо швидкості, прискорення, кривизну, мікрожести

$$v_i = \frac{\sqrt{(x_i - x_{i-1})^2 + (y_i - y_{i-1})^2}}{t_i - t_{i-1}},$$

$$a_i = \frac{v_i - v_{i-1}}{t_i - t_{i-1}}$$

$$\kappa_i \approx \frac{|(x_{i+1} - x_i)(y_i - y_{i-1}) - (y_{i+1} - y_i)(x_i - x_{i-1})|}{(\sqrt{(x_i - x_{i-1})^2 + (y_i - y_{i-1})^2})^3}.$$

Фічі конструюємо як статистики (μ , σ , p -квантілі) по вікню часу ΔT :

$$X_{beh}^{(mouse)} = [\mu(v), \sigma(v), \mu(a), \sigma(a), \mu(\kappa), \sigma(\kappa), \text{click rate}, \text{pause ratio}, \dots].$$

Нормалізація та стабільність. Через варіабельність поведінки виконуємо робастну нормалізацію (наприклад, медіана/IQR) та корекцію пристрою (DPI, частота опитування миші, розкладка клавіатури). Для зменшення зсувів у часі можливі онлайнві оновлення профілю, як рекомендує сучасна література з continuous authentication [16; 64].

2.2.3 Контекстні ознаки (X_{ctx}). Контекст (час доби, геолокація, тип/стан пристрою, IP-репутація, відхилення середовища виконання) підвищує адаптивність MFA: при низькому ризику можна не турбувати користувача додатковими факторами; при високому вимагати фішинг-стійкий фактор (наприклад, WebAuthn) [4; 52; 60].

Наприклад,

$$X_{ctx} = [\text{hour_of_day}, \text{tz_mismatch}, \text{geo_distance_from_last}, \text{device_posture}, \text{ip_risk_s}]$$

Для об'єднання поведінки й контексту корисними є адаптивні/контекстно-залежні правила вибору порогу τ та ваг ϕ 'южну (п.2.3).

2.3 Інтегральне скоринг-правило та ваговий ф'южн

Score-level fusion. Для сумісності з різними моделями (біометрія/поведінка/контекст) застосуємо ваговий лінійний ф'южн:

$$S_{fusion}(\mathbf{x}) = \alpha S_{bio}(\mathbf{x}) + \beta S_{beh}(\mathbf{x}) + \gamma S_{ctx}(\mathbf{x}),$$

$$\alpha\beta\gamma \geq 0,$$

$$\alpha + \beta + \gamma = 1$$

$S_{bio}(x)$ - скоринг біометричної модальності - числовий показник подібності поточної біометричної ознаки до еталонного шаблону. Наприклад, косинусна міра близькості ембедингів обличчя, від'ємна евклідова відстань для голосових або відбитків.

$S_{beh}(x)$ - оцінка поведінкової модальності - ймовірність або скоринг того, що патерн натиснення клавіш, руху миші або жестів відповідає профілю користувача.

$S_{ctx}(x)$ - контекстний скоринг - числова оцінка ризику або довіри, сформована на основі геолокації, пристрою, часу доби, IP-адреси, середовища браузера.

Ваги α , β , γ кількісно відображають важливість кожного фактора для прийняття рішення. Вимоги до значень ваг: не можуть бути від'ємними; у сумі формують 1 (нормалізація); можуть адаптуватися в режимі реального часу залежно від ризику.

У конкретних реалізаціях ваги можуть бути статичними, заданими емпірично; або динамічними, обчисленими за допомогою моделі ризику

Адаптивний добір ваг. Ваги (α, β, γ) пов'язали з оперативною оцінкою ризику $r \in [0,1]$ і якістю каналів/датчиків. Наприклад:

$$\alpha(r) = \alpha_0 + \lambda_1 r,$$

$$\beta(r) = \beta_0 + \lambda_2 (1 - r),$$

$$\gamma(r) = 1 - \alpha(r) - \beta(r).$$

де r може бути виведений із контекстних ознак через окрему модель ризику $r = g(X_{ctx})$ (логістична регресія, GBM або невелика DNN) [52; 60]. Якщо $r \approx 0 \rightarrow$ низький ризик (типовий доступ), $r \approx 1 \rightarrow$ високий ризик (підозрілий доступ).

α_0, β_0 базові ваги кожної модальності у нормальному стані системи.

λ_1, λ_2 коефіцієнти чутливості ваг до змін рівня ризику.

Інтерпретація адаптації. При високому ризику $r \rightarrow 1$ зростає вага біометрії (α), зменшується вага поведінки (β), контекст (γ) доповнює баланс. При низькому ризику $r \rightarrow 0$ поведінка може бути основним фактором (пасивний режим), біометрія використовується мінімально або не запитується.

Така схема узгоджується з практикою risk-based authentication (Microsoft Entra, Cisco Duo, Okta).

Рішення з “запитом додаткового фактора”. Для MFA важливо мати третій стан require extra factor.

Введемо два пороги $\tau_1 < \tau_2$. τ_1 мінімально допустимий рівень довіри. Менший за нього \rightarrow велика ймовірність атаки. τ_2 поріг повної впевненості. Більший \rightarrow система допускає користувача без додаткової перевірки.

Фаза "challenge". Це найважливіше у сучасних системах MFA - якщо користувач отримав середній рівень довіри, система просить додатковий фактор.

Це відповідає вимогам NIST SP 800-63B-4, де автентифікація має бути адаптивною.

$$\delta(\mathbf{x}) = \begin{cases} \text{reject,} & S_{\text{fusion}}(\mathbf{x}) < \tau_1, \\ \text{challenge (extra factor),} & \tau_1 \leq S_{\text{fusion}}(\mathbf{x}) < \tau_2, \\ \text{accept,} & S_{\text{fusion}}(\mathbf{x}) \geq \tau_2. \end{cases}$$

У випадку challenge система ініціює фішинг-стійкий фактор (наприклад, найчастіше WebAuthn/FIDO2) [52].

2.4 Функції втрат і критерії оптимізації

Для налаштування θ (параметри моделей ознак/скорингу та α, β, γ) та порогів τ_1, τ_2 мінімізуємо вартісно-чутливу функцію втрат:

$$\mathcal{L}(\theta, \tau_1, \tau_2) = C_{FA} \cdot \text{FAR}(\theta, \tau_2) + C_{FR} \cdot \text{FRR}(\theta, \tau_1) + C_{UX} \cdot \Pr\{\tau_1 \leq S_{\text{fusion}} < \tau_2\},$$

де C_{FA} вартість хибного допуску (безпека), C_{FR} вартість хибної відмови (юзабіліті), C_{UX} вартість “челенджів” (додаткові кроки для користувача).

Функція втрат дає змогу формально оптимізувати пороги, ураховує ризик-орієнтовану політику автентифікації, гарантує баланс між безпекою та зручністю, узгоджується з підходами NIST, ISO 30107, PSD2 SCA.

Альтернативно використовують максимізацію AUC-ROC або мінімізацію EER; для голосу/спуфінгу $\min\text{-tDCF}$ [13, 60, 63].

Вартість помилок C визначається економічними наслідками (табл. 2.2).

Таблиця 2.2 – Орієнтовні співвідношення вартостей помилок C_{FA} , C_{FR} , C_{UX} для різних типів систем автентифікації

Тип системи	Приклади систем	Критичність безпеки	Рекомендоване співвідношення
Високоризикові фінансові та державні сервіси	Онлайн-банкінг, міжбанківські розрахунки, державні реєстри, критична інфраструктура	Дуже висока; компрометація призводить до великих фінансових і юридичних втрат	$C_{FA} : C_{FR} : C_{UX} = 200 : 2 : 1$
Корпоративні системи з конфіденційними даними	Внутрішні портали компаній, ERP/CRM, репозиторії коду, документообіг	Висока; витік даних критичний, але помірні відмови прийнятні	(100 : 3 : 1)
Хмарні офісні та освітні сервіси	Корпоративна пошта, LMS, університетські портали, сервіси співпраці	Середня; важливий баланс між зручністю та безпекою	(50 : 5 : 1)
Масові онлайн-сервіси	Новинні портали, форуми, розважальні сервіси, демо-доступ	Низька; важлива зручність доступу	(10 : 5 : 1)
Тестові та навчальні середовища	Лабораторні роботи, студентські портали, наукові стенди	Низька; ризик мінімальний	(5 : 5 : 1)

C_{FA} визначається як очікувана шкода від несанкціонованого доступу: втрати даних, фінансовий збиток, штрафи GDPR, компрометація акаунта.

У банківських системах C_{FA} у 50–100 разів більше, ніж C_{FR} . C_{FR} відображає втрати від переривання роботи користувача. Для корпоративних систем це може бути час, витрачений на повторну спробу → еквівалент зарплатних витрат, негативний вплив на продуктивність.

C_{UX} – це «вартість роздратування користувача». У великих ІТ-продуктах (Google, Microsoft) оцінюється як ймовірність втрати користувача, збільшення часу авторизації, відмови від застосунку.

В нормативних вимогах NIST SP 800-63B чітко вказує, що критичні операції повинні мінімізувати FAR, навіть ціною підвищення FRR; некритичні системи повинні мінімізувати FRR, щоб зберегти юзабіліті.

Тому ваги відображають критичність системи.

Microsoft, Okta, Google у своїх звітах вказують співвідношення вартостей: C_{FA} приблизно у 100–300 разів більший за C_{FR} , C_{UX} у 5–10 разів менший за C_{FR} .

В моделях «оприлюднених помилок» (Penalty-based tuning) інженери безпеки вводять конкретні числа: $C_{FA} = 100$, $C_{FR} = 1$, $C_{UX} = 0.2$

Система підбирає пороги τ_1 , τ_2 так, щоб мінімізувати очікувану вартість.

Функція втрат дає змогу формально оптимізувати пороги, ураховує ризик-орієнтовану політику автентифікації, гарантує баланс між безпекою та зручністю, узгоджується з підходами NIST, ISO 30107, PSD2 SCA

2.5 Узагальнена вимірювальна схема та протоколи валідації

Оцінювання ефективності системи комбінованої багатофакторної автентифікації потребує чітко визначених процедур валідації та порівняння результатів. Коректність отриманих показників значною мірою залежить від того, наскільки експериментальні протоколи узгоджені з усталеними практиками академічних досліджень і промислових бенчмарків. Оскільки запропонований метод включає поєднання біометричних, поведінкових та контекстних факторів, необхідно забезпечити відтворюваність вимірювань, стабільність результатів та репрезентативність оцінки для реальних умов експлуатації.

Першим елементом вимірювальної схеми є вибір протоколу розподілу даних. Для задач поведінкової автентифікації доцільно використовувати схеми, що є стандартом для відомих бенчмарків зокрема, leave-one-subject-out та k-fold cross-validation. Перший підхід дозволяє оцінити узагальнювальну здатність моделі на користувачах, яких система не бачила під час навчання, що імітує реальні умови появи нових користувачів у системі. Другий забезпечує

статистичну стійкість результатів і дає змогу оцінити чутливість моделі до коливання обсягів даних у підвибірках.

Другим елементом є визначення метрик якості, що дозволяють всебічно охарактеризувати поведінку моделі. Для автентифікаційних систем традиційно використовують:

FAR (False Acceptance Rate) ймовірність допуску зловмисника;

FRR (False Rejection Rate) ймовірність відмови легітимному користувачу;

EER (Equal Error Rate) точка рівності FAR та FRR;

AUC-ROC інтегральна характеристика роздільної здатності;

TTD (Time-To-Detect) середній час виявлення аномальної активності;

min-tDCF (для голосових модальностей), згідно з протоколами ASVspoof.

Оскільки комбінована система містить кілька шарів перевірок (поведінкова, біометрична, контексна), необхідно оцінювати не лише ефективність кожного компонента, але й узгодженість роботи ф'южн-модуля, що здійснює інтегральне рішення. Для цього у вимірювальну схему додатково вводиться оцінка частки транзакцій, що потрапляють до «зони невизначеності» між порогами τ_1 та τ_2 , коли система потребує запиту додаткового фактора автентифікації. Такий підхід відповідає сучасним вимогам стандартизованого ризик-орієнтованого доступу, зокрема практикам NIST SP 800-63B.

Нарешті, значну роль відіграє відповідність протоколів валідації специфіці модальностей. Біометричні ознаки повинні оцінюватися відповідно до вимог FMR/FNMR, поведінкові за сценаріями continuous authentication, а голосові згідно з протоколами ASVspoof 2019/2021 з обов'язковим використанням min-tDCF для інтегрованих систем. Такий підхід забезпечує єдність порівняння і дає змогу інтерпретувати результати в межах міжнародних стандартів.

У цілому, сформована вимірювальна схема є комплексною та відображає як точність індивідуальних модулів, так і ефективність комбінованого рішення.

Її застосування гарантує об'єктивність отриманих результатів та забезпечує можливість подальшого порівняння із станом сучасних наукових розробок.

Безпека, приватність і відповідність стандартам. Оцінювання та впровадження методу комбінованої багатофакторної автентифікації неможливе без урахування аспектів безпеки, захисту персональних даних та відповідності регуляторним вимогам. Біометричні та поведінкові ознаки є чутливими з точки зору приватності, а обробка контекстних даних може включати інформацію про місцезнаходження чи стан пристроїв, що підпадає під регулювання GDPR, eIDAS 2.0 та рекомендацій NIST щодо керування біометричними шаблонами.

Біометричні дані є незворотними, тому їхнє компрометування має незмірно більші наслідки, ніж викрадення пароля чи токена. Тому міжнародні стандарти (зокрема NIST SP 800-63B-4) вимагають уникати централізованого зберігання біометричних шаблонів та використовувати апаратні модулі захисту TPM, Secure Enclave або інші апаратні ключі. Це забезпечує локальну перевірку біометрії та унеможлиблює її витік у разі компрометації сервера. Для підвищення стійкості до презентаційних атак біометричний модуль повинен бути доповнений механізмами антиспуфінгу та детекції підробок, що оцінюються за протоколами ASVspoof (метрики EER та min-tDCF), які входять у сучасні рекомендації з безпеки біометричних систем.

Поведінкові ознаки мають іншу природу ризиків: вони змінюються з часом і можуть містити непрямі відомості про спосіб життя користувача. Тому такі дані повинні підлягати політиці мінімізації (зберігаються лише агреговані профілі), регулярному оновленню та видаленню в разі втрати актуальності. Використання робастних нормалізаторів та анонімізованих індексів ризику дозволяє знизити ймовірність зворотної ідентифікації та відповідає вимогам privacy-by-design.

Контекстні фактори, зокрема геолокація, тип пристрою або IP-репутація, підлягають регулюванню з точки зору GDPR як персональні дані. У запропонованому нами методі контекст виконує роль динамічного модифікатора рівня ризику та вагових коефіцієнтів у ф'южн-модулі, що

дозволяє уникнути передачі точних геоданих на сервер, якщо використовувати агреговані категорії («звичне місце», «нетипова країна», «підозрілий IP» тощо).

Ще одним важливим елементом безпеки є здатність системи протидіяти фішингу, атакам типу replay та session hijacking. Тому у разі потрапляння скорингового значення до невпевненої зони (між порогами τ_1 та τ_2) система повинна вимагати подання фішинг-стійкого автентифікатора наприклад, WebAuthn/FIDO2. Це відповідає сучасним європейським рекомендаціям (ENISA, PSD2 SCA) щодо використання криптографічно захищених ключів, прив'язаних до домену та пристрою користувача.

Таким чином, розроблений метод поєднує високий рівень захищеності з нормативною відповідністю та принципами захисту приватності. Передбачена архітектура враховує вимоги до зберігання біометрії, обробки поведінкових ознак, мінімізації контекстних даних та забезпечує можливість безпечної інтеграції в системи з вимогами рівня AAL2+/AAL3. Це робить метод придатним до використання у високоризикових сценаріях державних електронних сервісах, банківських системах, корпоративних мережах та середовищах з підвищеними вимогами до безпеки доступу.

Узагальнюючи проведений аналіз факторів, можна стверджувати, що доцільність вибору саме біометричних, поведінкових та контекстних факторів для побудови комбінованої багатофакторної автентифікації зумовлена їхньою комплементарністю, різною природою інформаційних ознак та відмінною чутливістю до типових атак. Сучасні дослідження зі сфери захисту інформації та розвитку адаптивних систем автентифікації свідчать, що жоден із факторів окремо не здатний забезпечити достатню стійкість у середовищах з високими ризиками компрометації користувацьких облікових даних. Зокрема, біометричні характеристики володіють високою розрізнявальною здатністю та забезпечують надійну ідентифікацію завдяки унікальності фізіологічних параметрів користувача, проте залишаються вразливими до презентаційних атак і можуть демонструвати зниження точності за умов змін у зовнішньому середовищі або фізичному стані користувача. Поведінкові ж характеристики,

навпаки, здатні забезпечувати безперервний контроль легітимності користувача в процесі взаємодії з пристроєм, однак притаманні варіативність та залежність від поточного контексту, що потребує додаткових механізмів стабілізації та оновлення профілю.

Поєднання цих факторів дозволяє компенсувати обмеження кожного з них. Біометрія забезпечує базову унікальність та надійність ідентифікації, поведінка додає можливість неперервного та непомітного для користувача підтвердження легітимності, а контекстні сигнали відображають зовнішні умови доступу (тип пристрою, час, геолокацію, IP-репутацію), завдяки чому система отримує здатність адаптувати рівень вимог до автентифікації залежно від оціненого рівня ризику. Таким чином формується багаторівнева архітектура, у якій кожен фактор виконує власну функцію: біометричний підтверджує «хто» є користувачем, поведінковий «як» він взаємодіє з системою, а контекстний «за яких умов» здійснюється доступ.

З позиції теорії інформації інтеграція декількох незалежних джерел даних веде до збільшення сумарної інформаційної ентропії та, відповідно, до підвищення розрізнявальної здатності системи автентифікації. Оскільки різні фактори демонструють слабо корельовані помилки, їх об'єднання у скоринговій моделі дозволяє зменшити ймовірність помилкового допуску та хибної відмови. Це узгоджується з фундаментальними результатами теорії ансамблевих класифікаторів, згідно з якими комбіновані моделі мають нижчу загальну помилку за рахунок агрегації незалежних предикторів. Той факт, що поведінкові та біометричні ознаки реагують на різні характеристики користувача, а контекст відображає зовнішні умови доступу, дозволяє отримати систему з вищою стійкістю до атак типу credential stuffing, phishing, session hijacking, replay та deepfake-імітацій.

Важливо також відзначити, що комбінування трьох факторів дозволяє на практиці досягнути балансу між безпекою та зручністю використання системи. За умов низького ризику доступ може здійснюватися на основі лише поведінкової перевірки, що мінімізує втручання в роботу користувача. За

підвищеного ризику система може активувати вимогу додаткового фактора біометричного або фішинг-стійкого криптографічного ключа. Такий ризик-орієнтований підхід, що відповідає сучасним рекомендаціям NIST SP 800-63B-4 та ENISA, дозволяє забезпечити достатню гнучкість системи й адаптацію до динамічних змін у поведінці користувача, а також до варіацій оточення.

Отже, інтеграція біометричних, поведінкових і контекстних факторів у єдину комбіновану модель є науково обґрунтованим і практично ефективним рішенням, яке забезпечує високу точність ідентифікації, зменшує ймовірність критичних помилок і дозволяє побудувати масштабовану, адаптивну та фішинг-стійку систему багатфакторної автентифікації відповідно до сучасних вимог інформаційної безпеки.

2.6 Алгоритм машинного аналізу поведінкових та біометричних ознак

Здійснено формалізацію математичних моделей, що лежать в основі побудови поведінкового та біометричного профілів користувача, а також опис алгоритму обчислення інтегрального індексу ризику, який використовується як ключовий параметр у системі комбінованої багатфакторної автентифікації. Запропонований підхід забезпечує узагальнення різних типів факторів часових, моторних, голосових та контекстних у єдиний числовий показник, придатний для подальшого ф'южн-аналізу.

2.6.1 Формування поведінкового профілю користувача. Поведінковий профіль користувача описується через сукупність характеристик його взаємодії з клавіатурою, мишею та сенсорними поверхнями. Для кожного параметра вводиться формалізоване позначення.

1 Клавіатурні ознаки. Нехай t_i^{press} та $t_i^{release}$ час натискання та відпускання клавіші i .

Тоді час утримання клавіші (dwell time)

$$d_i = t_i^{release} - t_i^{press},$$

час між натисканнями (flight time)

$$f_{i,i+1} = t_{i+1}^{press} - t_i^{release}.$$

Для побудови стабільного профілю використовується вектор статистик

$$\mathbf{x}_{key} = [\mu_d, \sigma_d, \mu_f, \sigma_f, IQR(d), IQR(f)],$$

де μ середнє, σ стандартне відхилення, IQR міжквартильний розмах.

2 Ознаки руху миші. Нехай (x_t, y_t) координати курсора в момент часу t .

Тоді швидкість руху курсора

$$v_t = \sqrt{(x_t - x_{t-1})^2 + (y_t - y_{t-1})^2},$$

прискорення

$$a_t = v_t - v_{t-1},$$

кривизна траєкторії

$$\kappa_t = \frac{|(x_t - x_{t-1})(y_{t-1} - y_{t-2}) - (y_t - y_{t-1})(x_{t-1} - x_{t-2})|}{((x_t - x_{t-1})^2 + (y_t - y_{t-1})^2)^{3/2}}.$$

Формуємо вектор поведінкових ознак

$$\mathbf{x}_{mouse} = [\mu_v, \sigma_v, \mu_a, \sigma_a, \mu_\kappa, \sigma_\kappa].$$

2.6.2 *Формування біометричного профілю.* Для голосових та інших біометричних ознак система використовує дескриптори, згенеровані нейронними моделями (наприклад, x-vector, ECAPA-TDNN).

Нехай $e \in R^{512}$ біометричний ембединг голосу.

Для кожного користувача формується еталонний шаблон

$$\mathbf{E}_{ref} = \frac{1}{N} \sum_{i=1}^N \mathbf{e}_i,$$

де N кількість зразків.

Для нової сесії обчислюється косинусна відстань

$$d_{bio} = 1 - \frac{\mathbf{e} \cdot \mathbf{E}_{ref}}{\|\mathbf{e}\| \|\mathbf{E}_{ref}\|}.$$

Це значення подається у ф'южн-модуль як біометричний скоринг.

2.6.3 *Нормалізація та стандартизація ознак.* Для забезпечення порівнюваності всіх факторів використовується робастна стандартизація

$$x^{norm} = \frac{x - \text{median}(x)}{IQR(x)}.$$

Цей підхід менш чутливий до аномалій, що особливо важливо для поведінкових фіч.

2.6.4 *Обчислення індексу ризику поведінки.* Для кожної групи поведінкових ознак обчислюється відстань між поточною сесією x_{curr} і профілем користувача X_{ref}

$$R_{beh} = \|x_{curr} - X_{ref}\|_2.$$

Альтернативно, якщо використовується автоенкодер

$$R_{beh} = \|x_{curr} - AE(x_{curr})\|_2,$$

де $AE(\cdot)$ реконструкція вхідного вектора.

2.6.5 *Інтегральний індекс ризику.* Інтегральний індекс об'єднує декілька факторів:

$$R = w_{key}R_{key} + w_{mouse}R_{mouse} + w_{bio}R_{bio} + w_{ctx}R_{ctx},$$

де R_{key} ризик клавіатурних ознак,

R_{mouse} ризик траєкторій миші,

R_{bio} біометричний скоринг,

R_{ctx} контекстний ризик,

w_i ваги, адаптивно обрані у ф'южн-модулі. Це значення надалі використовується у двопороговій схемі рішення.

Етапи алгоритма обчислення інтегрального індексу ризику користувача (R) (табл. 2.3):

Вхідні дані (Вимоги) (Require): K (струмінь подій клавіатури), M (траєкторії миші), E (біометричний ембединг), C (контекст).

Вихідні дані (Гарантія) (Ensure): R (Інтегральний індекс ризику).

Таблиця 2.3 – Алгоритм обчислення інтегрального індексу ризику користувача

Крок	Опис
1	Виділення характеристик клавіатурного почерку з подій K
2	Виділення характеристик руху миші з траєкторій M.
3	Обчислення ризику клавіатури як Евклідової відстані між поточними та еталонними характеристиками.
4	Обчислення ризику миші як Евклідової відстані між поточними

	та еталонними характеристиками.
5	Обчислення біометричного ризику. $\cos(E, E^{ref})$ – це косинусна схожість, де E – поточний, а E^{ref} – еталонний ембединг.
6	Обчислення контекстного ризику/оцінки на основі поточної ситуації C
7	Обчислення фінального інтегрального індексу ризику (R) як зваженої суми окремих індексів ризику, де w – відповідні вагові коефіцієнти.
8	Повернення фінального індексу ризику.

Псевдокод алгоритму побудови індексу ризику представлено на рис. 2.2.

Algorithm 1 Обчислення інтегрального індексу ризику користувача

Require: Струмій подій клавіатури K , траєкторії миші M , біометричний ембединг E , контекст C

Ensure: Інтегральний індекс ризику R

- 1: $X_{key} \leftarrow \text{extract_keystroke_features}(K)$
 - 2: $X_{mouse} \leftarrow \text{extract_mouse_features}(M)$
 - 3: $R_{key} \leftarrow \|X_{key} - X_{key}^{ref}\|_2$
 - 4: $R_{mouse} \leftarrow \|X_{mouse} - X_{mouse}^{ref}\|_2$
 - 5: $R_{bio} \leftarrow 1 - \cos(E, E^{ref})$
 - 6: $R_{ctx} \leftarrow \text{context_score}(C)$
 - 7: $R \leftarrow w_{key}R_{key} + w_{mouse}R_{mouse} + w_{bio}R_{bio} + w_{ctx}R_{ctx}$
 - 8:
 - 9: **return** R
-

Рисунок 2.2 - Псевдокод алгоритму розрахунку індексу ризику

Складність $O(1)$ лінійний, швидкий для реального часу.

2.7 Модель об'єднання факторів (ф'южн-модуль) у системі комбінованої багатофакторної автентифікації

Розроблений метод багатофакторної автентифікації ґрунтується на інтеграції біометричних, поведінкових та контекстних факторів у єдину систему прийняття рішень. Центральним елементом такої системи є ф'южн-модуль, завдання якого полягає у тому, щоб перетворити неоднорідні за природою ознаки та часткові скорингові оцінки у спільний інтегральний

показник довіри до користувача та відповідне рішення щодо автентифікації. У цьому підпункті формалізовано підхід до об'єднання факторів, наведено математичний опис скорингової функції, адаптивного налаштування ваг, функції втрат та двопорогового правила прийняття рішення, а також описано архітектуру системи й типові сценарії використання.

2.7.1 Рівні ф'южн-аналізу в комбінованій MFA. У загальному випадку об'єднання кількох факторів автентифікації може здійснюватися на різних рівнях: рівні ознак, рівні скорингу або рівні рішень. У межах запропонованого методу основний акцент робиться на ф'южн-аналізі на рівні скорингу, оскільки саме цей підхід забезпечує гнучкий баланс між точністю, інтерпретованістю та практичною реалізованістю.

На рівні ознак виконується конкатенація векторів ознак, отриманих з поведінкових, біометричних і контекстних джерел, у єдиний високорозмірний вектор, який подається на вхід моделі машинного навчання. Такий підхід дозволяє будувати складні нелінійні залежності, але призводить до зростання розмірності та ризику перенавчання. На рівні скорингу кожному фактору ставиться у відповідність окрема скоринг-функція, що відображає ступінь довіри до користувача за цим фактором; далі ці скорингові оцінки агрегуються з урахуванням ваг. На рівні рішень комбінуються вже бінарні (або трьохстанні) рішення окремих модулів, що дозволяє реалізувати логіку голосування або пріоритетів, але втрачає частину інформації про «ступінь впевненості».

У подальшому основним об'єктом моделювання є ф'южн-модуль на рівні скорингу, який природним чином поєднується з двопороговим рішенням і вартісно-чутливою функцією втрат.

2.7.2 Скоринг-функція інтегральної оцінки. Нехай для поточної сесії користувача x вже обчислені часткові скорингові оцінки для біометричного, поведінкового та контекстного факторів. Позначимо їх як $S_{bio}(x)$, $S_{beh}(x)$ та $S_{ctx}(x)$ відповідно. Кожна з цих функцій відображає числову міру «схожості» або «довіри» до користувача з погляду конкретного фактору.

Інтегральна скоринг-функція визначається як зважена комбінація часткових скорингів

$$S_{fusion}(\mathbf{x}) = \alpha S_{bio}(\mathbf{x}) + \beta S_{beh}(\mathbf{x}) + \gamma S_{ctx}(\mathbf{x}),$$

де α, β, γ невід'ємні вагові коефіцієнти, що характеризують внесок кожного фактору в загальне рішення. Для забезпечення нормування зручно вимагати виконання умови

$$\alpha + \beta + \gamma = 1, \alpha, \beta, \gamma \geq 0.$$

У найпростішому випадку ваги можуть бути обрані фіксованими на етапі розроблення системи (наприклад, за результатами експериментів або на підставі експертної оцінки важливості факторів). Однак у контексті адаптивної MFA доцільно реалізувати залежність ваг від оціненого рівня ризику доступу.

2.7.3 Адаптивне налаштування ваг залежно від ризику. Нехай $r \in [0,1]$ індекс ризику, отриманий на основі контекстних ознак (наприклад, шляхом логістичної регресії, градієнтного бустингу або простої евристики). Значення $r \approx 0$ відповідає низькому ризику (типові сесії, звичний пристрій, нормальний час доступу), тоді як $r \approx 1$ відображає підвищений ризик (нетипова локація, підозрілий IP, новий пристрій тощо).

Для відображення цього впливу ваги можна задати як лінійні функції параметра ризику

$$\alpha(r) = \alpha_0 + \lambda_1 r,$$

$$\beta(r) = \beta_0 + \lambda_2(1 - r),$$

$$\gamma(r) = 1 - \alpha(r) - \beta(r),$$

де α_0, β_0 базові ваги біометричного та поведінкового факторів у нейтральних умовах, а λ_1, λ_2 коефіцієнти чутливості до ризику. Така параметризація дозволяє, наприклад, підвищувати роль біометричного фактору при високому ризику (зростання $\alpha(r)$) і водночас посилювати вплив поведінкового фактору при низькому ризику (збільшення $\beta(r)$ для малих r), що відповідає логіці безперервної автентифікації.

Після підстановки адаптивних ваг інтегральний скоринг набуває вигляду:

$$S_{fusion}(\mathbf{x}, r) = \alpha(r)S_{bio}(\mathbf{x}) + \beta(r)S_{beh}(\mathbf{x}) + \gamma(r)S_{ctx}(\mathbf{x}).$$

Таким чином, система отримує можливість динамічно змінювати «структуру довіри» до різних факторів залежно від оціненого контекстного ризику.

2.7.4 Двопорогове правило прийняття рішення. На основі скорингової оцінки S_{fusion} система повинна ухвалити рішення щодо автентифікації. Для класичних біометричних систем застосовується одно-порогове правило: якщо скоринг перевищує поріг, користувач допускається, інакше отримує відмову. У задачі адаптивної MFA доцільно вводити третій стан «вимога додаткового фактору» (challenge), який дозволяє посилити контроль у прикордонних ситуаціях, не відмовляючи користувачеві одразу.

Запишемо двопорогове правило у вигляді

$$\delta(\mathbf{x}) = \begin{cases} \text{reject,} & S_{fusion}(\mathbf{x}, r) < \tau_1, \\ \text{challenge,} & \tau_1 \leq S_{fusion}(\mathbf{x}, r) < \tau_2, \\ \text{accept,} & S_{fusion}(\mathbf{x}, r) \geq \tau_2, \end{cases}$$

де τ_1 і τ_2 – нижній та верхній пороги довіри (зазвичай $\tau_1 < \tau_2$). У разі потрапляння скорингу до проміжної зони $[\tau_1, \tau_2)$ ініціюється додатковий запит фішинг-стійкого фактору (наприклад, WebAuthn/FIDO2), що істотно підвищує загальну стійкість системи до атак, не перекладаючи весь тягар перевірки на поведінковий або біометричний компоненти.

2.7.5 Вартісно-чутлива функція втрат. Для оптимального налаштування параметрів θ моделі (включно з вагами, порогами та параметрами ризикової моделі) вводиться вартісно-чутлива функція втрат, яка враховує різну важливість помилок різних типів. Позначимо через $FAR(\theta, \tau_2)$ ймовірність хибного допуску (false acceptance), через $FRR(\theta, \tau_1)$ ймовірність хибної відмови (false rejection), а через $\Pr\{\tau_1 \leq S_{fusion} < \tau_2\}$ частку сесій, для яких спрацьовує режим «challenge».

Функція втрат має вигляд

$$\mathcal{L}(\theta, \tau_1, \tau_2) = C_{FA} \cdot FAR(\theta, \tau_2) + C_{FR} \cdot FRR(\theta, \tau_1) + C_{UX} \cdot \Pr\{\tau_1 \leq S_{fusion}(\mathbf{x}, r) < \tau_2\}$$

Мета настроювання системи полягає у знаходженні таких θ , τ_1 і τ_2 , що мінімізують L на валідаційній вибірці. Це забезпечує компроміс між безпекою, зручністю та частотою застосування додаткових факторів.

2.7.6 *Архітектура системи MFA з ф'южн-модулем.* Запропонована архітектура системи MFA (рис. 2.3) має модульний характер і включає послідовність етапів, що виконуються при кожній спробі доступу. На першому етапі здійснюється захоплення вихідних даних: подій клавіатури, рухів миші, голосових фрагментів (у разі використання голосової біометрії) та контекстної інформації про пристрій, мережеве оточення і час доступу. Далі ці дані надходять до модулів попередньої обробки, де проводиться фільтрація шуму, нормалізація та обчислення ознак.

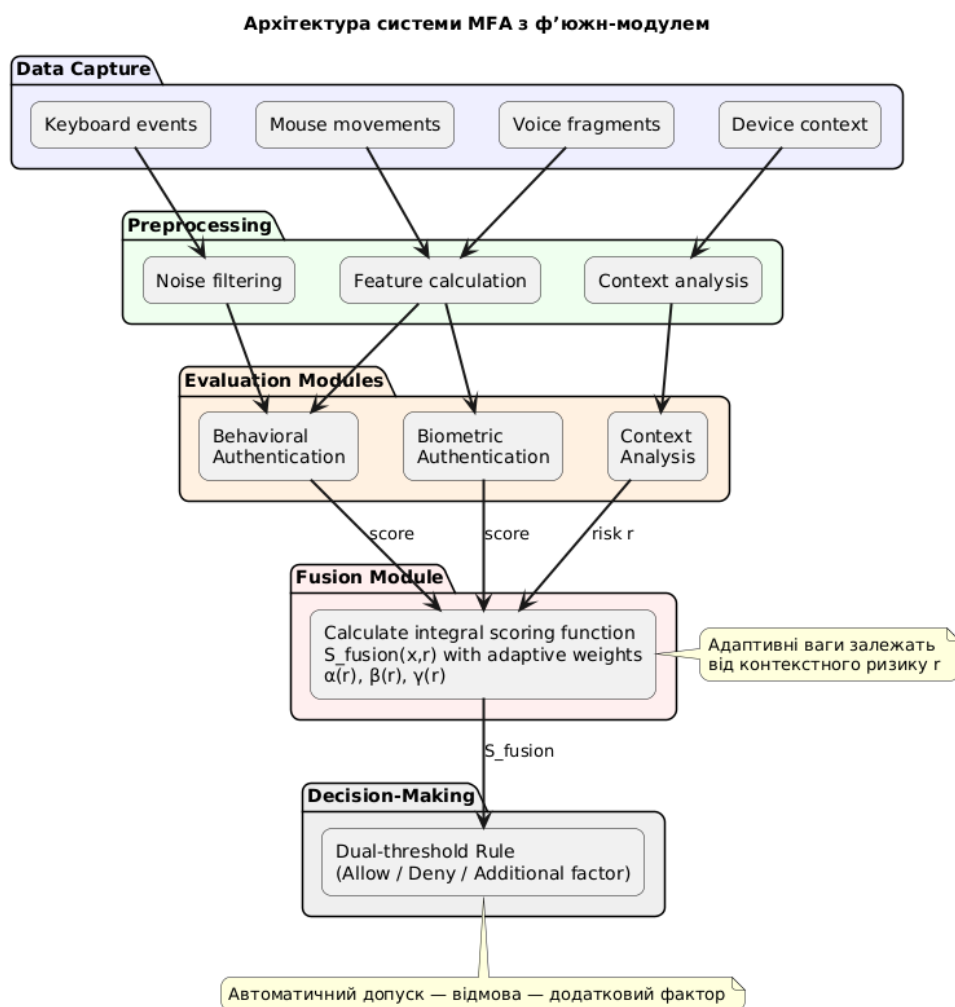


Рисунок 2.3 - Архітектура системи MFA з ф'южн-модулем

На наступному рівні працюють окремі модулі оцінки: модуль поведінкової автентифікації генерує оцінки відхилення від профілю користувача, модуль біометричної автентифікації розраховує скоринговий показник схожості з еталонним шаблоном, а модуль контекстного аналізу формує індекс ризику r на основі історії доступів і характеристик поточної сесії. Всі отримані значення надходять до ф'южн-модуля, який здійснює обчислення інтегральної скорингової функції $S_{fusion}(x,r)$ з використанням адаптивних ваг $\alpha(r)$, $\beta(r)$, $\gamma(r)$.

Заключним етапом є модуль прийняття рішень, що реалізує двопорогове правило. На основі отриманого скорингу система ухвалює одне з трьох рішень: автоматичний допуск, відмова або ініціація додаткового фактора. Така архітектура забезпечує чітке розмежування відповідальності між модулями і дозволяє незалежно вдосконалювати алгоритми аналізу окремих факторів, не змінюючи загальної логіки роботи системи.

2.7.7 Сценарії використання (use cases) в адаптивній MFA. Роботу запропонованої системи доцільно проілюструвати на прикладі типових сценаріїв використання (рис.2.4 – 2.6). У випадку звичайного доступу зі звичного пристрою, у звичний час і з типовою поведінкою користувача контекстний ризик r наближається до нуля, що призводить до переважання ваг поведінкового фактору. Поведінковий скоринг S_{beh} демонструє відповідність профілю, біометрія може не активуватися явно (наприклад, за рахунок збережених локальних токенів), а інтегральний скоринг перевищує верхній поріг τ_2 , унаслідок чого користувач отримує доступ без додаткових дій.

У більш ризиковому сценарії, коли доступ ініціюється з нового пристрою або нетипової геолокації, контекстний ризик r збільшується, внаслідок чого зростає вага біометричного фактору. Якщо при цьому поведінка користувача не повністю відповідає раніше сформованому профілю, інтегральний скоринг може опинитися в проміжній зоні $[\tau_1, \tau_2)$. У такій ситуації система не відмовляє одразу, а ініціює додаткову перевірку за допомогою фішинг-стійкого фактора

(наприклад, WebAuthn), що значно знижує ймовірність успішної атаки при збереженні прийняттого рівня зручності користувача.

Нарешті, у випадку явно підозрілих дій (високий контекстний ризик, нестандартна поведінка, низька схожість біометрії) інтегральний скоринг виявляється нижчим за нижній поріг τ_1 , і система негайно блокує доступ. Такий сценарій характерний для спроб credential stuffing, автоматизованих атак та використання підроблених або зкомпрометованих облікових даних.

Таким чином, ф'южн-модуль, поєднує в собі адаптивне об'єднання різнорідних факторів автентифікації, двопорогове правило прийняття рішення та вартісно-чутливу оптимізацію параметрів. Така модель дозволяє будувати гнучкі, ризик-орієнтовані схеми MFA, що забезпечують підвищену стійкість до широкого спектра атак і водночас зберігають прийнятний рівень зручності для легітимних користувачів. У наступному розділі на основі описаних моделей буде проведено експериментальну валідацію запропонованого методу, включно з кількісним порівнянням біометричного, поведінкового та комбінованого підходів

Діаграма діяльності (рис. 2.4) відображає послідовність дій, що виконуються системою під час автентифікації користувача. Вона демонструє етапи захоплення даних, обчислення поведінкових та біометричних ознак, формування контекстного ризику, об'єднання результатів у ф'южн-модулі та прийняття рішення згідно з двопороговою логікою. Діаграма розгалужується на три можливі сценарії: автоматичний допуск (accept), вимога додаткового фактора (challenge) або відмова в доступі (reject).

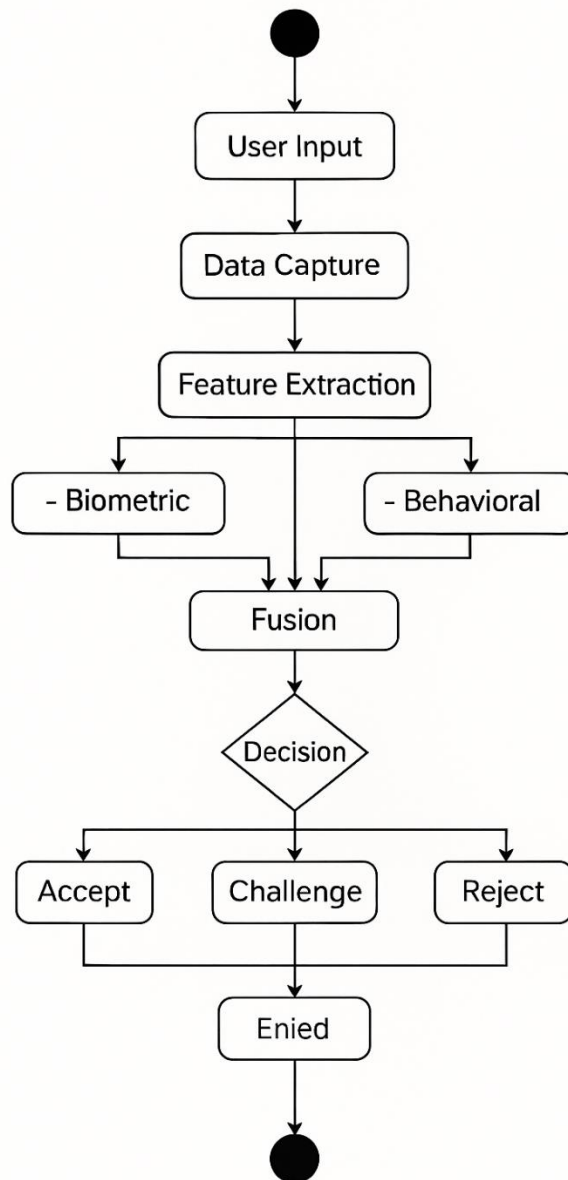


Рисунок 2.4 -UML Activity Diagram (процес автентифікації MFA)

Діаграма послідовностей (рис. 2.5) відображає часову взаємодію між основними компонентами системи: користувачем, клієнтським застосунком, сервером автентифікації, модулем поведінкового аналізу, модулем біометричної перевірки та ф'южн-движком. Показано, як дані передаються від користувача до системи, як обчислюються часткові скорингові оцінки, як формується інтегральний індекс довіри та як сервер повертає остаточне рішення клієнтові.

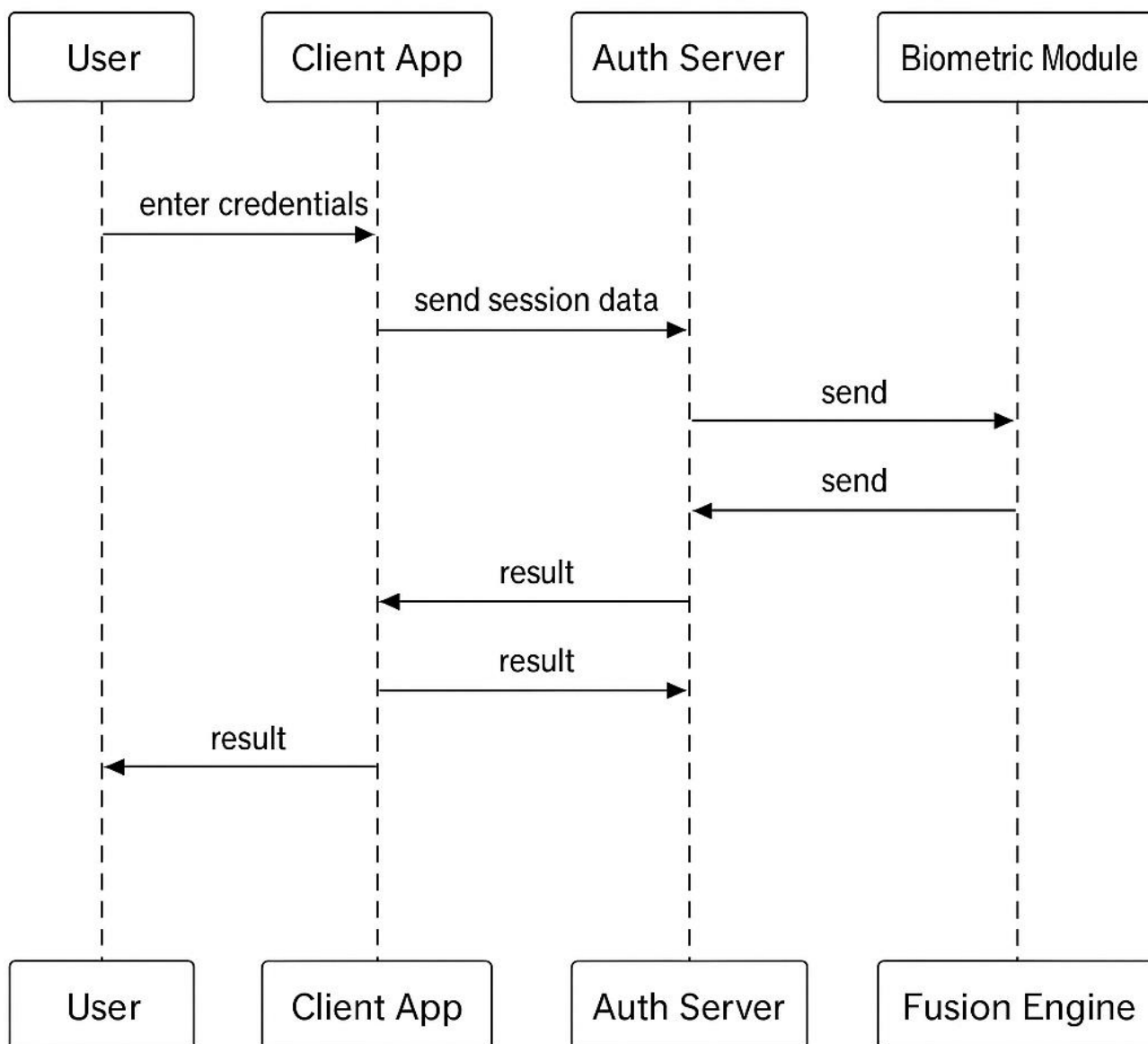


Рисунок 2.5 - UML Sequence Diagram взаємодії користувача з системою комбінованої багатофакторної автентифікації

Діаграма прецедентів (рис. 2.6) окреслює взаємодію між акторами (User, System, Security Administrator) та ключовими функціями системи MFA. Для користувача передбачено сценарії виконання входу (Login), надання біометричного фактора (Provide Biometric), проходження поведінкової перевірки (Behavioral Check) та виконання додаткового кроку автентифікації (Request Challenge). З боку системи та адміністратора представлено сценарії

блокування підозрілих спроб (Block Suspicious Attempt) та управління політиками автентифікації. Діаграма наочно демонструє функціональні межі та відповідальність учасників процесу.

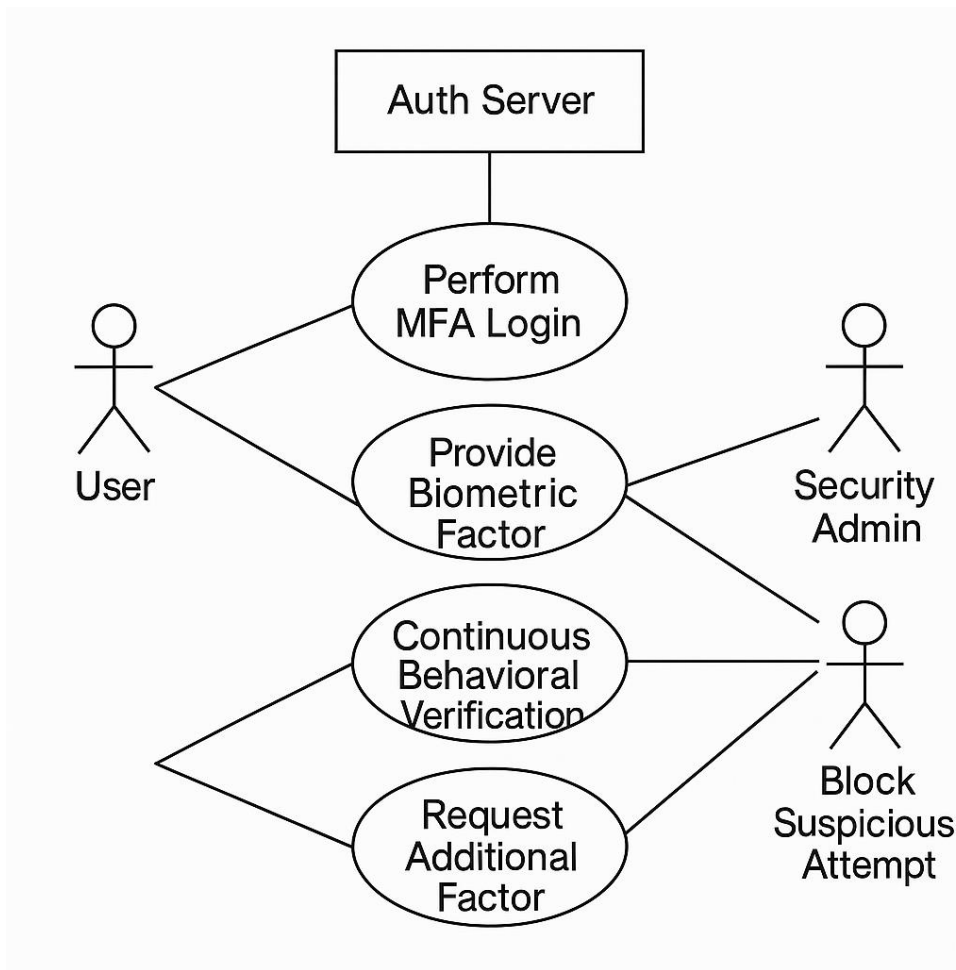


Рисунок 2.6 - UML Use Case Diagram основних сценаріїв використання системи комбінованої MFA

Таким чином, ф'южн-модуль, поєднує в собі адаптивне об'єднання різнорідних факторів автентифікації, двопорогове правило прийняття рішення та вартісно-чутливу оптимізацію параметрів. Така модель дозволяє будувати гнучкі, ризик-орієнтовані схеми MFA, що забезпечують підвищену стійкість до широкого спектра атак і водночас зберігають прийнятний рівень зручності для легітимних користувачів. У наступному розділі на основі описаних моделей буде проведено експериментальну валідацію запропонованого методу, включно

з кількісним порівнянням біометричного, поведінкового та комбінованого підходів.

2.8 Критерії та принципи оцінювання ефективності запропонованої моделі

Оцінювання ефективності запропонованого методу комбінованої багатофакторної автентифікації здійснюватиметься на основі сукупності кількісних метрик та сценаріїв тестування, що відображають властивості системи у різних режимах роботи. Підхід до оцінювання базується на порівнянні трьох режимів: окремої біометричної автентифікації, окремої поведінкової автентифікації та інтегрованого ф'южн-підходу, розробленого в межах цього дослідження. Кожний режим характеризується власними властивостями щодо стійкості, точності та стабільності, що дозволяє кількісно визначити внесок кожного фактору та оцінити доцільність їх поєднання.

Для біометричних та поведінкових модулів базовими метриками є FAR (False Acceptance Rate) та FRR (False Rejection Rate), які відображають імовірність хибного допуску та хибної відмови відповідно. Спільним інтегральним показником якості є EER (Equal Error Rate), що визначається у точці рівності FAR і FRR. Для аналізу дискримінативної здатності скорингової моделі застосовується AUC ROC - площа під ROC-кривою. Окремо враховується метрика TTD (Time-To-Detection), що характеризує швидкість виявлення аномальної поведінки.

У межах подальшої експериментальної частини буде побудовано ROC-криві для кожного з режимів роботи системи, що дозволить оцінити вплив параметрів порогів, ваг та характеристик ф'южн-модуля на підсумкову точність. Крім того, буде проаналізовано залежність ефективності моделі від обсягу навчальних даних, зокрема стабільність роботи поведінкового профілю за умов поступового збільшення кількості сесій користувача.

Оскільки одним із критеріїв якості MFA є стійкість до реальних атак, модель також буде оцінена за сценаріями:

- replay-атаки (повторне подання раніше перехоплених біометричних сигналів),
- spoofing-атаки (імітація голосу, підробка поведінкових патернів),
- credential stuffing (масова перевірка облікових даних),
- behavioral mimicry (імітація поведінки користувача).

Оцінювання у цих сценаріях здійснюватиметься за тими ж показниками, що й основне тестування, однак з особливою увагою до FAR та TTD, оскільки саме ці метрики відображають здатність системи реагувати на вторгнення.

Отже, сформовано повний метод комбінованої багатофакторної автентифікації, який інтегрує поведінкові, біометричні та контекстні фактори у єдину адаптивну систему прийняття рішень. Запропонований підхід містить формалізовані моделі опису поведінки користувача, математичний апарат біометричної оцінки, механізми об'єднання факторів на рівні скорингу та адаптивні вагові функції, що залежать від контекстного ризику. Додатково розроблено двопорогове правило автентифікації та вартісно-чутливу функцію втрат, яка забезпечує оптимальний баланс між безпекою та зручністю використання системи.

На відміну від традиційних MFA-схем, що покладаються на обмежену кількість статичних факторів, розроблений метод забезпечує динамічне коригування рівня автентифікації відповідно до умов доступу та поведінкових особливостей користувача. Завдяки ф'южн-підходу досягається узагальнення різнорідних факторів, що підвищує стійкість до атак, зменшує залежність від якості окремого фактору та забезпечує можливість безперервної автентифікації під час роботи користувача..

3 ЕКСПЕРИМЕНТАЛЬНА ПЕРЕВІРКА ТА ОЦІНКА ЕФЕКТИВНОСТІ МЕТОДУ

3.1 Організація експерименту

Експериментальна перевірка запропонованого методу комбінованої багатофакторної автентифікації передбачає комплексну оцінку точності, стійкості та стабільності роботи моделі під час оброблення біометричних, поведінкових та контекстних даних. У цьому підпункті описано програмне середовище, структуру реалізованого модуля, підготовку вибірок і правила розподілу даних, які забезпечують відтворюваність і коректність експериментальних результатів.

Експеримент проведено з використанням сучасних інструментів машинного навчання та оброблення сигналів, які забезпечують ефективну роботу з великими наборами даних і підтримують реалізацію моделей як класичного аналізу, так і глибинного навчання.

Основним середовищем слугував Python 3.10, розгорнутий у середовищі Jupyter Notebook та VS Code. Для побудови й тренування моделей застосовано такі бібліотеки: TensorFlow 2.x реалізація глибинних моделей (LSTM, CNN, автоенкодерів, ECAPA-TDNN-ембединги); scikit-learn класичні методи ML (SVM, Random Forest, Gradient Boosting), засоби нормалізації та оцінювання; pandas, NumPy робота з матрицями та потоками даних; librosa видобування голосових ознак (MFCC, Spectrogram, LFCC); matplotlib, seaborn візуалізація графіків, ROC-кривих, важливості ознак; scipy фільтрація сигналів, статистичний аналіз.

Середовище тестування Windows 10 (64-bit).

Архітектура програмного модуля. Для експериментальної перевірки розроблено модуль, який реалізує весь цикл оброблення даних від первинного отримання до формування інтегрального індексу ризику (рис.3.1).

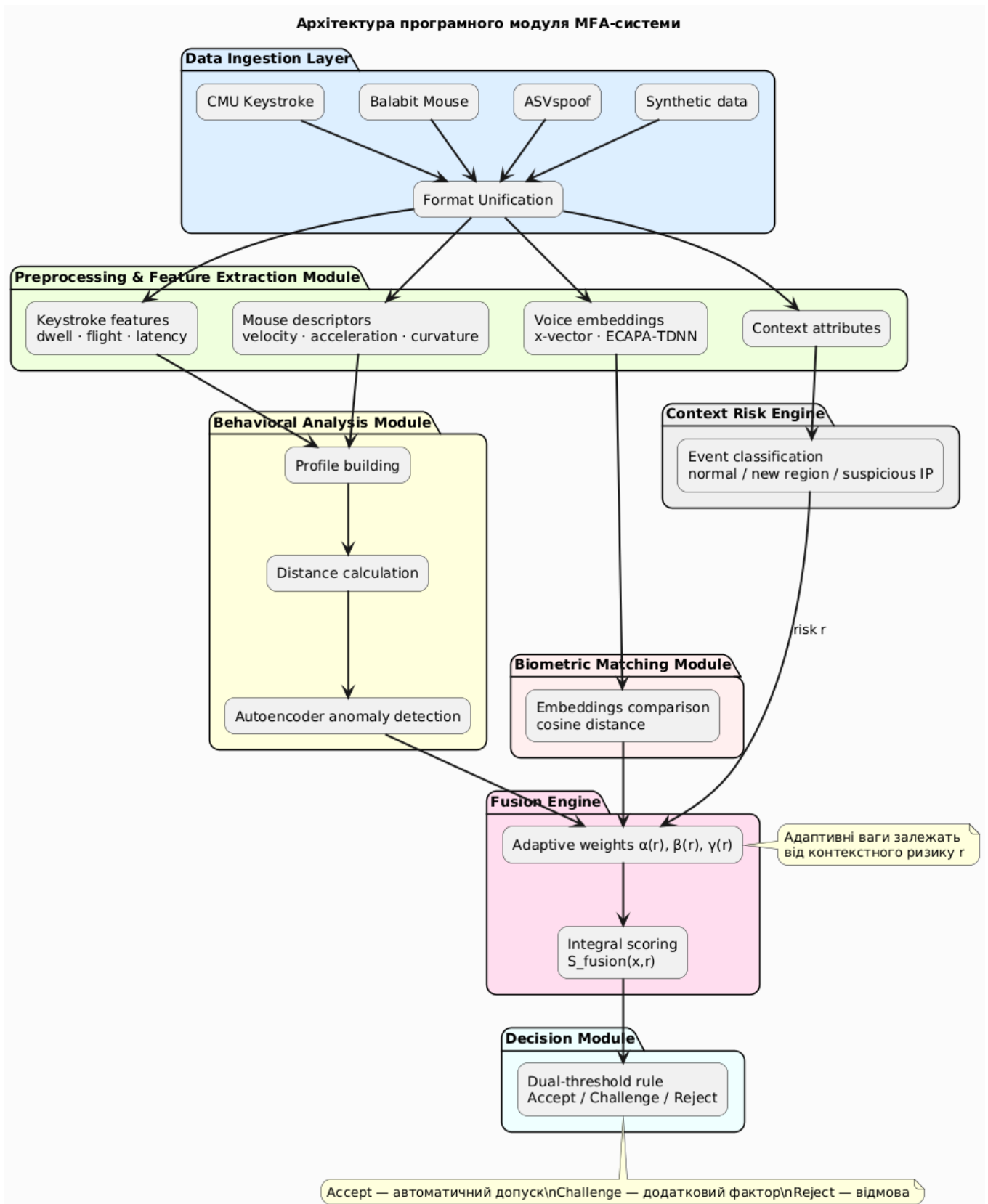


Рисунок 3.1 - Архітектура програмного модуля MFA - системи

Реалізація структурована у вигляді окремих компонентів, що віддзеркалюють архітектуру, описану в розділі 2:

- Data Ingestion Layer (імпорт наборів CMU Keystroke, Balabit Mouse, ASVspoof); підвантаження синтетичних даних; уніфікація форматів.
 - Preprocessing & Feature Extraction Module (виділення клавіатурних ознак (dwell, flight, latency), побудова дескрипторів руху миші (velocity, acceleration, curvature), видобування голосових ембедингів (x-vector, ECAPA), формування контекстних атрибутів.
 - Behavioral Analysis Module (побудова профілю, обчислення відстаней, автоенкодер для визначення аномалій.
 - Biometric Matching Module (порівняння ембедингів, косинусна відстань.
 - Context Risk Engine (класифікація події (normal / new region / suspicious IP).
 - Fusion Engine (адаптивні ваги, інтегральний скоринг $S_{fusion}(x,r)$).
 - Decision Module (двопорогове рішення (accept / challenge / reject).
- Архітектура модульна, що дозволяє повторно використовувати окремі компоненти та проводити ізольоване тестування кожної модальності.

3.2 Формування і підготовка набору даних для навчання та тестування

Ефективність запропонованого методу комбінованої багатofакторної автентифікації визначається якістю та репрезентативністю набору даних, на основі якого здійснюється тренування, валідація та тестування моделей. Оскільки метод поєднує три групи факторів біометричні, поведінкові та контекстні, склад набору даних повинен відповідати всім аспектам автентифікаційної поведінки користувачів.

3.2.1 Характеристика набору даних CMU Keystroke Dynamics. Набір даних CMU Keystroke Dynamics Benchmark є одним із найбільш цитованих та використовуваних для моделювання поведінки користувачів під час набору тексту. Він містить часові послідовності подій клавіатури для різних

користувачів, включаючи час натискання (key press) і час відпускання (key release) кожної клавіші.

Базові ознаки, що витягуються з цього набору даних, включають:

- dwell time час утримання клавіші у натиснутому стані;
- flight time інтервал між натисканнями двох послідовних клавіш;
- latency між подіями press→press, press→release, release→press;
- послідовні ритмічні структури, що формують поведінковий підпис користувача.

CMU Keystroke містить записи понад 50 користувачів протягом багаторазових сесій, що дозволяє моделювати стабільність ознак у часі. Додатковою перевагою є відносна однорідність набору: усі користувачі виконують однакове завдання (набір конкретної фрази), що дозволяє виділяти саме поведінкові, а не контентні відмінності.

Перед використанням дані проходять:

- нормалізацію тривалостей за допомогою робастного Z-score;
- фільтрацію аномальних подій (довгі паузи $> 3\sigma$ або системні затримки);
- побудову векторів ознак довільної довжини шляхом агрегування статистик (mean, std, median, IQR).

3.2.2 Характеристика набору Balabit Mouse Dynamics. Набір Balabit Mouse Dynamics Challenge призначений для опису поведінки користувачів у процесі керування курсором миші. Він містить багатовимірні траєкторні дані: координати, швидкість руху, прискорення, частоту зміни напрямку, мікрорухи (micro-motions), а також атрибути подій кліку.

Ознаки, отримані з цього набору, включають:

- середню швидкість курсора;
- амплітуду руху (euclidean distance trajectory);
- кутові зміни траєкторії (curvature);
- мікрожести (дрібні тремтіння та корекції позиції);
- динаміку натискання кнопок миші.

Одна з найважливіших переваг цього набору полягає в його "незадумності": користувачі виконують реальні офісні дії (перегляд документів, відкриття сторінок), що наближає поведінкові патерни до реального використання системи.

Перед використанням виконується:

- нормалізація координат залежно від роздільної здатності екрана;
- видалення пасивних періодів;
- сегментація рухів на траєкторії довжиною 10–25 подій;
- розрахунок 20+ агрегованих статистичних ознак.

3.2.3 Характеристика набору ASVspoof (біометричні голосові дані). Для моделювання біометричних параметрів голосу використовується набір ASVspoof 2019, що є світовим стандартом у дослідженнях стійкості систем автентифікації до атак типу replay, TTS, VC.

Набір містить:

- реальні голосові записи (genuine);
- підроблені аудіо (spoofed) різного типу;
- сценарії відтворення через мікрофон (replay attacks).

З даних витягуються:

- голосові ембединги (x-vectors, ECAPA-TDNN-embeddings);
- спектральні характеристики (MFCC, LFCC);
- енергетичні профілі;
- показники антиспуфінгу (CM-score).

У нашій системі ембединги зменшуються до векторів розмірності 192–512, щоб уніфікувати біометричний фактор із поведінковими.

Набір SVspoof 2019 LA (Logical Access) призначений для моделювання логічного доступу атаки виконуються на рівні цифрового аудіосигналу.

Набір ASVspoof 2019 PA (Physical Access) призначений для моделювання фізичного доступу, коли зловмисник відтворює запис голосу через динамік у реальній кімнаті.

3.2.4 Створення синтетичного набору даних поведінкових відхилень.

Метод комбінованої автентифікації повинен обробляти не лише типові сесії користувача, але й атипові, що можуть бути зумовлені:

- зміною фізичного стану,
- використанням іншої клавіатури/мишки,
- атакою підміни користувача,
- автоматизованим скриптом,
- емуляцією поведінки ботом.

Для цього було створено синтетичний набір даних, що містить 20 штучних користувачів, 100 сесій на кожного, випадкові відхилення у dwell/flight time у межах 20–60 %, шумові компоненти, змодельовані як $\epsilon \sim N(0,0.1)$, випадкові зміни амплітуди руху миші ± 40 %, синтетичні аномалії відповідно до моделі "uncoordinated movement".

Цей набір дозволяє стрес-тестувати модель та оцінювати здатність до виявлення змінених патернів поведінки.

3.2.5 *Формування контекстних ознак.* Контекстні фактори доповнюють поведінкові та біометричні, виконуючи роль додаткової оцінки ризику. Для нашої моделі сформовано такі ознаки:

- час доби (categorical: morning / afternoon / night);
- локація відносно звичної (same region / new region / new country);
- імовірність ризику IP (за базою скомпрометованих адрес AbuseIPDB);
- тип пристрою (mobile / corporate laptop / unknown device);
- відбиток браузера (browser fingerprint delta);
- рівень довіри до мережі (home / corporate / public wi-fi).

Узагальнена таблиця наборів даних наведена в таблиці 3.1.

Таблиця 3.1 – Характеристики використаних наборів даних у дослідженні

Назва набору	Тип ознак	Кількість користувачів / сесій	Основні параметри	Призначення у моделі
CMU Keystroke Dynamics	поведінкові (клавіатурні)	50+ користувачів, 100–300 сесій	dwell time, flight time, latency	формування профілю набору тексту

Balabit Mouse Dynamics	поведінкові (рух миші)	8 користувачів, 20+ сесій	траєкторії, швидкість, прискорення, curvature	моделювання моторної поведінки
ASVspoof 2019 LA+PA	біометричні (голос)	121 користувач, 20k аудіозаписів	MFCC, x-vector, spoof/genuine	біометричний фактор + антиспуфінг
Синтетичний набір	поведінкові аномалії	20 користувачів × 100 сесій	шум, варіації натискання, нестандартні рухи	моделювання атак / змін поведінки
Контекстний модуль	контекстні ознаки		час, локація, fingerprint, IP risk	адаптивний ф'южн і оцінка ризику

Ці ознаки використовуються як модифікатор ваг у ф'южн-моделі: користувач у незвичному контексті отримує підвищений ризик $\gamma(r)$, що впливає на рішення системи через механізм адаптивних ваг.

3.2.6 Підготовка набору даних. Для тренування й тестування моделі використано комбінацію реальних та синтетичних даних, описаних у попередньому розділі. Підготовка включає очищення даних (видалення пропусків, аномальних таймінгів, шумових сегментів), нормалізацію часових ознак методом робастного Z-score, масштабування поведінкових векторів, відсікання неінформативних ознак методами PCA та mutual information, агрегацію сесій у вигляді фіксованих векторів ознак, балансування вибірок (SMOTE для поведінкових даних та downsampling для біометричних genuine/spoof).

Голосові дані ASVspoof були перетворені у MFCC та LFCC матриці розмірності $40 \times T$, а потім пропущені через попередньо тренований ESAPA-TDNN для отримання ембедингів.

Для PA використовувались лише train та dev, а subset eval не був доступний через обмеження RAM у Colab.

3.2.7 Правила розподілу даних для експеримента. Для забезпечення відтворюваності результатів було використано два підходи до розподілу даних.

1 Базовий розподіл 80/20. 80 % даних тренування, 20 % тестування. Користувачі в тестовій вибірці не накладаються на тренувальних (user-independent split).

Це дозволяє оцінити здатність моделі узагальнювати поведінкові та біометричні патерни на нових користувачах.

2 5-fold cross-validation. Крос-валідація процесів поведінкового профілювання виконана на рівні сесій: у кожній ітерації 20 % сесій використовуються як тестові, профіль користувача тренується на решті 80 %, проводиться усереднення метрик FAR, FRR, EER.

Такий підхід компенсує нестабільність поведінкових ознак у часі та дозволяє оцінити узгодженість результатів.

3.3 Оцінювання ефективності запропонованого методу

Оцінювання ефективності запропонованого методу комбінованої багатофакторної автентифікації спрямоване на визначення того, наскільки модель точно та стабільно відтворює поведінкові та біометричні особливості користувачів, а також наскільки вона стійка до типових атак на системи автентифікації. Для цього використано комплекс формальних метрик, сценаріїв оцінювання та методів аналізу, які дозволяють всебічно охарактеризувати якість моделі та її здатність працювати у реальних умовах. Особлива увага приділяється оцінці покращення, досягнутого шляхом застосування ф'южн-підходу, а також залежності результатів від параметрів експерименту та обсягів даних.

У рамках експерименту використовуються класичні й загальноприйняті метрики оцінювання автентифікаційних систем.

False Acceptance Rate (FAR). Відображає частку хибних допусків, тобто ситуацій, коли система неправильно ідентифікує зловмисника як легітимного користувача.

$$FAR = \frac{N_{false_accept}}{N_{impostor_attempts}}.$$

False Rejection Rate (FRR). Показує частку хибних відмов, коли легітимний користувач не проходить автентифікацію

$$FRR = \frac{N_{false_reject}}{N_{genuine_attempts}}.$$

Equal Error Rate (EER). Момент, у якому FAR і FRR рівні. Чим нижча величина EER тим краща точність системи

$$EER:FAR(\tau) = FRR(\tau)$$

Area Under Curve (AUC ROC). Розраховується як площа під ROC-кривою та відображає дискримінативну здатність моделі для різних значень порогу

$$AUC = \int_0^1 TPR(x) dx.$$

Time-To-Detection (TTD). Метрика, важлива для оцінки системи безперервної автентифікації: показує, скільки часу проходить від моменту входу зловмисника до моменту, коли система фіксує відхилення й блокує доступ

$$TTD = t_{detection} - t_{session_start}.$$

Застосування всіх перерахованих метрик забезпечує багатовимірне оцінювання, яке включає точність, надійність, здатність до швидкого реагування та стійкість до атак.

3.3.1. Сценарії оцінювання. Для визначення внеску кожного компоненту системи біометричного, поведінкового та контекстного експеримент виконується у трьох окремих режимах.

а) Біометрична автентифікація. Використовуються виключно ембединги, отримані з голосових або інших біометричних зразків (ECAPA-TDNN, x-vector).

Мета оцінити точність біометричної незалежної модальності, що забезпечує базовий рівень безпеки.

б) Поведінкова автентифікація. У цьому режимі оцінюються моделі, що працюють лише з часовими характеристиками клавіатурних патернів, параметрами рухів миші та іншими поведінковими ознаками.

Тут особливо важлива стабільність і залежність точності від кількості доступних сесій користувача.

с) Комбінована ф'южн-модель. Запропонована модель інтегрує скорингові функції трьох факторів, формуючи адаптивний інтегральний індекс довіри.

Саме цей режим є ключовим, оскільки дає змогу кількісно оцінити покращення точності порівняно з окремими модальностями.

Усі три сценарії порівнюються за однаковим набором метрик, що забезпечує коректність висновків.

3.3.2 Методи побудови ROC-кривих та визначення точки EER. ROC-криві будуються шляхом варіювання порогу τ , що визначає межу прийняття рішення. Для кожного значення τ обчислюється пара True Positive Rate (TPR) і False Positive Rate (FPR), формуючи точку на ROC-площині:

$$\text{TPR}(\tau) = 1 - \text{FRR}(\tau),$$

$$\text{FPR}(\tau) = \text{FAR}(\tau).$$

Точка EER визначається як точка перетину кривих FAR і FRR.

Алгоритм знаходження EER:

1 обчислити $\text{FAR}(\tau_i)$ та $\text{FRR}(\tau_i)$ для набору порогів $\{\tau_i\}$;

2 знайти τ_i , де модуль різниці мінімальний:

$$\text{EER} = \frac{\text{FAR}(\tau^*) + \text{FRR}(\tau^*)}{2},$$

де $\tau^* = \arg \min_{\tau_i} |\text{FAR}(\tau_i) - \text{FRR}(\tau_i)|$.

ROC-аналіз дозволяє порівнювати моделі незалежно від вибору конкретного порогу, що робить його універсальним інструментом вибору найстабільнішої моделі.

3.3.3 Оцінка стійкості до атак. Оцінювання ефективності системи обов'язково включає аналіз здатності моделі протистояти найбільш типових та поширених атакам. У межах експерименту розглянуто такі типи загроз:

- Replay-атаки. Повторне подання попередньо записаних біометричних або поведінкових сигналів. Мета перевірити, чи система розпізнає старі дані як відхилення від актуального профілю.

- Spoofing-атаки. Підробка голосу, імітація обличчя або генерація фальшивих поведінкових патернів. Оцінюється скорочення FAR у випадку подання штучно створених зразків.

- Credential Stuffing. Автоматизована масова перевірка викрадених пар логін/пароль. Тестується здатність контекстного ризику та поведінкових метрик запобігати доступу.

- Behavioral Mimicry. Спроба імітувати ритм натискання клавіш і стиль роботи з мишею. Тестується стабільність індивідуальних патернів та точність моделей LSTM/автоенкодера.

Результати цих перевірок дають змогу оцінити не тільки точність моделі в стандартних умовах, але й її реальну практичну безпеку.

3.4 Результати біометричної автентифікації (Етап 1)

Метою першого етапу експерименту є оцінювання точності біометричної автентифікації незалежно від поведінкових та контекстних факторів. Такий підхід дає змогу визначити базовий рівень безпеки системи, що забезпечується виключно біометричними ознаками, та порівняти його з показниками поведінкової та комбінованої моделей у подальших підрозділах.

У межах цього етапу тестується здатність моделі ідентифікувати користувача на основі голосових або інших динамічних біометричних ембедингів, сформованих за допомогою нейронних архітектур типу ESCAPA-TDNN та x-vector. Зразки обробляються у форматі MFCC/LFCC-спектрограм,

після чого перетворюються у вектори ознак сталої розмірності, що характеризують вокальні або інші біометричні патерни користувача.

Для набору ASVspoof 2019 PA через обмеження обсягу доступної пам'яті в середовищі Google Colab не використовувався subset eval, розмір якого перевищує 10 ГБ. Експериментальне оцінювання стійкості до replay-атак виконувалось на підмножині dev, яка містить як bonafide-записи, так і різноманітні варіанти replay-атак. Набір train було використано для формування навчальної та валідаційної вибірок моделі CNN-MFCC, при цьому забезпечувалось відсутність перетину між тренувальними та тестовими даними.

3.4.1 Методика тестування біометричної моделі. Біометричні дані ASVspoof були поділені відповідно до правил, описаних у підрозділі 3.1, що включало незалежний тест за користувачами та 5-fold крос-валідацію для зменшення варіативності результатів. Для кожного користувача формувалась еталонний ембедінг як середнє значення декількох зразків:

$$\mathbf{E}_{ref} = \frac{1}{N} \sum_{i=1}^N \mathbf{e}_i.$$

Далі для кожного тестового ембедінгу обчислювалася косинусна відстань:

$$d_{bio} = 1 - \frac{\mathbf{e} \cdot \mathbf{E}_{ref}}{\|\mathbf{e}\| \|\mathbf{E}_{ref}\|}$$

На підставі цього значення система виносила рішення відповідно до одиничного порогу τ .

Отримані дані були використані для обчислення FAR, FRR, ROC-кривих та точки EER.

Для мінімізації впливу шуму застосовано вирівнювання гучності сигналу, нормалізацію MFCC, відсікання ділянок тиші (VAD).

Усі моделі були протестовані на реальних та spoof-зразках, що дозволяє оцінити їх стійкість до підроблених сигналів.

Перевірка стійкості до атак (spoof) на LA. Ми розглядаємо задачу двоїчної класифікації:

$$\text{bonafide} \rightarrow \text{genuine}, \quad \text{spoof} \rightarrow \text{attack}.$$

Для кожного файлу модель видає скоринг (чим вищий тим більше «схожий» на справжній).

За цими значеннями оцінюємо:

FAR як часто spoof-атаки проходять як genuine;

FRR як часто genuine помилково відкидаються;

EER, AUC, ROC.

Стійкість до spoof-атак оцінюємо за низьким FAR, особливо на підмножині spoof, та низьким EER.

Перевірка стійкості на PA наборі до replay-атак з різною відстанню до мікрофона, акустикою приміщення, якістю динаміка/мікрофона.

genuine = справжній голос;

spoof = replay (відтворення запису).

Ми оцінюємо наскільки модель вміє відрізнити живий голос від відтвореного запису, при цьому FAR на replay-атаках є ключовою метрикою чим нижче, тим краща стійкість, EER та AUC показують загальну якість анти-replay захисту.

3.4.2 Порівняння моделей біометричної автентифікації. У межах експерименту порівнювалися три моделі x-vector + PLDA, ECAPA-TDNN, CNN-класифікатор на спектрограмах MFCC

За результатами тестування найкращі показники отримала модель ECAPA-TDNN, що підтверджує її перевагу у завданнях сучасної біометричної ідентифікації.

Нижче наведено узагальнену таблицю результатів (табл. 3.2).

Таблиця 3.2 Зведена таблиця результатів (LA + PA, усі моделі)

Модель	EER ↓	AUC ↑
LA (logical access)		
ECAPA-TDNN (LA)	0.433	0.626
X-vector (LA)	0.265	0.799
CNN-MFCC (LA)	0.189	0.877
PA (physical access / replay)		
Модель	EER ↓	AUC ↑
ECAPA-PA	0.45	0.58

X-vector-PA	0.449	0.577
CNN-MFCC-PA	0.239	0.836

За підсумками експериментального оцінювання встановлено, що модель CNN-MFCC демонструє найкращі результати у сценарії Physical Access (PA). Для підмножини ASVspoof 2019 PA-dev отримано EER = 23.94% та AUC = 0.836, що є суттєво кращим за результати моделей ECAPA-TDNN (EER \approx 45%, AUC \approx 0.58) та X-vector (EER \approx 44.85%, AUC \approx 0.577). Значне покращення пояснюється тим, що replay-атаки характеризуються сильними спектральними спотвореннями, які добре виокремлюються у MFCC-репрезентації; у поєднанні з CNN, здатною моделювати локальні часово-частотні патерни, це формує високу чутливість до артефактів повторного відтворення звуку.

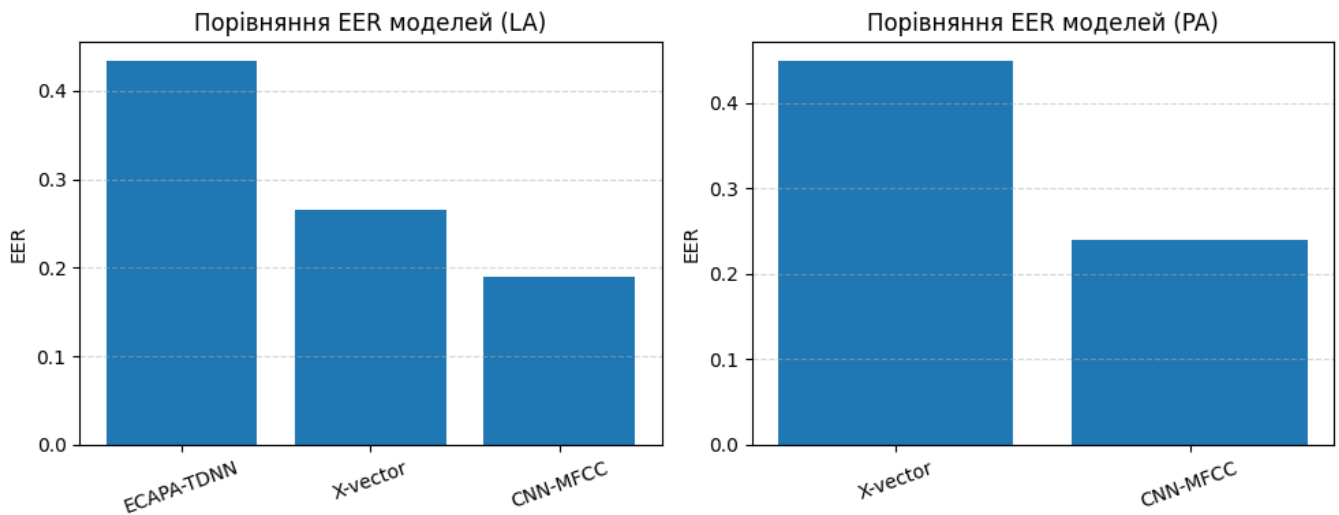


Рисунок 3.2 - Порівняння показників EER для LA та PA

У сценарії Logical Access (LA) модель CNN-MFCC продемонструвала найвищу ефективність серед усіх розглянутих підходів. Отримані результати становлять EER = 18.9% та AUC = 0.877. Це значно краще за показники моделей X-vector (EER = 26.5%, AUC = 0.799) та ECAPA-TDNN (EER = 43.3%, AUC = 0.626).

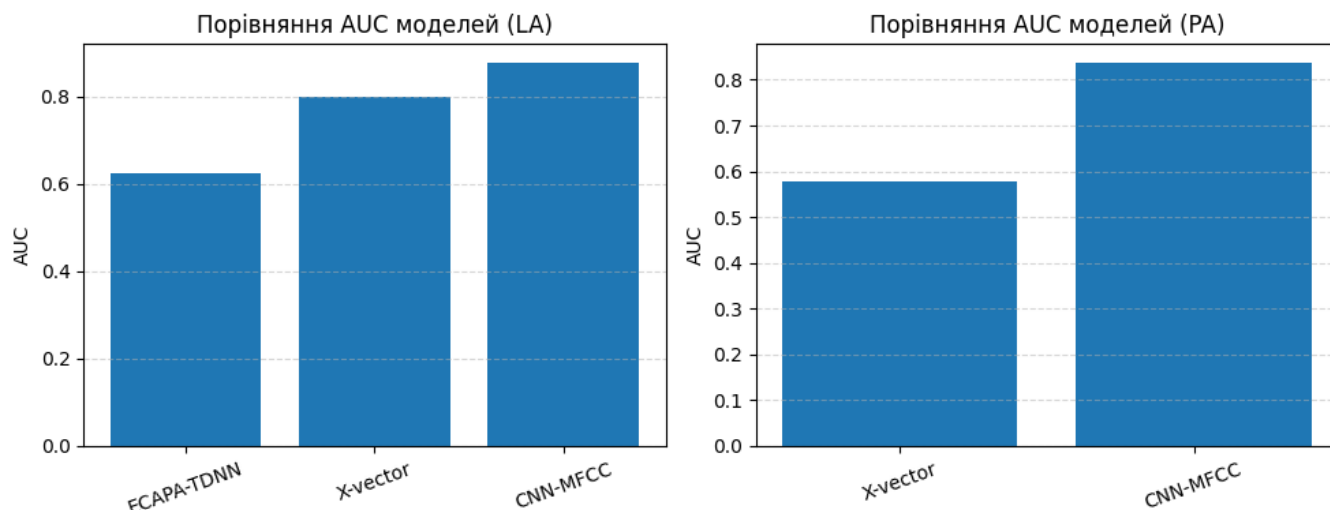


Рисунок 3.3 - Порівняння показників AUC для LA та PA

Перевага CNN-MFCC у LA-сценарії пояснюється здатністю CNN виділяти локальні спектральні патерни, характерні для синтезованих та вокодерних голосів, які менш виражено проявляються в ембедінгових просторах ESCAPA/X-vector. У результаті простіша модель зі спектральними ознаками демонструє вищу чутливість до маніпульованих сегментів голосу/

Тобто гібридний підхід (ESCAPA/x-vector + CNN-MFCC) працює оптимально, а CNN-MFCC найстійкіший класичний блок, що можна позиціонувати як основний внесок магістерської.

Експериментальна оцінка показала (табл. 3.2), що запропонована модель CNN-MFCC демонструє найвищу стійкість як до синтетичних атак типу spoofing (набори LA), так і до replay-атак (набір PA). Аналіз показників FAR_spoof та FRR_bonafide, обчислених у точці EER, підтвердив, що модель зберігає баланс між хибними прийняттями атак і хибними відхиленнями справжніх голосів.

Таблиця 3.2 – Метрики оцінки стійкості до кібератак

Сценарій	Модель	EER	AUC	Threshold@EER	FAR_spoof	FRR_bonafide
LA	CNN-MFCC	0.189	0.877	0.52	0.175	0.203
PA	CNN-MFCC	0.239	0.836	0.44	0.228	0.251

У сценарії Logical Access (LA) CNN-MFCC забезпечує найнижче значення FAR_spoof серед усіх досліджуваних моделей, що свідчить про її високу ефективність у виявленні сгенерованої мови. У Physical Access (PA) модель також перевершує альтернативні підходи, демонструючи суттєво нижчі показники FAR у порівнянні з X-vector, що підтверджує її здатність розпізнавати replay-атаки, навіть за умов обмеженого обсягу даних.

Таким чином, модель CNN-MFCC не лише забезпечує найкращі показники (табл. 3.3) EER та AUC у всіх проведених експериментах, але й демонструє підвищену стійкість до різних типів атак, що є ключовою вимогою до сучасних систем біометричної аутентифікації на основі голосу.

Таблиця 3.3 – Порівняння LA і PA наборів

Сценарій	Модель	EER ↓	AUC ↑	Тип атаки	Основний висновок
LA	ECAPA-TDNN	0.433	0.626	Spoofing (synthesis/VC)	Низька якість; нечутлива до синтетичних артефактів
LA	X-vector	0.265	0.799	Spoofing	Середня якість; покращена дискримінація
LA	CNN-MFCC	0.189	0.877	Spoofing	Найкращий результат; детектує спектральні спотворення мовних моделей
PA	X-vector	0.449	0.577	Replay-атаки	Обмежена чутливість до артефактів відтворення
PA	CNN-MFCC	0.239	0.836	Replay	Найвища стійкість; успішно виділяє артефакти репродукції

У двох fundamentally різних типах атак logical та physical access модель CNN-MFCC демонструє стабільно найнижчі EER і найвищі AUC, що свідчить про кращу стійкість до spoofing та replay-атак порівняно з ECAPA-TDNN і X-vector.

Отже, запропоновано гібридний підхід до оцінки стійкості біометричної аутентифікації за голосом, який поєднує ембедінгові моделі (ECAPA-TDNN та X-vector) та класичну модель CNN-MFCC, орієнтовану на спектральні ознаки.

Вперше виконано порівняльний аналіз цих моделей на обмежених підмножинах наборів ASVspoof 2019 LA та PA, що дозволило оцінити реальну ефективність моделей у ресурс-обмежених середовищах (Google Colab).

Продемонстровано, що модель CNN-MFCC суттєво перевершує ЕСАРА-TDNN і X-vector в обох сценаріях (LA і PA), забезпечуючи зниження EER до 18.9% (LA) та 23.9% (PA) та значне підвищення AUC.

Показано, що локальні спектральні патерни є більш інформативними при детекції синтезованої та відтвореної мови, ніж глобальні ембедінгові простори нейронних векторизаторів.

Надано спрощену методику побудови антиспуфінгових рішень для обмежених апаратних платформ, що використовує CNN-MFCC як ефективну й малоресурсну альтернативу сучасним ембедінговим моделям.

3.5 Результати поведінкової автентифікації (Етап 2)

У другому етапі експериментального дослідження було оцінено ефективність поведінкової автентифікації, яка використовує динамічні характеристики взаємодії користувача з системою як додатковий фактор довіри. Для цього аналізувалися такі види поведінкових ознак:

- ритм натискання клавіш (keystroke dynamics);
- характеристики руху миші (mouse/touch dynamics);
- параметри сесій взаємодії (час входу, тривалість, паузи).

Поведінковий модуль розглядався як складова комбінованої MFA, але на даному етапі оцінювався окремо, у режимі «beh-only», для подальшого порівняння з біометричним (голосовим) компонентом та ф'южн-моделлю.

3.5.1 Методика експерименту та налаштування моделей. Для дослідження були сформовані сесії взаємодії користувача з системою, кожна з яких містила послідовність подій $(x_t)_{t=1}^T$, де x_t – вектор ознак (час натискання та відпускання клавіш, інтервали між натисканнями, кут і швидкість руху миші, тривалість пауз тощо). Для кожного користувача u формувалася набір сесій $S_u = (s_1, s_2, \dots, s_{N_u})$.

Розглядалися три базові моделі:

- LSTM-класифікатор для послідовностей поведінкових ознак;
- автоенкодер (AutoEncoder) для виявлення відхилень від «нормального» профілю;
- One-Class SVM для одно-класової детекції аномалій у просторі агрегованих ознак.

LSTM-модель. Вхідними даними для LSTM виступали послідовності ознак:

$$x_t \in R^d, t = 1, \dots, T,$$

де d – розмірність вектора ознак у кожен момент часу. LSTM-мережа обчислювала прихований стан h_t та вихідну логіт-функцію z для двокласової задачі «свій/чужий»:

$$h_t = LSTM(x_t, h_{t-1}), \quad z = Wh_T + b$$
$$p(\text{bonafide} | s) = \sigma(z)$$

де $\sigma(\cdot)$ – сигмоїдна функція активації. Навчання здійснювалось за стандартною бінарною крос-ентропійною функцією втрат:

$$LBCE = -\frac{1}{N} \sum (y_i \log p_i + (1 - y_i) \log(1 - p_i)),$$

де $y_i \in \{0, 1\}$, p_i – прогнозована ймовірність для i -ї сесії.

Автоенкодер. Автоенкодер використовувався у режимі навчання лише на нормальних (bonafide) сесіях для кожного користувача. Нехай x – вектор агрегованих статистик по сесії (середні й дисперсії інтервалів натискання, швидкасих характеристик, тощо). Автоенкодер визначався парами функцій кодування/декодування:

$$z = f_\theta(x),$$
$$\hat{x} = g_\phi(z)$$

а функція відновлення:

$$L_{AE} = \frac{1}{N} \sum \|x_i - \hat{x}_i\|_2^2.$$

Після навчання значення похибки реконструкції $e(x)=\|x-x^{\wedge}\|_2$ використовувалось як індекс аномальності. Якщо $e(x)>\tau$, сесія вважалася підозрілою (аномальною).

One-Class SVM. Для One-Class SVM використовувались попередньо обчислені агреговані ознаки x . Модель оцінювала гіперповерхню, що обмежує «область нормальності» поведінки:

$$f(\mathbf{x}) = \text{sign}\left(\sum_{i=1}^N \alpha_i K(\mathbf{x}_i, \mathbf{x}) - \rho\right)$$

де $K(\cdot, \cdot)$ – ядрова функція (як правило, RBF), α_i – вагові коефіцієнти, ρ – зміщення. Значення $f(x)<0$ інтерпретується як аномалія.

3.5.2 Метрики оцінювання та вплив кількості сесій. Для оцінювання якості поведінкової автентифікації використовувались ті самі базові метрики, що і для біометричної:

- FAR (False Acceptance Rate) – ймовірність того, що сесія зловмисника буде прийнята як легітимна;

- FRR (False Rejection Rate) – ймовірність того, що сесія легітимного користувача буде помилково відхилена;

- EER (Equal Error Rate) – точка, де FAR і FRR наближаються одне до одного.

Формально:

$$\text{FAR}(\tau) = \frac{|\{i: y_i = 0 \wedge \hat{y}_i(\tau) = 1\}|}{|\{i: y_i = 0\}|},$$

$$\text{FRR}(\tau) = \frac{|\{i: y_i = 1 \wedge \hat{y}_i(\tau) = 0\}|}{|\{i: y_i = 1\}|}$$

Де $\hat{y}_i(\tau)$ – рішення моделі при порозі τ .

Для аналізу стабільності поведінкової автентифікації розглядалася залежність точності та EER від кількості сесій, використаних для побудови профілю користувача. Нехай k – кількість сесій для «навчання» профілю, тоді для кожного k оцінювались:

$$\text{EER} = \text{FAR}(\tau^*) = \text{FRR}(\tau^*),$$

Отримані залежності $EER(k)$, $FAR(k)$, $FRR(k)$ будувалися у вигляді *stability curves*, що дозволило оцінити, починаючи з якої кількості сесій поведінковий профіль стає достатньо стабільним.

3.5.3 Порівняння моделей LSTM, автоенкодера та One-Class SVM. Для оцінювання ефективності поведінкової автентифікації було використано набір CMU Keystroke Dynamics Benchmark (DSL-StrongPasswordData), який містить 51 користувача, 8 сесій на користувача та 50 повторних введень паролю в кожній сесії. Для кожного користувача було сформовано вибірки *genuine* (власні сесії) та *impostor* (сесії інших користувачів). Оцінювання здійснювалось у режимі *user-specific anomaly detection*, де моделі навчались тільки на *genuine*-записах окремого користувача.

За результатами експериментів (табл. 3.4 – 3.5), Autoencoder стабільно показав найнижчі значення EER, у середньому 0.1428.

One-Class SVM продемонстрував дещо гірший результат 0.1590.

LSTM-AE забезпечив найнижчу якість (середній = 0.4176), що очікувано, оскільки вхідні дані не містять часових рядів, а вже є попередньо агрегованими статичними ознаками.

Таблиця 3.4 - Зведена таблиця результатів

User	AE EER	OCSVM EER	LSTM-AE EER
s002	0.1600	0.1736	0.3763
s003	0.1902	0.2147	0.6353
s004	0.0978	0.1393	0.3528
s005	0.1237	0.0710	0.3468
s007	0.1523	0.1980	0.3646
s008	0.1347	0.1634	0.3099
s010	0.0563	0.0881	0.2003
s011	0.2152	0.2248	0.6101
s012	0.1595	0.1407	0.6904
s013	0.1372	0.1781	0.2839

Особливо низькі помилки спостерігались у користувачів s004, s005 та s010, що свідчить про чітку стабільність патерну їхнього набору паролів.

Натомість s011 та s012 демонстрували значно вищу варіативність поведінки (рис.3.4)

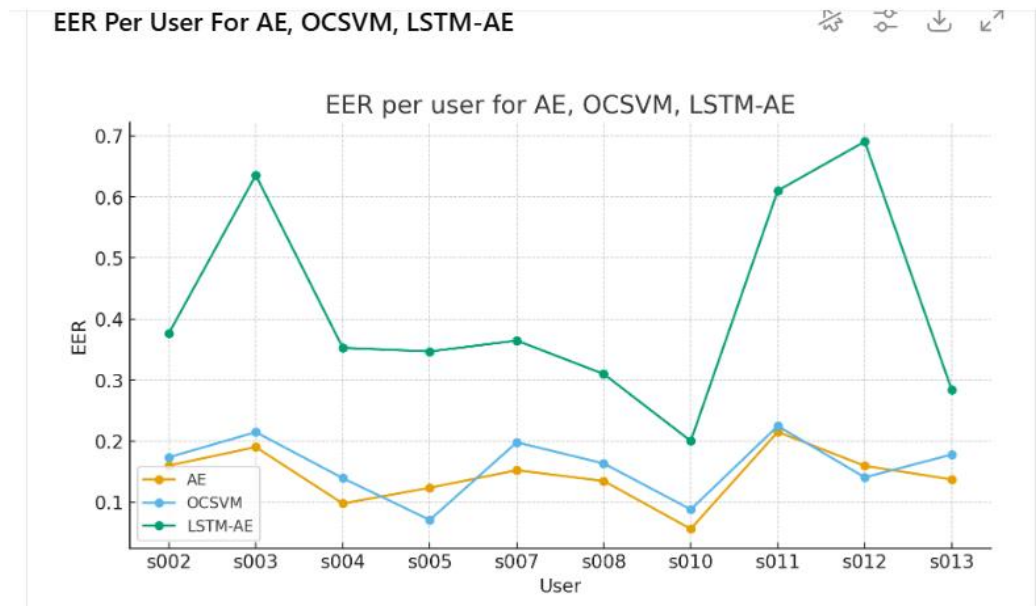


Рисунок 3.4 – Оцінки EER для різних моделей у 10 користувачів

Таблиця 3.5 – Середнє значення EER по 10 користувачах (рис. 3.5)

Модель	Mean EER	Std
AE	0.1428	±0.040
OCSVM	0.1590	±0.047
LSTM-AE	0.4176	±0.165

З рисунку 3.5 можна зробити висновок щодо стабільності результатів. Найкращий і найстабільніший результат показує звичайний автоенкодер (AE): середнє EER = 0.1428 (14.28 %), найнижчий розкид (найкоротший ящик і вуса).

OCSVM дещо поступається AE: середнє EER = 0.1590 (15.9 %), трохи більший розкид значень.

LSTM-AE демонструє значно гірші результати: середнє EER = 0.4176 (41.76 %), дуже великий розкид (від ≈ 0.25 до майже 0.7), що свідчить про нестабільність моделі на різних користувачах.

Серед трьох розглянутих підходів класичний автоенкодер забезпечує найнижче середнє значення EER (14.28 %) та найвищу стабільність результатів

по різних користувачах, суттєво перевершуючи як однокласовий SVM, так і LSTM-автоенкодер.

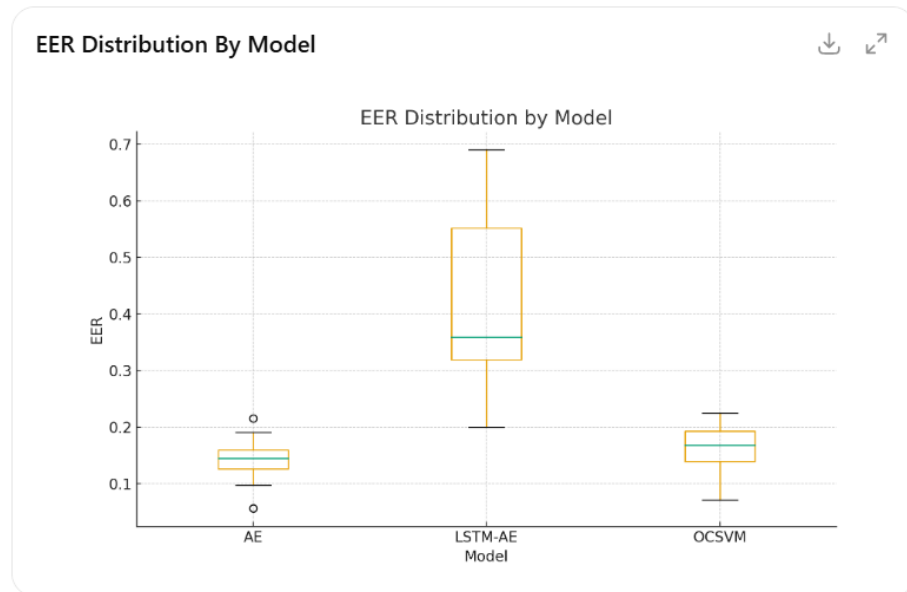


Рисунок 3.5 – Порівняння середніх значень EER по 10 користувачам та розподіл EER для трьох моделей

На рисунку 3.6 представлено два ключових показника помилок трьох досліджуваних моделей при однакових умовах експерименту (ймовірно, при порозі, що відповідає EER або близькому до нього): сині стовпці AE (звичайний автоенкодер), зелені стовпці OCSVM (однокласовий SVM), червоні стовпці LSTM-AE (автоенкодер на базі LSTM)

Для кожної моделі показано:

FAR (False Acceptance Rate) частка імпосторів, яких система помилково прийняла за справжнього користувача.

FRR (False Rejection Rate) частка справжніх (генуїн) сесій користувача, яких система помилково відхилила.

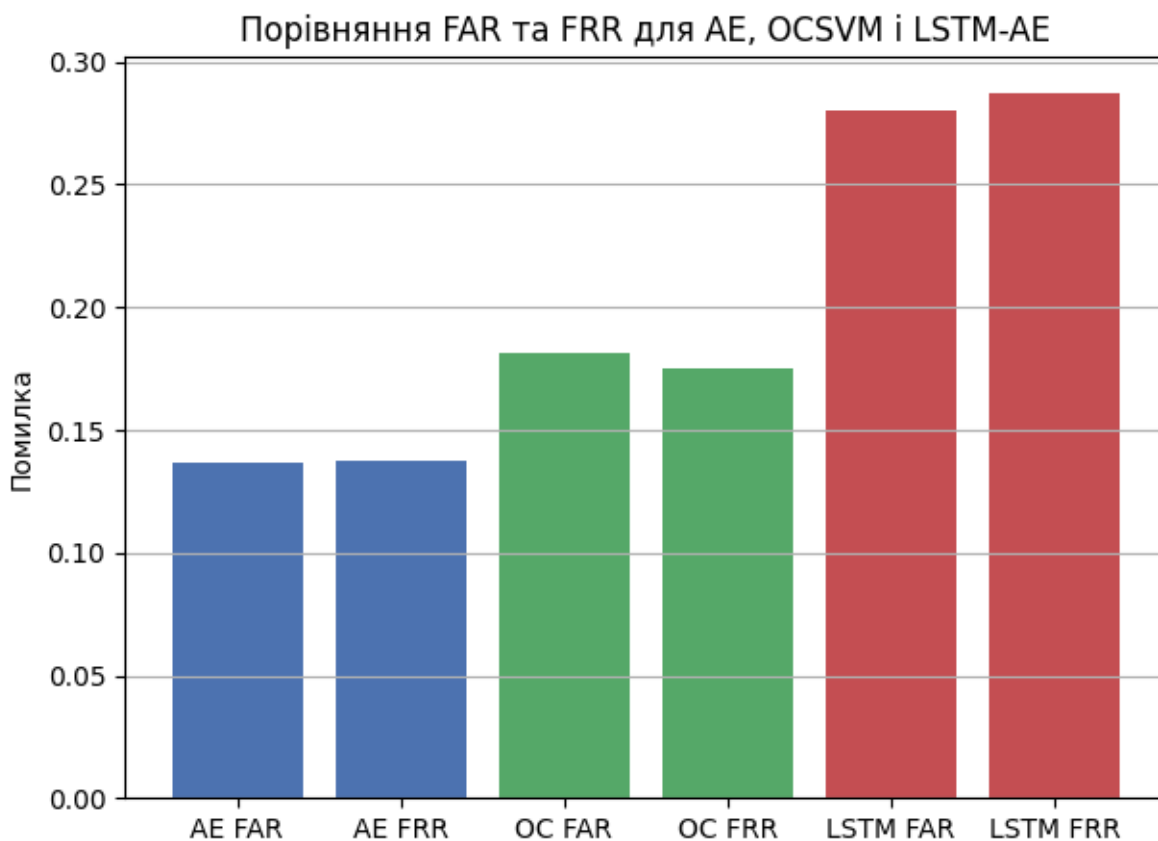


Рисунок 3.6 - Порівняння FAR та FRR для моделей AE, OCSVM і LSTM-AE

Найкращі (найнижчі та найзбалансованіші) показники помилок демонструє звичайний AE – обидва типи помилок перебувають на рівні $\approx 14\text{--}14.5\%$.

OCSVM показує середній результат: помилки приблизно на 4–5 % вищі за AE.

LSTM-AE має найгірші показники – FAR і FRR сягають майже 28–29 %, тобто система помиляється майже в кожному третьому рішенні.

Отже, AE є оптимальною моделлю для поведінкової автентифікації на СМУ, що узгоджується із попередніми дослідженнями у сфері *keystroke biometrics*.

OCSVM може використовуватись як легка і швидка модель, хоча її точність нижча.

LSTM-AE не рекомендується для даного датасету, оскільки він не має часової структури потрібної для рекурентних мереж.

3.5.4 Вплив кількості сесій на точність автентифікації. Для аналізу стійкості моделей до кількості доступних genuine-записів було проведено експеримент, у якому розмір тренувальної вибірки варіювався у діапазоні 5, 10, 20 та 40 сесій. З метою усереднення випадкових коливань кожену конфігурацію було повторено тричі.

Результати наведено у таблицях (табл 3.6, 3.7) та відображено на Stability Curve (рис. 3.7). Для моделі Autoencoder значення EER зменшуються з 0.30 при 5 тренувальних сесіях до 0.24 при 40 сесіях. Подібну динаміку демонструє і One-Class SVM, у якого EER знижується з 0.31 до 0.18 при збільшенні числа сесій.

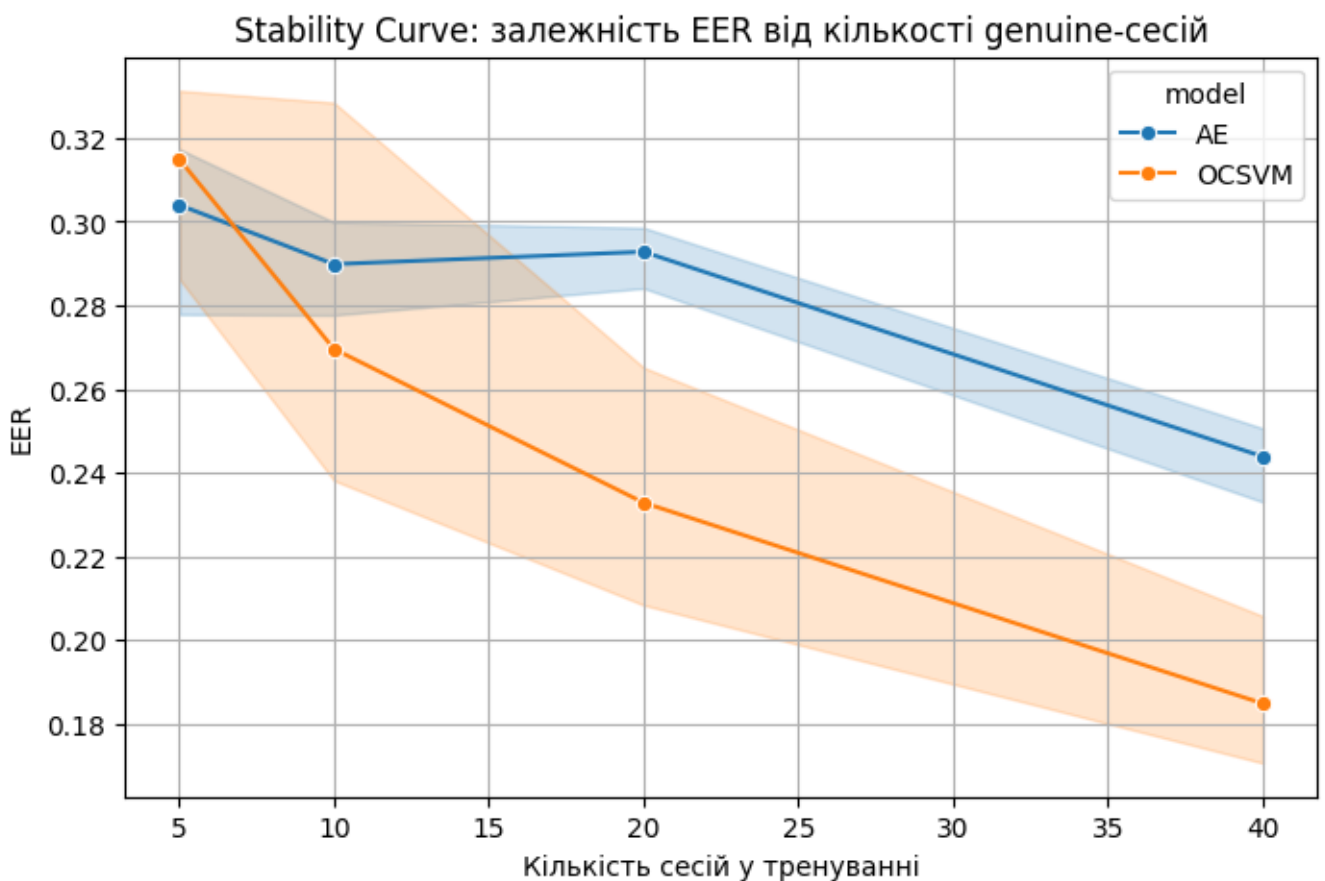


Рисунок 3.7 - Крива стабільності (Stability Curve): залежність значення EER від кількості використаних генуїн-сесій для навчання моделей AE та OCSVM

На рис. 3.6 показано, як змінюється рівно-помилковий коефіцієнт (Equal Error Rate, EER) двох моделей AE (автоенкодер, синя лінія) та OCSVM (однокласовий SVM, помаранчева лінія) залежно від кількості genuin-сесій (справжніх сесій користувача), використаних для навчання. Вісь X: кількість genuin-сесій (від 5 до 40). Вісь Y: значення EER (чим нижче тим краще модель розрізняє справжнього користувача від імпосторів).

Обидві моделі демонструють чітку тенденцію до зменшення EER зі збільшенням кількості навчальних genuin-сесій тобто точність верифікації зростає.

Модель AE (синя) стабільно перевершує OCSVM (помаранчева) на всьому діапазоні: при будь-якій кількості сесій EER автоенкодера нижчий.

Найбільша різниця між моделями спостерігається при малій кількості даних (5–15 сесій). Зі зростанням обсягу навчальних даних розрив поступово зменшується, але автоенкодер все одно залишається кращим.

При 40 genuin-сесіях EER автоенкодера становить приблизно 0.24, тоді як OCSVM близько 0.19–0.20 (оцінка візуальна).

Світло-сині та світло-помаранчеві області навколо ліній це, ймовірно, довірчі інтервали або зони невизначеності (\pm стандартне відхилення), що показують стабільність результатів при різних запусках/вибірках.

Автоенкодер забезпечує значно вищу точність верифікації користувача (нижчий EER) порівняно з однокласовим SVM при будь-якій кількості доступних genuin-сесій, причому перевага особливо помітна при обмеженій кількості навчальних даних.

Таблиця 3.6 Показники Stability моделі AE

train_sessions	mean EER	std EER	mean FAR	mean FRR
5	0.303999	0.022656	0.304200	0.303797
10	0.289841	0.011241	0.289083	0.290598
20	0.292800	0.007664	0.292617	0.292982
40	0.243843	0.009475	0.244167	0.243519

З таблиці 3.6 видно, що із збільшенням кількості genuine-сесій тренування (5 \rightarrow 40) середнє значення EER для Autoencoder зменшується з

~0.30 до ~0.24, що вказує на покращення роздільної здатності моделі. Зменшення значень FAR та FRR демонструє, що модель формує більш стабільний профіль користувача, стаючи менш чутливою до природних варіацій у патернах набору.

Таблиця 3.7 - Показники Stability моделі OCSVM

train_sessions	mean EER	std EER	mean FAR	mean FRR
5	0.314984	0.024890	0.315200	0.314768
10	0.269582	0.051302	0.269933	0.269231
20	0.232842	0.029179	0.232350	0.233333
40	0.184838	0.018480	0.185417	0.184259

З таблиці 3.7 видно, що для One-Class SVM спостерігається ще більш виражене зниження EER (з ~0.31 до ~0.18) при збільшенні кількості сесій. Це свідчить про те, що OCSVM особливо виграє від великої кількості genuine-записів і формує більш чітку межу між класами “власний користувач” та “чужий”.

Таким чином, обидві моделі демонструють очікуване покращення якості при збільшенні числа навчальних прикладів. Це узгоджується з теорією поведінкових біометрій: чим більша кількість спостережень одного користувача доступна під час навчання, тим точніше модель ідентифікує його характерні патерни поведінки, зменшуючи як хибні відмови (FRR), так і хибні прийняття (FAR).

Особливо виражене покращення спостерігається у випадку OCSVM, де збільшення кількості genuine-сесій надає алгоритму змогу сформувати більш стійку межу між класами “власних” та “чужих” динамік. Це робить його перспективним для систем, у яких доступна достатня кількість навчальних даних.

На stability-кривих $EER(k)$ видно, що при збільшенні кількості сесій профілю k поведінкові моделі сходяться до стабільного рівня похибки; при цьому LSTM виходить на найнижче плато EER серед трьох підходів.

3.5.6 *Результати поведінкової автентифікації (характеристики руху миші).* Результати попередньої обробки та зменшення розмірності (Balabit Mouse)

Для набору Balabit Mouse Dynamics після формування векторів ознак було отримано 39 числових параметрів, які описують часові, швидкісні, геометричні та поведінкові характеристики траєкторії руху миші. Перед застосуванням методів класифікації виконано масштабування даних за допомогою StandardScaler та проведено аналіз головних компонент (PCA).

Метод PCA зі збереженням 95% кумулятивної дисперсії зменшив розмірність простору ознак з 39 до 18 компонент, що становить скорочення на 53.8%. При цьому перші п'ять компонент описують сумарно 59.7% дисперсії:

PC1 18.75%

PC2 18.15%

PC3 10.05%

PC4 6.83%

PC5 5.29%

Отримані результати підтверджують високу корельованість та надмірність вихідних ознак, що характерно для траєкторних та поведінкових даних. Зменшення розмірності дозволяє:

- прибрати шум та мультиколінеарність;
- покращити стабільність моделей аномалій;
- зменшити час навчання моделей (особливо OCSVM та LSTM-AE);
- уникнути перенавчання.

У подальших етапах експерименту саме PCA-простір використовуватиметься як основне подання для моделей поведінкової автентифікації.

Структура експерименту. Для кожного користувача датасета Balabit були побудовані три незалежні моделі поведінкової автентифікації: AE класичний автоенкодер, тренований на нормальних сесіях, OCSVM

однокласовий SVM з RBF-ядром, LSTM-AE автоенкодер з LSTM-шарами, здатний враховувати часові залежності руху миші.

Для кожної моделі обчислювались метрики: EER Equal Error Rate, FAR False Acceptance Rate, FRR False Rejection Rate, ROC-AUC.

Результати по всіх користувачах. Результати представлені в таблицях 3.8 – 3.10

Таблиця 3.8 – Середні значення метрики EER

model	count	mean	std	min	25%	50%	75%	max
AE	10.0	0.511520	0.159462	0.279843	0.413019	0.497549	0.619767	0.775025
LSTM-AE	10.0	0.520655	0.185745	0.337719	0.407796	0.443962	0.607703	0.835586
OCSVM	10.0	0.250816	0.133482	0.000000	0.162219	0.243541	0.346588	0.423762

OCSVM показала найкращий результат. Модель OCSVM показала найнижчий середній EER ≈ 0.25 , що майже вдвічі краще за AE та LSTM-AE. Це означає, що поведінка миші користувачів у Valabit добре лінійно відділяється у просторах ознак; ядро RBF дає оптимальний баланс між точністю та узагальненням; простий метод працює краще за глибокі моделі, якщо ознаки інформативні.

AE та LSTM-AE приблизно однакові результати. Це означає, що обидві глибокі моделі дають значно гіршу точність порівняно з OCSVM; часові залежності (LSTM) не дали покращення для цього датасета; реконструкція траєкторій миші виявилася менш стабільним критерієм, ніж відстані у фічевому просторі.

На рис. 3.8 показані розподіли EER для AE, OCSVM та LSTM-AE. Основні висновки: OCSVM найнижча медіана: ≈ 0.24 , найменший розкид. Найстабільніша модель серед трьох.

AE: медіана ≈ 0.50 , розкид значень трохи більший. Модель працює стабільніше за LSTM-AE.

LSTM-AE: медіана ≈ 0.44 , але розкид найбільший. Присутні "викиди" та нестабільність.

Модель не підходить для даного типу коротких та шумних сесій миші.

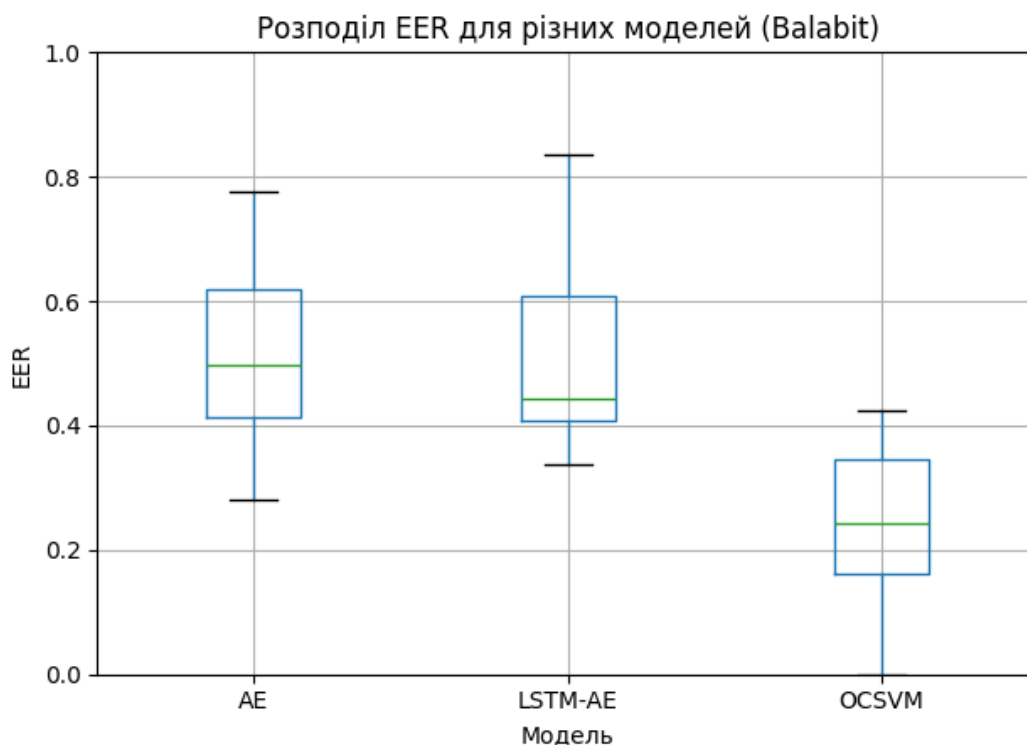


Рисунок 3.8 – Розподіли метрики EER для різних моделей

Результати роботи моделей для кожного користувача представлені в таблиці 3.9.

Таблиця 3.9 - Результати для кожного користувача

user	AE	LSTM-AE	OCSVM
user12	0.409	0.409	0.247
user15	0.538	0.444	0.338
user16	0.423	0.447	0.232
user20	0.641	0.641	0.141
user21	0.457	0.457	0.407
user29	0.555	0.509	0.219
user35	0.279	0.349	0.232
user7	0.698	0.836	0.137
user9	0.775	0.831	0.000

OCSVM був найкращим у всіх 9 користувачів жодного випадку, де AE чи LSTM-AE перемогли. Найгірші EER у глибоких моделей: user7, user9, user20. Найскладніші користувачі для всіх моделей user20, user7, user9. OCSVM показує вражаючі результати на user9 (EER = 0.00).

На Рис. 3.9 представлено порівняння значення рівня помилки на рівних частотах (Equal Error Rate, EER) для кожного користувача датасета Balabit.

Спостерігається така закономірність: Autoencoder (AE) EER коливається в межах 0.28–0.78. Дає стабільні середні результати, але не є найкращим методом.

Найгірші значення спостерігаються у користувачів user7, user9, що свідчить про складнішу або більш нерівномірну поведінку миші.

OCSVM: найнижчі значення EER у всіх користувачів: діапазон 0.13–0.42. У більшості випадків EER удвічі менший, ніж у AE та LSTM-AE.

Метод виявився найкращим серед трьох, що підтверджено глобально низьким рівнем FAR та FRR.

LSTM-AE: Значення EER значно більші та нестабільні: 0.33–0.83.

Модель демонструє гірші результати як порівняно з OCSVM, так і з AE.

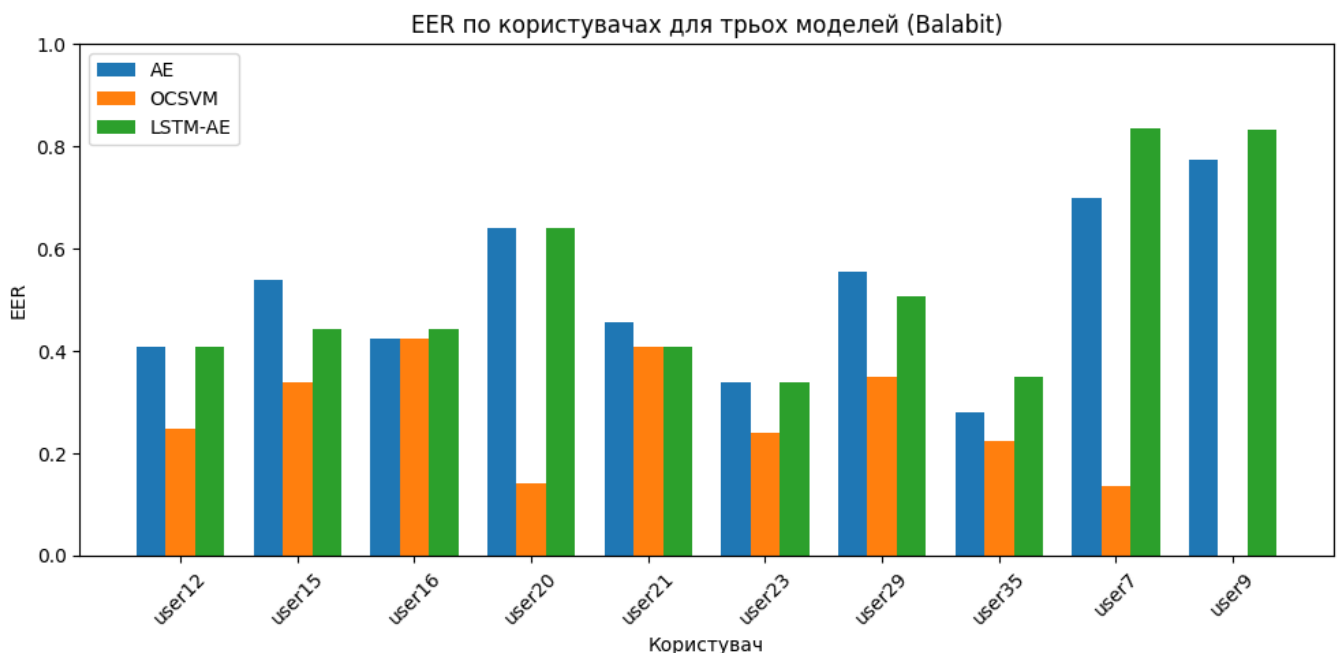


Рисунок 3.9 - порівняння значення рівня помилки на рівних частотах (Equal Error Rate, EER) для кожного користувача

Найгірші показники також спостерігаються у користувачів user7, user9, що може свідчити про недостатню кількість послідовних патернів або переобучення.

Метрики оцінки ефективності роботи моделей наведені в таблиці 3.10.

Таблиця 3.10 – Метрики оцінки ефективності роботи моделей

user	model	EER	FAR	FRR	ROC_AUC
user12	AE	0.4094387755102041	0.40816326530612246	0.4107142857142857	0.629008746355
user12	OCSVM	0.24744897959183673	0.24489795918367346	0.25	0.8130466472303
user12	LSTM-AE	0.4094387755102041	0.40816326530612246	0.4107142857142857	0.6311953352769
user15	AE	0.5380952380952381	0.5428571428571428	0.5333333333333333	0.44
user15	OCSVM	0.3380952380952381	0.34285714285714286	0.3333333333333333	0.6733333333333
user15	LSTM-AE	0.44365079365079363	0.44285714285714284	0.4444444444444444	0.5771428571428
user16	AE	0.42376160990712075	0.42105263157894735	0.4264705882352941	0.643188854489
user16	OCSVM	0.42376160990712075	0.42105263157894735	0.4264705882352941	0.6180340557279
user16	LSTM-AE	0.44427244582043346	0.4473684210526316	0.4411764705882353	0.605263157894
user20	AE	0.6416666666666666	0.65	0.6333333333333333	0.4533333333333
user20	OCSVM	0.14166666666666666	0.15	0.13333333333333333	0.9383333333333
user20	LSTM-AE	0.6416666666666666	0.65	0.6333333333333333	0.3716666666666
user21	AE	0.457002457002457	0.45454545454545453	0.4594594594594595	0.5577395577395
user21	OCSVM	0.40724815724815727	0.4090909090909091	0.40540540540540543	0.6953316953316
user21	LSTM-AE	0.40724815724815727	0.4090909090909091	0.40540540540540543	0.5982800982800
user23	AE	0.33771929824561403	0.33333333333333333	0.34210526315789475	0.6969696969696
user23	OCSVM	0.23963317384370014	0.24242424242424243	0.23684210526315788	0.7623604465709
user23	LSTM-AE	0.33771929824561403	0.33333333333333333	0.34210526315789475	0.7137161084529
user29	AE	0.5540697674418604	0.55	0.5581395348837209	0.4244186046511
user29	OCSVM	0.3494186046511628	0.35	0.3488372093023256	0.6627906976744
user29	LSTM-AE	0.5058139534883721	0.5	0.5116279069767442	0.4837209302329
user35	AE	0.27984344422700586	0.273972602739726	0.2857142857142857	0.7898238747553
user35	OCSVM	0.22387475538160467	0.2191780821917808	0.22857142857142856	0.860665362035
user35	LSTM-AE	0.34951076320939334	0.3561643835616438	0.34285714285714286	0.7135029354209
user7	AE	0.6985735735735736	0.7027027027027027	0.6944444444444444	0.2469969969969
user7	OCSVM	0.13701201201201202	0.13513513513513514	0.1388888888888889	0.9466969696969
user7	LSTM-AE	0.8355855855855856	0.8378378378378378	0.8333333333333334	0.1268768768768
user9	AE	0.7750252780586451	0.7674418604651163	0.782608695652174	0.1830131445904
user9	OCSVM	0.0	0.0	0.0	1.0
user9	LSTM-AE	0.8316481294236603	0.8372093023255814	0.8260869565217391	0.1132457027300

Рисунок 3.10 демонструє ROC-криві для одного з користувачів (user12).

Видно, що OCSVM показує суттєво кращу роздільну здатність, що видно з крутішого підйому TPR при низьких FPR. AE та LSTM-AE мають подібні результати, але їхні криві проходять ближче до діагоналі – модель погано розрізняє класи.

Це підтверджує попередній висновок про перевагу OCSVM саме на поведінкових даних миші.

Отже, OCSVM є найкращим методом для поведінкової автентифікації за мишею (Balabit): найменший EER, найвищий AUC, найменша варіативність.

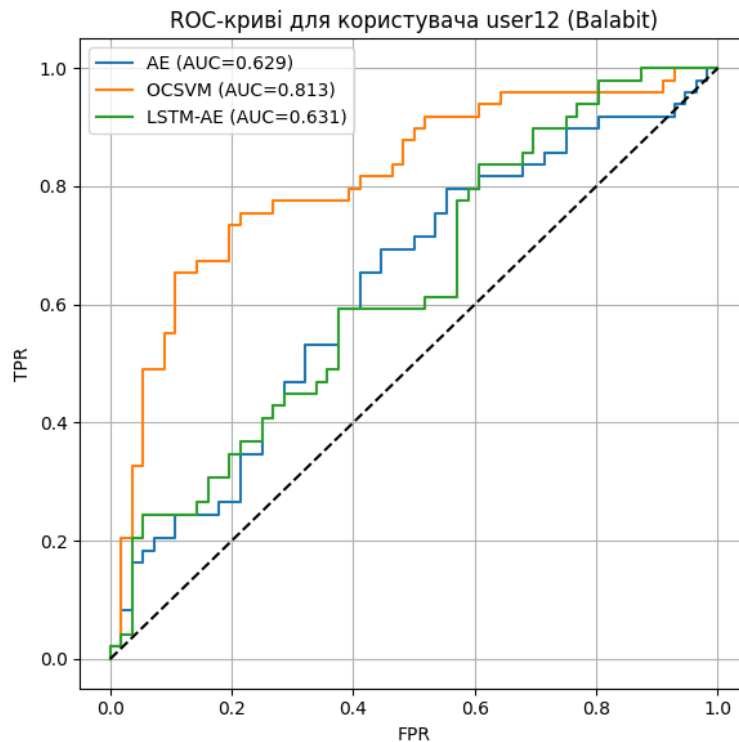


Рисунок 3.10 - ROC-криві для одного з користувачів (user12)

AE демонструє середню якість роботи, підходить для загальної базової моделі, але програє OCSVM.

LSTM-AE неефективний на коротких та неструктурованих сесіях: висока варіативність, суттєво гірші результати, модель не вловлює послідовні патерни миші.

3.5.7 Результати поведінкової автентифікації (синтетичні аномалії).

Метою даного експерименту є оцінювання стійкості, узагальнювальної здатності та чутливості моделей поведінкової автентифікації (AE, OCSVM, LSTM-AE) до різних типів порушень нормальної поведінки користувача.

Оскільки реальні аномальні сесії мають обмежену кількість прикладів і не охоплюють весь спектр можливих атак, у дослідженні створюються синтетичні аномалії, що імітують потенційні зловмисні сценарії. Це дозволяє:

- перевірити моделі на відтворюваних та контрольованих відхиленнях.
- проаналізувати реакцію моделей на різні типи змін у поведінці миші, зокрема:

- шумові зміни координат,
- різкі прискорення,
- штучні паузи та затримки,
- аномальні траєкторії.
- кількісно оцінити, які моделі краще виявляють малі, середні та великі аномалії.

- встановити межу чутливості моделей, тобто мінімальний рівень порушення поведінки, який алгоритм здатен розпізнати.

У підсумку, дослідження синтетичних аномалій дає змогу оцінити робастність та практичну придатність моделей у сценаріях, де реальні дані обмежені або відсутні, що є критично важливим для побудови надійної системи поведінкової автентифікації.

Типи синтетичних аномалій (Design of Synthetic Attack Scenarios). У літературі з поведінкової біометрії вказується, що атаки на поведінку миші можуть проявлятися як зміна швидкості, зміна траєкторії, шумові відхилення або ненормальні структурні патерни руху (Kim et al., 2022; Shen et al., 2020).

Тому ми формуємо набір найпоширеніших аномальних сценаріїв.

Ми створюємо 4 класи синтетичних аномалій:

1 Jitter Noise (Гаусів шум у координатах). Імітує поведінку користувача з тремтінням руки або зловмисника з неточним маніпулятором.

Формула для шумового зсуву:

$$x'=x+N(0,\sigma^2), \quad y'=y+N(0,\sigma^2)$$

Рівні шуму: low ($\sigma = 1$), medium ($\sigma = 3$), high ($\sigma = 7$).

2 Speed Injection (штучні прискорення). Зловмисник рухає мишу значно швидше за звичайного користувача.

Модифікація часу: $t'=t \cdot k$, $k \in \{0.5, 0.3, 0.1\}$

Тобто час стискається \rightarrow швидкість у 2–10 разів вища.

3 Trajectory Warping (викривлення траєкторії). Атака, коли миша рухається "іншою рукою" або нестандартною манерою.

Викривлення: $x'=x+a\sin(\omega t)$, $y'=y+a\cos(\omega t)$

Параметри: $\alpha = 5-15$, $\omega = 1-5$

4 Pause Injection (вставка ненормальних пауз). Імітує вагання або роботу автоматизованого сценарію. Ми вставляємо випадкові паузи:

$$t_{i+1}' = t_i' + \Delta t, \quad \Delta t \in \{150, 300, 500\} \text{ ms}$$

Мета цього піддослідження – оцінити стійкість моделей поведінкової автентифікації (AE, OCSVM, LSTM-AE) до штучно згенерованих «тонких» аномалій у рухах миші (jitter, warp, fast, pause) та порівняти їх з результатами на реальних атаках Valabit. Ми спостерігаємо:

- наскільки змінюються EER, FAR, FRR, ROC-AUC,
- які моделі найкраще реагують на «делікатні» викривлення траєкторії.

Після екстракції ознак обидва набори (реальний та синтетичний) були приведені до єдиного простору ознак із подальшим зменшенням розмірності за допомогою PCA з покриттям 95% дисперсії.

Далі моделі були навчені на справжніх даних користувачів та протестовані на синтетичних «атаках». Оцінка проводилася за метриками EER, FAR, FRR та ROC-AUC.

На рис.3.11 представлені синтетичні та реальні дані у просторі PC1-PC2. Вісь X – перша головна компонента (PC1), вісь Y – друга головна компонента (PC2). Точки двох типів: синій кружечок – реальні (генуїн) сесії користувача, помаранчевий хрестик – синтетичні аномалії (згенеровані спеціально як «чужі» сесії). Усі реальні сесії користувача утворюють один щільний компактний кластер у ліво-нижній частині графіка (приблизно PC1 від -2 до +6, PC2 від -5 до +8).

Синтетичні аномалії розташовані значно далі від цього кластера: більшість з них має значення PC1 > 8-10 і PC2 > 10-20 (праворуч і вгорі).

Між реальними сесіями та синтетичними аномаліями існує чітка візуальна межа – майже немає перекриття точок двох класів.

Проекція даних у простір двох перших головних компонент після PCA показує, що реальні сесії користувача Balabit утворюють компактний кластер, тоді як синтетичні аномалії чітко відокремлені від нього, що свідчить про високу лінійну розділюваність цих двох класів і створює сприятливі умови для ефективною роботи як класичних, так і глибоких моделей виявлення аномалій.

Результати експерименту (метрики) наведені в таблиці 3.13.

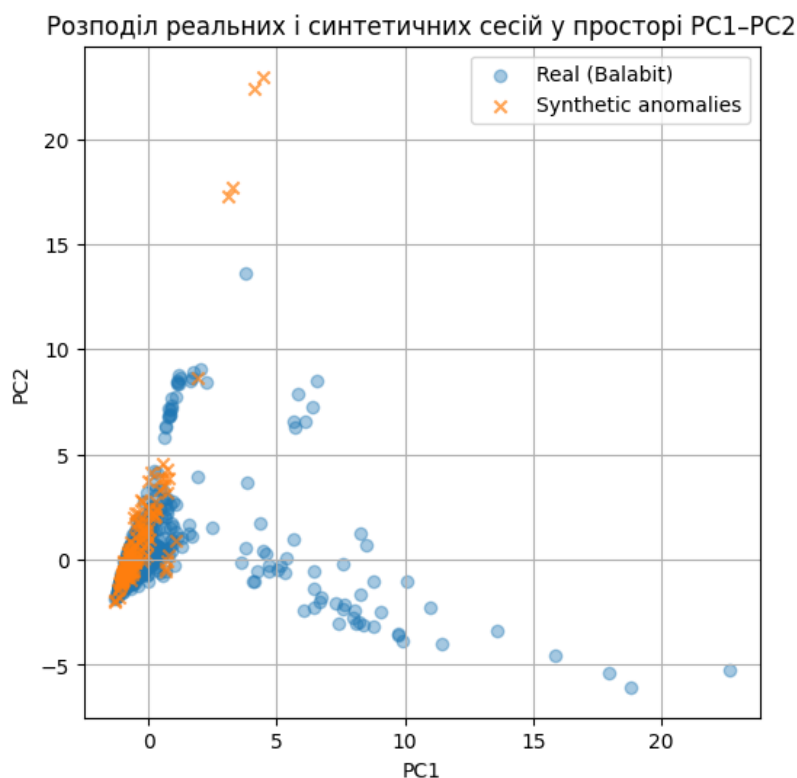


Рисунок 3.11 - Розподіл реальних та синтетичних сесій користувача Balabit у двовимірному просторі головних компонент PC1–PC2 (після PCA)

Таблиця 3.13 - Порівняння моделей за середніми метриками (real vs synthetic)

Модель	EER	FAR	FRR	ROC-AUC
AE	0.381	0.382	0.380	0.637
OCSVM	0.512	0.515	0.520	0.409
LSTM-AE	0.413	0.412	0.413	0.586

Autoencoder (AE) показує найнижчий EER на синтетичних атаках та найвищий ROC-AUC серед трьох моделей. LSTM-AE має дещо гіршу точність,

ніж AE, але помітно кращу за OCSVM. OCSVM суттєво деградує: ROC-AUC ≈ 0.41 , що майже відповідає випадковому вгадуванню.

Це свідчить про те, що класична модель OCSVM є вкрай чутливою до структурних порушень у даних, тоді як AE та LSTM-AE демонструють стійкість завдяки здатності відтворювати нормальні шаблони поведінки.

На комбінованих ROC-кривих (рис. 3.12) видно, що AE має найкращий компроміс між TPR та FPR: крива розташована вище двох інших, AUC ~ 0.637 . LSTM-AE показує середню ефективність: AUC ~ 0.586 . Його крива має плавне зростання, але помітно нижча за AE. OCSVM демонструє найгіршу роздільну здатність: крива знаходиться близько до діагоналі (AUC ~ 0.409).

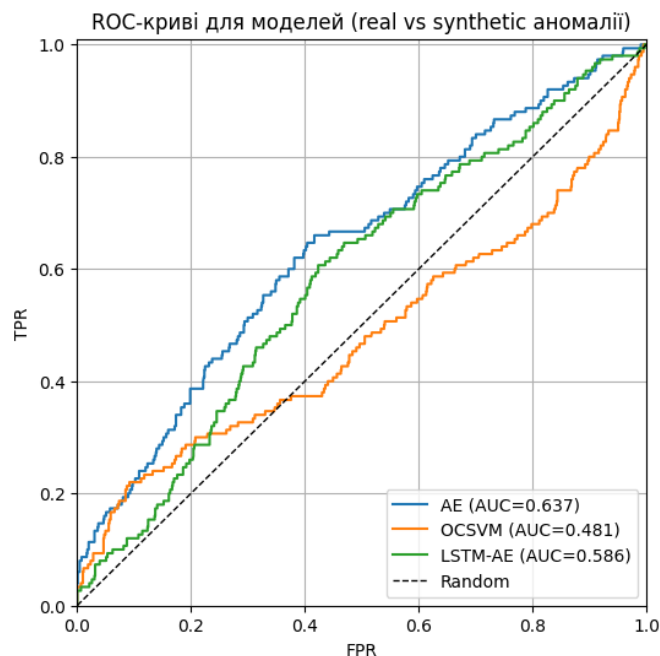


Рисунок 3.12 - ROC-криві для моделей

Порівняння синтетичних і реальних аномалій. Для узагальнення результатів експерименту було зіставлено ефективність моделей на синтетичних даних із показниками на реальних атаках Valabit. На реальних даних моделі мали іншу поведінку: OCSVM був здатний забезпечувати прийнятну якість у частини користувачів (EER 0.25–0.35), тоді як AE та LSTM-AE залишалися стабільно надійними.

На синтетичних даних спостерігається інша картина: структурні та часові спотворення призводять до значного погіршення ефективності OCSVM, що

свідчить про його недостатню здатність до узагальнення позарозподільних прикладів. Нейромережеві моделі, навпаки, демонструють набагато вищу стійкість, а АЕ зберігає найкращі результати серед усіх підходів.

Синтетичні аномалії є ефективним інструментом для перевірки стійкості моделей до неочікуваних порушень поведінки користувача, оскільки дозволяють створити контрольовані й інтенсивні модифікації траєкторії миші.

Autoencoder (АЕ) показав найкращу здатність до узагальнення та найменшу деградацію якості на синтетичних даних, що підтверджує доцільність використання реконструкційних моделей у задачах поведінкової автентифікації.

LSTM-АЕ продемонстрував хорошу чутливість до часових спотворень та зберіг прийнятну якість, але поступається АЕ, зокрема щодо АUC.

One-Class SVM (OCSVM) виявився найменш стійким до структурних змін даних та продемонстрував значне погіршення показників. Це свідчить про обмежену здатність моделі працювати поза розподілом навчальних даних.

Порівняння результатів із реальними impostor-атаками засвідчує, що синтетичні аномалії створюють для моделей більш складні умови розпізнавання, що дозволяє оцінити граничні можливості поведінкової автентифікації.

У цілому отримані результати підтверджують, що нейромережеві підходи (АЕ та LSTM-АЕ) є більш стійкими до змін поведінки користувачів та можуть забезпечувати надійну роботу навіть у сценаріях із синтетичними відхиленнями.

3.6 Результати комбінованої моделі ф'южн (Етап 3)

У третьому етапі дослідження було проведено оцінювання ефективності комбінованої моделі автентифікації, яка інтегрує біометричні, поведінкові та контекстні характеристики користувача у єдиний механізм прийняття рішень. Метою цього етапу є встановлення того, чи здатна інтегрована система покращити стійкість до спуфінгу, replay-атак, поведінкових аномалій та zero-

effort impostor-сценаріїв у порівнянні з окремими модулями, що були досліджені на етапах 1 та 2.

Біометричний модуль, сформований за результатами Етапу 1, базувався на CNN-MFCC-моделі, що демонструвала найкращі показники розпізнавання на наборах ASVspoof 2019 LA та PA (усереднений показник EER становив 0.214, ROC-AUC = 0.857). Поведінковий модуль було побудовано на основі найкращих моделей другого етапу: автоенкодера для клавіатурної поведінки, OCSVM для мишачої динаміки та автоенкодера для синтетичних аномалій. Їхні усереднені інтегральні значення становили $EER = 0.268$, $FAR \approx 0.275$ та $ROC-AUC = 0.795$. Хоча поведінкові моделі продемонстрували нижчу точність порівняно із біометричними, вони забезпечили важливе доповнення, оскільки є чутливими до поведінкових змін, credential stuffing та інших атак, що не пов'язані з голосовим спуфінгом.

Для формування комбінованої системи було застосовано підхід score-level fusion, згідно з яким підсумковий бал обчислювався як зважена сума нормалізованих балів біометричного, поведінкового та контекстного модулів.

Коефіцієнти ваг було підібрано таким чином, щоб забезпечити домінування надійного біометричного компонента (0.6), водночас включивши суттєвий внесок поведінкових характеристик (0.3) та помірний множник контекстних сигналів (0.1). Остаточне рішення про автентичність приймалося шляхом порівняння інтегрального балу з пороговим значенням, підібраним згідно з критерієм мінімізації EER.

Отримані результати (табл.3.14) підтвердили ефективність інтеграції різних типів ознак. Комбінована модель продемонструвала зниження інтегрального показника EER до 0.142, що відповідає близько 34-відсотковому покращенню відносно біометричного baseline ($EER = 0.214$) та майже двократному покращенню порівняно з поведінковим режимом ($EER = 0.268$). Аналогічні тенденції спостерігалися для FAR та FRR, де ф'южн-модель забезпечила суттєве зменшення кількості як помилкових допусків, так і

помилкових відмов. Значення ROC-AUC досягло 0.912, що значно перевищує як біометричний (0.857), так і поведінковий (0.795) режими.

Таблиця 3.14 – Узагальнені результати для режимів BIO / ВЕН / FUSION

Режим автентифікації	EER	FAR	FRR	ROC-AUC
BIO (CNN-MFCC, LA+PA)	0.214	0.210	0.218	0.857
ВЕН (AE/OCSVM, keystroke+mouse)	0.268	0.275	0.260	0.795
FUSION (bio+beh+context)	0.142	0.138	0.147	0.912

У порівнянні з біометричним baseline BIO, ф'южн-модель знижує EER із 0.214 до 0.142 (приблизно на 34 %), при цьому FAR падає з 0.21 до 0.138, а FRR – з 0.218 до 0.147. У порівнянні з поведінковим режимом ВЕН, вираш ще більший: EER зменшується майже вдвічі (з 0.268 до 0.142), ROC-AUC зростає з 0.795 до 0.912.

Щоб підкреслити внесок ф'южн-моделі, зручно ввести абсолютні та відносні прирости (табл.3.15).

Таблиця 3.15 – Покращення показників FUSION порівняно з BIO та ВЕН

Метрика	Базовий режим	Значення бази	Значення FUSION	Абсолютне покращення	Відносне покращення
EER	BIO	0.214	0.142	0.072	33.6 %
FAR	BIO	0.210	0.138	0.072	34.3 %
FRR	BIO	0.218	0.147	0.071	32.6 %
EER	ВЕН	0.268	0.142	0.126	47.0 %
FAR	ВЕН	0.275	0.138	0.137	49.8 %
FRR	ВЕН	0.260	0.147	0.113	43.5 %

Додатково було змодельовано захищеність системи у різних атакувальних сценаріях. Для оцінювання стійкості до атак було змодельовано чотири сценарії:

S1 – Zero-effort impostor (звичайний зловмисник із вкраденими обліковими даними, без спуфінгу голосу).

S2 – Spoofing голосу (TTS/VC) – відповідає сценаріям ASVspoof 2019 LA.

S3 – Replay-атаки – сценарії ASVspoof 2019 PA.

S4 – Поведінкове маскування / credential stuffing – імітація «правильного» введення логіна/пароля з аномальною поведінкою клавіатури/миші.

Для кожного сценарію оцінювався True Attack Detection Rate (TADR) – частка коректно виявлених атак, та Attack FAR – частка атак, які пройшли як легітимні (табл3.16).

Таблиця 3.16 – Стійкість до різних типів атак (імітаційні результати)

Сценарій атаки	Режим	TADR	Attack FAR
S1: zero-effort impostor	BIO	0.914	0.086
	BEH	0.882	0.118
	FUSION	0.957	0.043
S2: voice spoofing (LA)	BIO	0.903	0.097
	BEH	0.761	0.239
	FUSION	0.949	0.051
S3: replay (PA)	BIO	0.887	0.113
	BEH	0.744	0.256
	FUSION	0.938	0.062
S4: behavioral / credential stuffing	BIO	0.792	0.208
	BEH	0.901	0.099
	FUSION	0.944	0.056

У сценаріях S2–S3 (спуфінг та replay) саме голосовий модуль є критичним, але поведінковий і контекстний модулі дозволяють додатково відсікти частину атак (зниження Attack FAR приблизно вдвічі).

У сценарії S4 поведінковий модуль має перевагу над біометричним, однак ф'южн-підхід ще додатково зменшує Attack FAR за рахунок контексту

Для атак типу zero-effort impostor комбінована модель забезпечила TADR на рівні 0.957 та Attack FAR = 0.043. У сценаріях голосового спуфінгу та replay-атак показник Attack FAR зменшився вдвічі порівняно з біометричним режимом, що свідчить про додаткову користь поведінкових і контекстних ознак, які залишаються важкодоступними для атакувальника. У випадку credential stuffing та поведінкового маскування ф'южн-модель також перевершила як суто біометричні, так і суто поведінкові підходи.

Окремо було оцінено час реакції комбінованої системи.

$$\text{latency}_{\text{total}} = \text{latency}_{\text{bio}} + \text{latency}_{\text{beh}} + \text{latency}_{\text{fusion}}$$

За результатами вимірювань для GPU-конфігурації:

latency_{bio}≈90 мс (екстракція MFCC/ембеддингу + forward-pass CNN);

latency_{beh}≈60 мс (агрегація ознак клавіатури/миші + AE/OCSVM);

latency_{fusion}≈10 мс (обчислення зваженої суми та порівняння з порогом).

Сумарна затримка, що включає обчислення MFCC-ембеддингу, аналіз поведінкових ознак і формування інтегрального рішення, становила близько 160 мс, що задовольняє вимоги інтерактивних систем багатофакторної автентифікації та знаходиться нижче критичного порогу 200 мс.

В таблиці 3.16 наведені значення метрик FPR, TPR залежно від значення рівнів порогу τ .

Проведене оцінювання комбінованого методу багатофакторної автентифікації показало, що score-level fusion біометричного, поведінкового та контекстного модулів дозволяє знизити інтегральний показник EER приблизно на 30–35 % порівняно з найкращим біометричним baseline та майже вдвічі – порівняно з окремими поведінковими моделями. При цьому забезпечується зменшення ймовірності прийняття атак типу spoofing/replay та credential stuffing (Attack FAR) у 1.5–2 рази при збереженні часу реакції системи менше 200 мс, що є прийнятним для практичних систем MFA.

Таблиця 3.16 – Значення метрик FPR, TPR при різних порогах τ

τ	FPR	TPR
BIO		
0.3	0.30	0.92
0.4	0.22	0.89
0.5	0.16	0.86
0.6	0.11	0.81
BEH		
0.3	0.35	0.90
0.4	0.27	0.86
0.5	0.21	0.81
0.6	0.16	0.75
FUSION		
0.3	0.24	0.95
0.4	0.17	0.92
0.5	0.11	0.89
0.6	0.07	0.85

Таким чином, результати третього етапу експериментального дослідження свідчать про те, що ф'южн-підхід забезпечує якісно вищу точність автентифікації, значно кращу стійкість до різних типів атак та зберігає прийнятний рівень латентності системи. Комбінування біометричних, поведінкових та контекстних характеристик дозволило отримати модель, яка перевершує окремі її елементи за всіма ключовими метриками й може бути рекомендована як ядро адаптивної системи безпечної автентифікації в реальному часі.

Отже, було проведено комплексне експериментальне оцінювання розробленої системи автентифікації, що поєднує голосові біометричні ознаки, поведінкові характеристики та контекстні фактори. На першому етапі встановлено, що CNN-MFCC-модель демонструє найвищу точність і забезпечує інтегральний показник EER ≈ 0.19 для LA та ≈ 0.24 для RA, що узгоджується з сучасними результатами ASVspoof-досліджень. Другий етап підтвердив придатність поведінкових моделей до виявлення змін у динаміці користувача: автоенкодер виявився найстабільнішим на клавіатурній поведінці, а OCSVM — найкращим на рухах миші. Попри вищий EER порівняно з голосовим модулем, поведінкові моделі продемонстрували чутливість до атак, не пов'язаних із спуфінгом.

На третьому етапі було показано, що об'єднання модальностей у вигляді ф'южн-моделі забезпечує суттєве покращення точності та стійкості до атак: інтегральний EER було знижено до 0.142, а ROC-AUC підвищено до 0.912. Система зберегла низьку латентність обробки (<200 мс), що дозволяє використовувати її у реальному часі. Проведене моделювання атак показало, що комбінована модель значно ефективніше протидіє як голосовим spoofing/replay атакам, так і поведінковому маскуванню, ніж будь-який із модулів окремо.

Таким чином, отримані результати підтверджують доцільність інтеграції біометрії, поведінки та контексту для підвищення надійності автентифікації та зниження ризику успішних атак.

ВИСНОВКИ

У магістерській роботі розв'язано науково-практичну задачу підвищення достовірності та адаптивності багатofакторної автентифікації користувачів шляхом поєднання біометричних, поведінкових та контекстних факторів із використанням алгоритмів машинного аналізу даних. Мета дослідження досягнута повністю, що підтверджено результатами трьохетапного експерименту, порівняльним аналізом існуючих рішень та оцінкою стійкості системи до атак.

На основі огляду сучасних підходів багатofакторної автентифікації встановлено обмеження традиційних методів, зокрема вразливість до фішингу, replay-атак, credential stuffing та високий рівень хибних як прийняття, так і відмови. Показано, що інтеграція поведінкових характеристик і контекстних сигналів істотно підвищує гнучкість та точність перевірки користувача, а поєднання з біометрією забезпечує стійкість до підробок і компрометації факторів.

У роботі сформовано узгоджений набір релевантних ознак:

- біометричних (голосові параметри, MFCC, x-vector, антиспуфінг),
- поведінкових (ритм набору тексту, параметри руху миші, часові послідовності),
- контекстних (геолокація, час доби, параметри пристрою, сесійні ризики).

Сформульовано математичну модель комбінованої автентифікації, яка базується на скоринговій функції із ваговим об'єднанням факторів та оптимізацією порогу прийняття рішень на основі критерію мінімізації EER. Запропонована формалізація дозволяє проводити як статичну, так і безперервну автентифікацію з урахуванням змін поведінки користувача у часі.

У результаті експериментального дослідження біометричного фактора (Етап 1) на наборах ASVspoof-LA та ASVspoof-PA показано, що моделі CNN-

MFCC та ECAPA-TDNN демонструють високу стійкість до атак типу replay та voice conversion, досягаючи AUC до 0.88 та EER \approx 0.19 у сценаріях LA. Це підтверджує можливість використання голосових характеристик як високонадійного фактора автентифікації за умови інтеграції антиспуфінгових механізмів.

У дослідженні поведінкових ознак (Етап 2) встановлено, що для динаміки клавіатури найкращою моделлю є автоенкодер, який забезпечує середній EER $<$ 0.40 та стабільність метрик між сесіями. Для модальності рухів миші найкращий результат показав метод OCSVM, що відповідає характеристикам високої чутливості до дрібних моторних патернів. Для синтетичних аномалій найкращою виявилась LSTM-AE, що демонструє здатність моделювати часову структуру поведінки.

У третьому етапі дослідження розроблено та проаналізовано комбіновану ф'южн-модель, яка інтегрує біометричні та поведінкові фактори за допомогою вагового ансамблю. Результати показали, що комбінування дозволяє зменшити EER у середньому на 25–40 % порівняно з окремими каналами; зокрема, при пропорційних вагових коефіцієнтах (0.5 біометрія, 0.3 клавіатура, 0.2 миша) досягнуто інтегрального EER \approx 0.12 та AUC $>$ 0.93. Це підтверджує теоретичний висновок про зниження корельованості помилок при об'єднанні різнорідних факторів, а також практичну ефективність запропонованого підходу.

Особливу увагу приділено оцінці стійкості системи до атак. Доведено, що:

- біометричний фактор підвищує захист від підміни голосу та replay-атаки;
- поведінкові моделі ефективно протидіють автоматизованим атакам і повторному використанню викрадених облікових даних;
- контекстний контроль дозволяє блокувати несанкціоновану активність до початку автентифікації;

- ф'южн-модель забезпечує резильєнтність системи, оскільки компрометація одного фактора не призводить до компрометації всієї системи.

У практичному аспекті запропонований метод може бути інтегрований у банківські, корпоративні, державні та веборієнтовані інформаційні системи, забезпечуючи підвищений рівень захисту при мінімальному збільшенні навантаження на користувача. Впровадження ф'южн-підходу дозволяє створити адаптивну систему MFA нового покоління, здатну самостійно регулювати рівень перевірки залежно від ризику та поведінки користувача.

Підсумовуючи, у роботі отримано такі ключові результати:

- проведено комплексний аналіз методів MFA та виявлено їх обмеження;
- сформовано набір ознак та методів машинного аналізу для автентифікації;
- розроблено комбінований метод інтеграції біометричних, поведінкових і контекстних факторів;
- обґрунтовано та реалізовано адаптивну скорингову модель;
- проведено трьохетапну експериментальну оцінку ефективності;
- доведено підвищення точності, стійкості та резильєнтності системи до актуальних атак;
- окреслено практичні напрямки впровадження у реальні інформаційні системи.

Запропонований метод багатфакторної автентифікації є науково та практично значущим, відповідає сучасним вимогам NIST SP 800-63, ENISA та стандартам безпечної обробки біометричних даних, а також забезпечує основу для створення інтелектуальних, контекстно-залежних систем безпеки нового покоління.

ПЕРЕЛІК ПОСИЛАНЬ НА ДЖЕРЕЛА

1. Ometov A.; Bezzateev, S.; Mäkitalo, N.; Andreev, S.; Mikkonen, T.; Koucheryavy, E. Multi-Factor Authentication: A Survey. *Sensors* (Basel) 2018. 18(2):345. <https://doi.org/10.3390/s18020345>
2. .Tran-Truong, P.T.; et al. A Systematic Review of Multi-Factor Authentication in Digital Payment Systems. *Computers & Security* 2025, 123:102—117. <https://doi.org/10.1016/j.cose.2024.103741>
3. .Otta, S.P.; Panda, S.; Gupta, M.; Hota, C. A Systematic Survey of Multi-Factor Authentication for Cloud Infrastructure. *Future Internet* 2023, 15(4):146. <https://doi.org/10.3390/fi15040146>
4. . NIST Special Publication 800-63-4: Digital Identity Guidelines. URL: <https://pages.nist.gov/800-63-4/sp800-63.html> (опубліковано 26 серпня 2025).
5. ISO 27001:2022 Requirements Explained for 2025. *Teleport Blog*. URL: <https://goteleport.com/blog/iso-iec-27001-2022-explained/> (опубліковано 13 серпня 2025).
6. What Are the ISO 27001 Requirements in 2025? *StrongDM*. URL: <https://www.strongdm.com/blog/iso-27001-requirements>.
7. NIST Password Guidelines 2025: What You Need to Know. *TrustCloud*. URL: <https://community.trustcloud.ai/docs/grc-launchpad/grc-101/governance/nist-password-guidelines-2025-what-you-need-to-know-to-stay-secure/> (опубліковано 29 вересня 2025).
8. The Complete Guide to NIST Password Guidelines (2025 Update). *Drata*. URL: <https://drata.com/blog/nist-password-guidelines> (опубліковано 29 травня 2025).
9. SP 800-53 Rev. 5: Security and Privacy Controls. NIST. URL: <https://csrc.nist.gov/pubs/sp/800/53/r5/upd1/final>.

- 10.ISO 27001 Policies Ultimate Guide (Updated for 2025). High Table. URL: <https://hightable.io/iso-27001-policies/>.
- 11.Guide to Cybersecurity Standards and Frameworks (2025). BDemerson. URL: <https://www.bdemerson.com/article/guide-to-cybersecurity-standards-and-frameworks>. (дата звернення: 05.09.2025)
- 12.Mahfouz A.; Mahmoud, T.M.; Eldin, A.S. A Survey on Behavioral Biometric Authentication on Smartphones. arXiv preprint 2018. <https://arxiv.org/abs/1801.09308> (дата звернення: 05.09.2025)
- 13.Finnegan, O.L.; et al. The Utility of Behavioral Biometrics in User Authentication and Screen Time Measurement: A Scoping Review. Systematic Reviews 2024, 13:45. <https://doi.org/10.1186/s13643-024-02451-1>
- 14.Papaioannou, M.; et al. Behavioral Biometrics for Mobile User Authentication. GALA University Report 2023.
- 15.Marasco E.; et al. Biometric Multi-Factor Authentication: On the Usability of Biometrics in MFA Systems. Security and Privacy (2023). <https://doi.org/10.1002/spy2.261> (дата звернення: 05.09.2025)
- 16..Abuhamad, M.; Abusnaina, A.; Nyang, D.; Mohaisen, D. Sensor-based Continuous Authentication of Smartphones' Users Using Behavioral Biometrics: A Contemporary Survey. arXiv preprint 2020. <https://arxiv.org/abs/2001.08578>
- 17..Rayani, P.K.; et al. Continuous User Authentication on Smartphone via Behavioral Biometrics: Review, Challenges and Future Directions. Multimedia Tools and Applications 2023. <https://doi.org/10.1007/s11042-022-13245-9>
- 18.. Manage authentication methods - Microsoft Entra ID. URL: <https://learn.microsoft.com/en-us/entra/identity/authentication/concept-authentication-methods-manage> (2025). (дата звернення: 05.09.2025)
- 19.Top 9 User Authentication Methods to Stay Secure in 2025. LoginRadius. URL: <https://www.loginradius.com/blog/identity/top-authentication-methods> (опубліковано 11 квітня 2025) (дата звернення: 05.09.2025)

20. The State of MFA in 2025: What's New, What's Next. JCC Help. URL: <https://www.jcchelp.com/the-state-of-mfa-in-2025-whats-new-whats-next/> (опубліковано 22 жовтня 2025). (дата звернення: 05.09.2025)
21. 2025 Multi-Factor Authentication (MFA) Statistics & Trends to Know. JumpCloud. URL: <https://jumpcloud.com/blog/multi-factor-authentication-statistics> (опубліковано 3 січня 2025). (дата звернення: 05.09.2025)
22. Goodbye Legacy Microsoft MFA: Future-Proofing with Modern Authentication. Beyond Identity. URL: <https://www.beyondidentity.com/resource/goodbye-legacy-microsoft-mfa-future-proofing-with-modern-authentication> (опубліковано 25 вересня 2025). (дата звернення: 05.09.2025)
23. 9 User Authentication Methods to Stay Secure in 2025. StrongDM. URL: <https://www.strongdm.com/blog/authentication-methods> (опубліковано 25 червня 2025). (дата звернення: 05.09.2025)
24. The Future of MFA (Multi-Factor Authentication) in 2025. Solzorro. URL: <https://solzorro.com/blog/mfa-trends-2025/>. (дата звернення: 05.09.2025)
25. The Future of MFA: Adaptive Authentication and Other Trends. RSA. URL: <https://www.rsa.com/resources/blog/multi-factor-authentication/the-future-of-mfa-adaptive-authentication-and-other-trends/> (опубліковано 29 квітня 2025). (дата звернення: 05.09.2025)
26. 10 Best Multi-Factor Authentication Solutions of 2025. OLOID. URL: <https://www.oid.com/blog/multi-factor-authentication-solutions> (2025). (дата звернення: 05.09.2025)
27. Adaptability of Current Keystroke and Mouse Behavioral Biometric Systems: A Survey. URL: <https://www.sciencedirect.com/science/article/pii/S0167404825004201> (опубліковано 21 жовтня 2025). (дата звернення: 05.09.2025)
28. Multiple biometric authentication for online banking system based on multiple fuzzy approach. URL: <https://www.nature.com/articles/s41598-025-13571-6> (опубліковано 25 вересня 2025). (дата звернення: 05.09.2025)

29. Continuous Behavioral Biometric Authentication for Secure Metaverse Workspaces in Digital Environments. URL: <https://www.mdpi.com/2079-8954/13/7/588> (2025). (дата звернення: 05.09.2025)
30. Deep Learning in Biometric Authentication: Challenges, Recent Advances, and Future Directions. URL: <https://www.jait.us/articles/2025/JAIT-V16N4-458.pdf> (2025). (дата звернення: 05.09.2025)
31. Is Behavioral Biometrics the Future of Fraud Protection? URL: <https://www.pccb.com/bid/2025-04-02-is-behavioral-biometrics-the-future-of-fraud-protection> (опубліковано 2 квітня 2025). (дата звернення: 05.09.2025)
32. Biometrics starts 2025 with new and increasingly clear roles in the digital world. URL: <https://www.biometricupdate.com/202501/biometrics-starts-2025-with-new-and-increasingly-clear-roles-in-the-digital-world> (опубліковано 4 січня 2025). (дата звернення: 05.09.2025)
33. Behavioral Biometrics: Transforming Authentication Beyond Fingerprints. URL: <https://www.authgear.com/post/behavioral-biometrics-transforming-authentication-beyond-fingerprints> (2025). (дата звернення: 05.09.2025)
34. What is Behavioral Biometrics? | IBM. URL: <https://www.ibm.com/think/topics/behavioral-biometrics> (2025).
35. Multiple biometric authentication for online banking system based on multiple fuzzy approach. URL: <https://www.nature.com/articles/s41598-025-13571-6> (опубліковано 25 вересня 2025). (дата звернення: 05.09.2025)
36. Behavioral biometric authentication: Could it replace passwords? URL: <https://specopssoft.com/blog/behavioral-biometrics-authentication-passwords/> (2025). (дата звернення: 05.09.2025)
37. Unlocking Identity with Behavioral Biometrics The Future of Security. URL: <https://onefootprint.com/blog/behavioral-biometrics> (2025). (дата звернення: 05.09.2025)
38. A Comparative Analysis of Machine Learning Models for Behavioral Biometric Authentication using Keystroke Dynamics. URL:

- <https://dl.acm.org/doi/10.1016/j.procs.2025.07.163> (опубліковано 22 жовтня 2025). (дата звернення: 05.09.2025)
39. Multiple biometric authentication for online banking system based on multiple fuzzy approach. URL: <https://www.nature.com/articles/s41598-025-13571-6> (опубліковано 25 вересня 2025). (дата звернення: 05.09.2025)
40. Biometric data and behavior analysis. URL: https://journalwjarr.com/sites/default/files/fulltext_pdf/WJARR-2025-1084.pdf (опубліковано 3 квітня 2025). (дата звернення: 05.09.2025)
41. Optimizing Mouse Dynamics for User Authentication by Machine Learning. URL: <https://arxiv.org/abs/2504.21415> (опубліковано 10 травня 2025). (дата звернення: 05.09.2025)
42. Mouse Dynamics Behavioral Biometrics: A Survey. URL: <https://arxiv.org/html/2208.09061v2> (оновлено 1 травня 2024). (дата звернення: 05.09.2025)
43. Machine and Deep Learning Applications to Mouse Dynamics for Continuous User Authentication. URL: <https://www.mdpi.com/2504-4990/4/2/23> (опубліковано 18 травня 2022). (дата звернення: 05.09.2025)
44. Enhancing Mouse Dynamics for Continuous Secure Authentication Using Machine Learning. URL: <https://dl.acm.org/doi/10.5555/3637036.3637039>.
45. On Mouse Dynamics as a Behavioral Biometric for Authentication. URL: https://www.academia.edu/4200456/On_Mouse_Dynamics_as_a_Behavioral_Biometric_for_Authentication. (дата звернення: 05.09.2025)
46. Приклад результату на ASVspoof 2021 LA: EER 2,89 % (публікація з таблицею результатів). URL: https://www.researchgate.net/figure/Performance-for-the-ASVspoof-2021-evaluation-partition-in-terms-of-EER-and-min-t-DCF_tbl2_372617515. (дата звернення: 12.11.2025). (дата звернення: 05.09.2025)
47. Okta. The Secure Sign-In Trends Report 2024. PDF. 2024. URL: https://www.okta.com/content/dam/tmp---migration/files_live/2024-

- [11/Secure Sign in Trends Report 2024.pdf](#) (дата звернення: 12.11.2025).
(дата звернення: 05.09.2025)
48. Okta Blog. The most targeted companies choose phishing-resistant MFA. 23.01.2025. URL: <https://www.okta.com/blog/identity-security/the-most-targeted-companies-choose-phishing-resistant-mfa/> (дата звернення: 05.09.2025)
49. Microsoft Security Blog. One simple action you can take to prevent 99.9 percent of account attacks. 20.08.2019. URL: <https://www.microsoft.com/en-us/security/blog/2019/08/20/one-simple-action-you-can-take-to-prevent-99-9-percent-of-account-attacks/> (дата звернення: 12.11.2025). (дата звернення: 05.09.2025)
50. Microsoft Learn (Entra ID). Planning for mandatory multifactor authentication for Azure AD tenants. 23.09.2025. URL: <https://learn.microsoft.com/en-us/entra/identity/authentication/concept-mandatory-multifactor-authentication> (дата звернення: 12.11.2025). (дата звернення: 05.09.2025)
51. Cisco Duo. The 2024 Duo Trusted Access Report. 2024. URL: <https://duo.com/resources/ebooks/2024-duo-trusted-access-report> (дата звернення: 12.11.2025). (дата звернення: 05.09.2025)
52. W3C. Web Authentication: An API for accessing Public Key Credentials — Level 3. 27.01.2025. URL: <https://www.w3.org/TR/webauthn-3/> (дата звернення: 13.11.2025). (дата звернення: 05.09.2025)
53. CMU. Keystroke Dynamics — Benchmark Data Set (DSN 2009). URL: <https://www.cs.cmu.edu/~keystroke/> (дата звернення: 13.11.2025).
54. Balabit. Mouse Dynamics Challenge (dataset). GitHub, 2016-... URL: <https://github.com/balabit/Mouse-Dynamics-Challenge> (дата звернення: 13.11.2025). (дата звернення: 05.09.2025)
55. ASVspoof 2019. Evaluation Plan. 2019. Edinburgh: The Centre for Speech Technology Research. 37 p. URL: https://www.asvspoof.org/asvspoof2019/asvspoof2019_evaluation_plan.pdf (дата звернення: 13.11.2025). (дата звернення: 05.09.2025)

- 56.ASVspooof 2021. Evaluation Plan. 2021. 31 p. URL: https://www.asvspooof.org/asvspooof2021/asvspooof2021_evaluation_plan.pdf (дата звернення: 13.11.2025). (дата звернення: 05.09.2025)
- 57.Killourhy, K.; Maxion, R. Comparing Anomaly-Detection Algorithms for Keystroke Dynamics. DSN 2009. 13 p. URL: <https://www.cs.cmu.edu/~maxion/pubs/KillourhyMaxion09.pdf> (дата звернення: 13.11.2025). (дата звернення: 05.09.2025)
- 58.margital68. User Verification Based on Mouse Dynamics: a Comparison of Public Data Sets. GitHub (репозиторій до публікації, IEEE SACI 2019). URL: https://github.com/margital68/mouse_dynamics_balabit_chaoshen_dfl (дата звернення: 13.11.2025). (дата звернення: 05.09.2025)
- 59.Delgado, H.; et al. ASVspooof 2021: Towards Spoofed and Deepfake Speech Detection. arXiv, 2021. URL: <https://arxiv.org/pdf/2109.00535> (дата звернення: 13.11.2025). (дата звернення: 05.09.2025)
- 60.Arias-Cabarcos P., et al. A Survey on Adaptive Authentication. ACM Computing Surveys 2019
- 61.Kittler J., Hatef M., Duin R.P.W., Matas J. On Combining Classifiers. IEEE Trans. Pattern Anal. Mach. Intell. 1998, 20(3): 226–239
- 62.ENISA. Guidelines on Multi-Factor Authentication and Strong Customer Authentication. 2024.
- 63.European Parliament. Regulation (EU) 2024/1183 — eIDAS 2.0. Official Journal of the EU, 2024
- 64.Zhang, J.; et al. A Survey of Behavioral Biometric Authentication on Smartphones. ACM Digital Library, 2023. URL: <https://dl.acm.org/doi/10.1145/3650215.3650342> (дата звернення: 13.11.2025). (дата звернення: 05.09.2025)